

Università degli Studi di Trieste

---

Corso di Laurea Magistrale in  
INGEGNERIA CLINICA

**RICHIAMI DI ANALISI DEI  
SEGNALI: ANALISI  
SPETTRALE**

**Corso di Complementi di Analisi di  
Segnali Biomedici**

**Modulo NEUROSEGNALI**

**Docente Sara Renata Francesca MARCEGLIA**



**Dipartimento di Ingegneria e Architettura**



**UNIVERSITÀ  
DEGLI STUDI DI TRIESTE**



# IL DOMINIO DELLA FREQUENZA

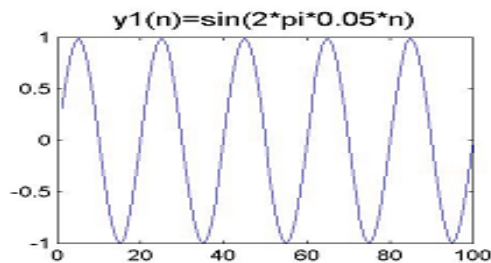
- Esempio dominio del tempo:
  - In che giorni vai a fare shopping?
  - A che ora non vai mai a fare shopping?
- Esempio dominio della frequenza:
  - Quanto spesso vai a fare shopping?
  - Quanti vanno a fare shopping due volte alla settimana?

**LE INFORMAZIONI DI BASE SONO LE  
STESSE, MA IL MODO DI RAPPRESENTARLE  
METTE IN LUCE ASPETTI DIVERSI**

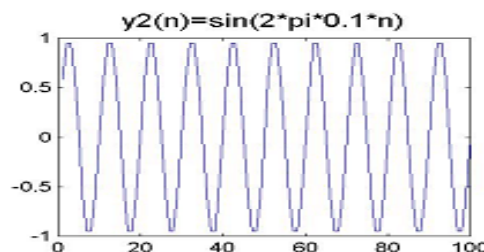
# RAPPRESENTAZIONE NEL DOMINIO DELLE FREQUENZE



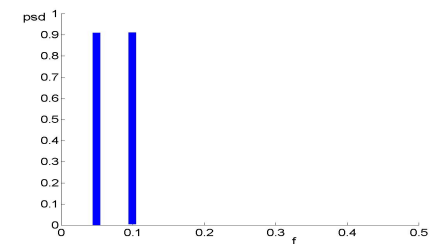
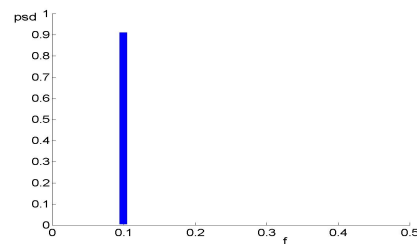
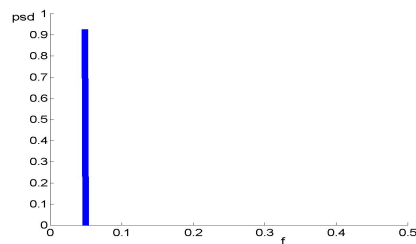
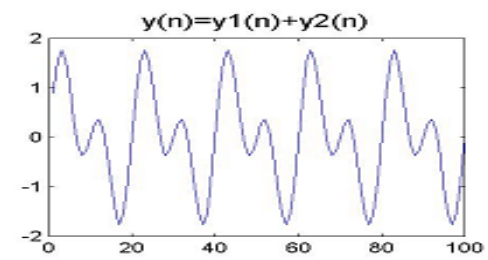
- Un segnale è caratterizzato da tutte le sinusoidi che lo compongono
- Per rappresentare le sinusoidi che compongono un segnale si utilizza il piano delle frequenze
- Sull'asse  $x$  sono riportate le frequenze delle sinusoidi, sull'asse  $y$  l'ampiezza delle sinusoidi



+

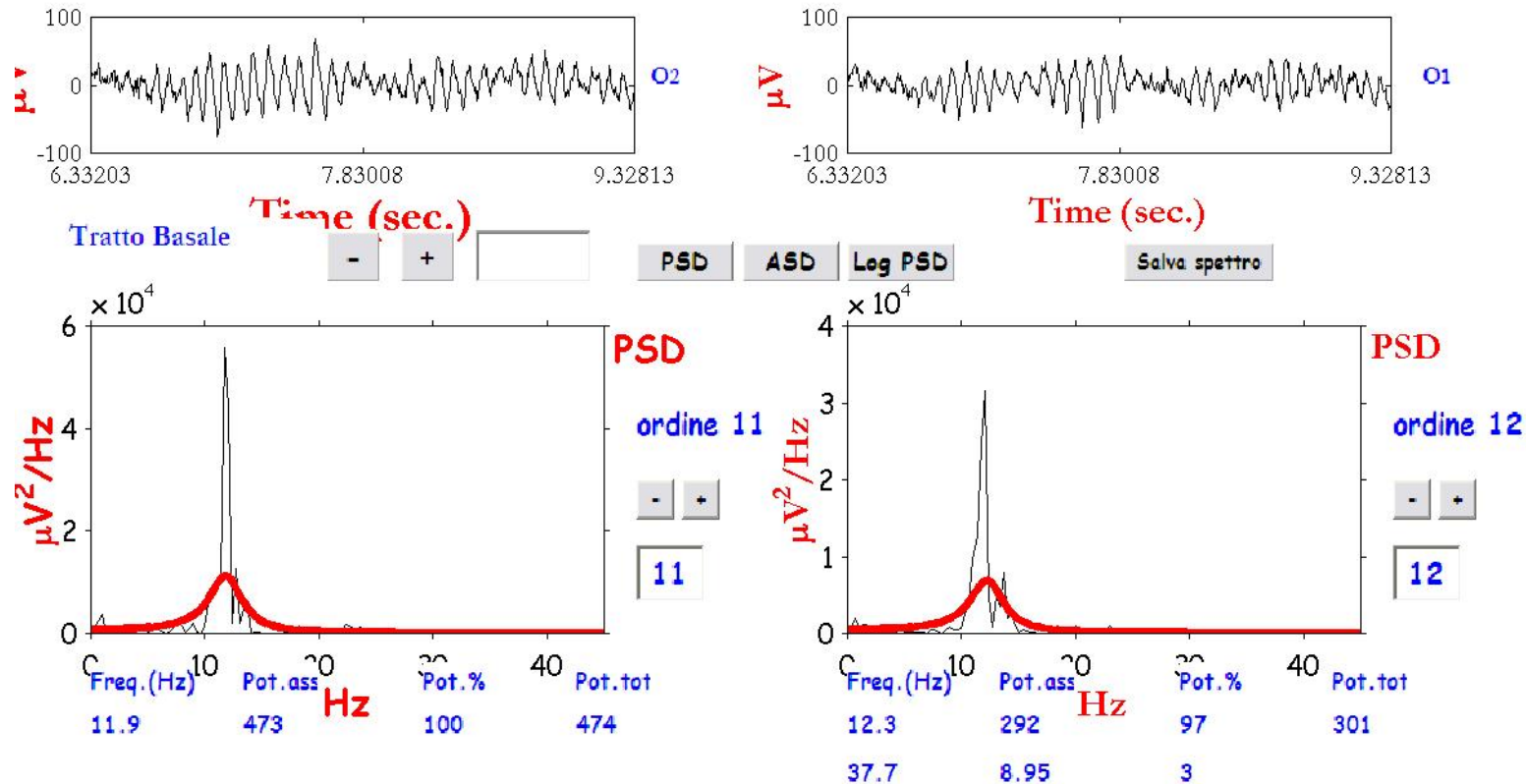


=





# ESEMPIO



In questo tracciato EEG il ritmo prevalente è il ritmo alfa, quindi è evidente un picco intorno a 12 Hz





# LA TRASFORMATA DI FOURIER

Dato un segnale continuo  $g(t)$ , la sua Trasformata di Fourier  $G(f)$  sarà:

$$G(f) = FT\{g(t)\} = \int_{-\infty}^{+\infty} g(t)e^{-j2\pi ft} dt$$

$f$ =frequenza

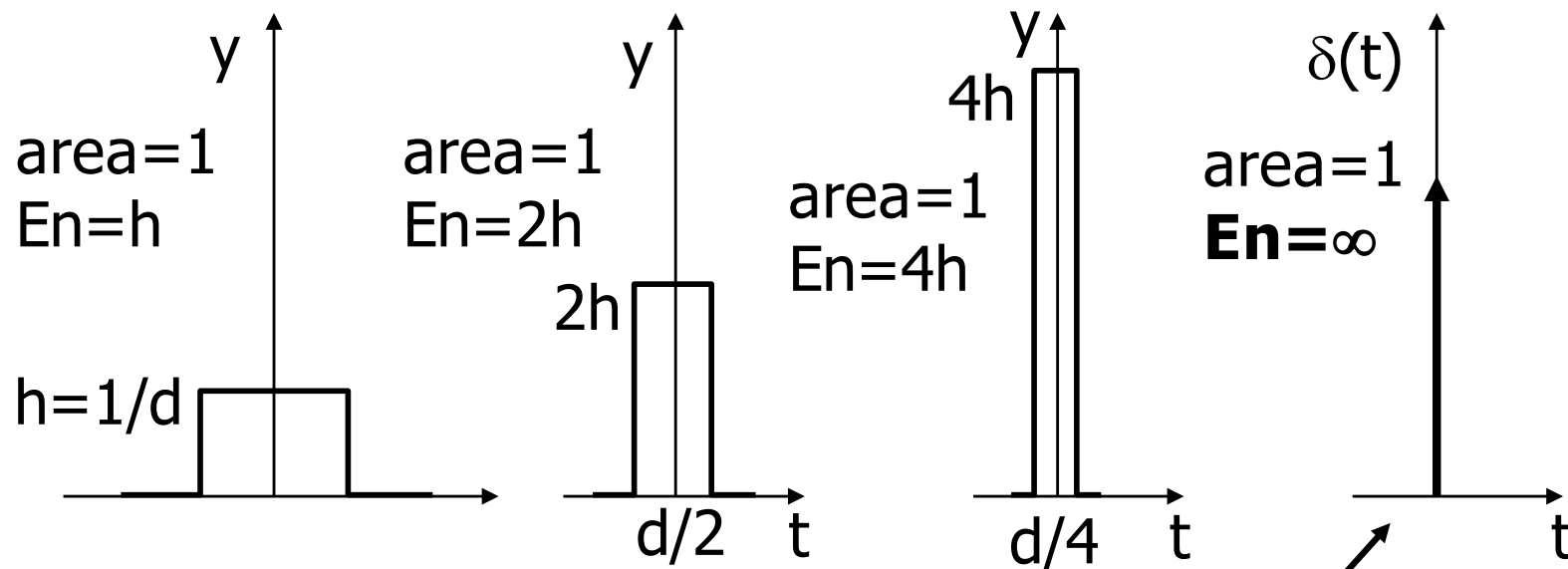
$j$ =numero immaginario

- $G(f)$  non dipende più dal tempo (è stata integrata nel tempo)
- $G(f)$  è una funzione complessa, caratterizzata da modulo e fase

$$G(f) = |G(f)|e^{j\angle G(f)}$$

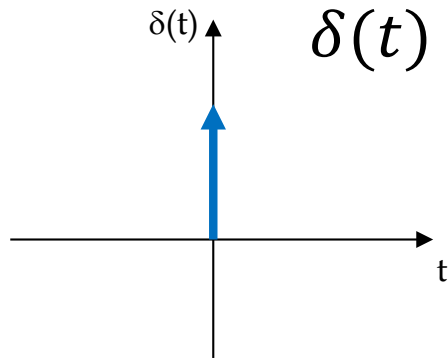
# L'IMPULSO

L'impulso o distribuzione di Dirac,  $\delta(t)$ , è il limite di una serie di funzioni con base sempre più stretta ma con valori sempre più alti in modo da conservare integrale unitario



- l'integrale di  $\delta(t)$  su un intervallo comprendente  $t=0$  vale 1
- l'energia è illimitata

# FT DI UN IMPULSO



$$\delta(t) = \lim_{\Delta t \rightarrow 0} \delta_{\Delta}(t)$$

- Funzione che descrive impulsi di energia istantanei nei sistemi fisici
- Utilizzata per l'identificazione dei sistemi (risposta all'impulso)
- L'integrazione di una qualsiasi funzione con l'impulso equivale a campionare la funzione stessa nell'origine
- Esiste anche l'impulso non centrato nell'origine  $\delta(t-t_0)$

$$FT\{\delta(t)\} = \int_{-\infty}^{+\infty} \delta(t) e^{-j2\pi f t} dt = e^{-j2\pi f 0} = e^0 = 1$$

Qualsiasi funzione moltiplicata per l'impulso equivale alla funzione stessa calcolata in  $t=0$

La FT di un impulso è una costante  $\rightarrow$  lo spettro delle frequenze è completamente piatto

# ALTRE TRASFORMATE NOTEVOLI



## FUNZIONI PERIODICHE

$$\cos(2\pi f_0 t)$$

$$FT = \frac{1}{2} [\delta(f - f_0) + \delta(f + f_0)]$$

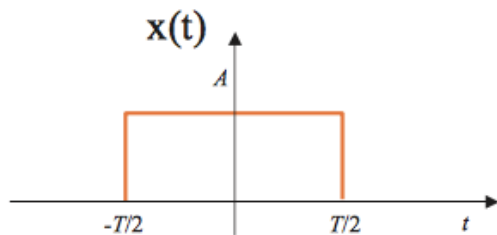
La FT di un segnale cosinusoidale a frequenza  $f_0$  è una coppia di impulsi centrati in  $+f_0$  e  $-f_0$

$$\sin(2\pi f_0 t)$$

$$FT = -\frac{j}{2} [\delta(f - f_0) - \delta(f + f_0)]$$

La FT di un segnale sinusoidale a frequenza  $f_0$  è una coppia di impulsi centrati in  $+f_0$  e  $-f_0$ , ma con ampiezza immaginaria

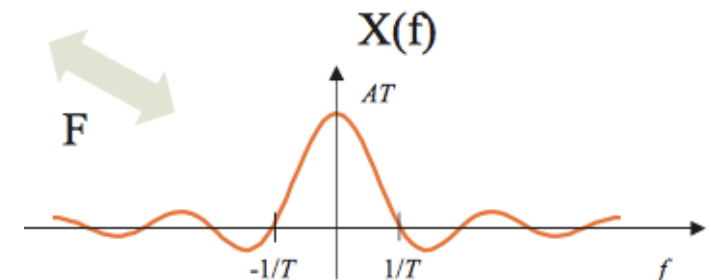
## FUNZIONE RETTANGOLARE



$$x(t) = \text{Arect}_T(t) = \begin{cases} A & |t| \leq \frac{T}{2} \\ 0 & |t| > \frac{T}{2} \end{cases}$$

$$FT = AT \frac{\sin \pi f T}{\pi f T}$$

Funzione sinc





# ANTITRASFORMATATA DI FOURIER

La funzione di partenza  $g(t)$  può essere riottenuta come **antitrasformata di Fourier** che integra (somma) le infinite componenti

$$g(t) = IFT \{G(f)\} = \int_{-\infty}^{+\infty} G(f) e^{j2\pi ft} df$$



# PROPRIETÀ DELLA FT

- **LINEARITÀ:** la FT della combinazione lineare di due segnali è uguale alla combinazione lineare delle due FT

$$ax(t) + by(t) = aFT[x(t)] + bFT[y(t)] = aX(f) + bY(f)$$

- **SIMMETRIA:** la FT gode di simmetria complessa coniugata: la parte reale e il modulo sono simmetrici rispetto all'origine, mentre la parte immaginaria e la fase sono antisimmetrici rispetto all'origine

$$X(f) = X^*(-f)$$

$$Re(X(f)) = Re(X(-f))$$

$$Im(X(f)) = -Im(X(-f))$$

$$|X(f)| = |X(-f)|$$

$$\angle X(f) = -\angle X(-f)$$





# PROPRIETÀ DELLA FT

- **TRASLAZIONE NEI TEMPI:** la FT di un segnale con un ritardo è uguale a quella del segnale originale moltiplicata per un esponenziale complesso

$$FT[x(t - t_0)] = e^{-j2\pi f t_0 t} X(f)$$

- **TRASLAZIONE NELLE FREQUENZE:** traslare in frequenza la FT di un segnale equivale a moltiplicare il segnale per un esponenziale complesso

$$X(f - f_0) = x(t) e^{j2\pi f_0 t}$$

- **DERIVATA NEL TEMPO:** la FT della derivata di una funzione  $x(t)$  equivale alla FT del segnale originale, amplificata per  $j2\pi f$  e con un anticipo di fase di 90 gradi

$$FT \left[ \frac{dx(t)}{dt} \right] = j2\pi f X(f)$$



# PROPRIETÀ DELLA FT

- **VALORE NELL'ORIGINE:** la FT di un segnale calcolata in  $f=0$  equivale all'integrale del segnale

$$X(0) = \int_{-\infty}^{+\infty} x(t)e^{-j2\pi 0t} dt = \int_{-\infty}^{+\infty} x(t) dt$$

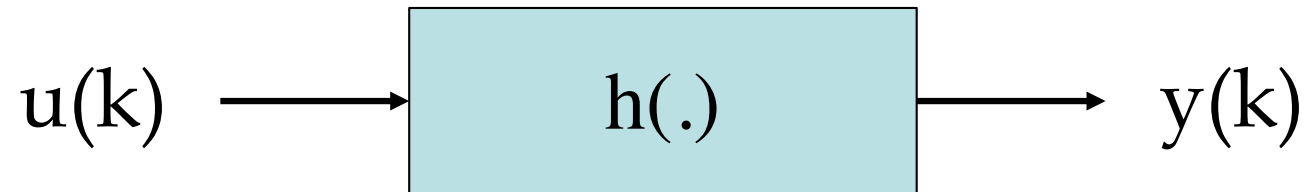
- **SCALA TEMPORALE**

$$FT[x(at)] = \frac{1}{|a|} X\left(\frac{f}{a}\right)$$



# LA CONVOLUZIONE

Considero un sistema lineare, con risposta all'impulso  $h(\cdot)$



Quando  $u(k)$  è un impulso,

$$y(k) = h(k)$$

Ogni segnale  $x(k)$  può essere visto come somma di impulsi, pesati per il valore  $x(k)$  e traslati nel tempo in modo da occorrere al tempo  $k \rightarrow$

$$x(k) = \sum_{n=-\infty}^{+\infty} x(n)\delta(k - n)$$

Poichè il sistema è lineare, vale la sovrapposizione degli effetti  $\rightarrow$  la risposta ad una serie di  $x(k)$  sarà la somma delle risposte  $h(k)$  pesate con il valore di  $x(k)$

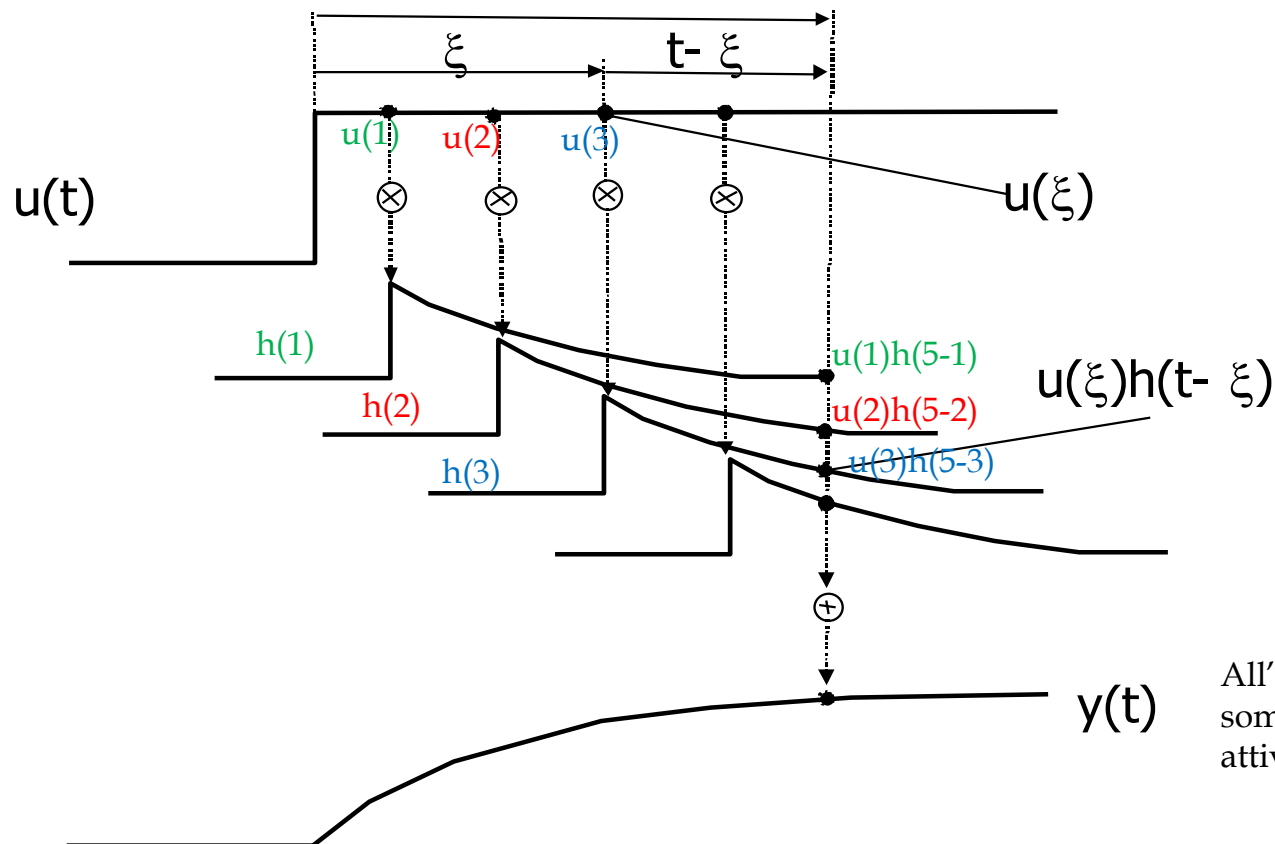
$$y(k) = \sum_{n=-\infty}^{+\infty} x(n)h(n - k) = \sum_{n=-\infty}^{+\infty} h(n)x(n - k)$$

**CONVOLUZIONE  
DI  $x(k)$  con  $h(k)$**

# LA CONVOLUZIONE: SIGNIFICATO



- L'operazione di convoluzione permette di ottenere qualsiasi risposta a partire dalla risposta all'impulso.
- Ogni  $u(i)$  è considerato un impulso di valore  $1 \cdot u(i)$ .
- Ad ogni istante, parte una risposta impulsiva che è sempre uguale a se stessa come andamento (eventualmente pesata per il valore  $u(i)$ , ma nell'esempio è sempre 1)
- Ad un certo istante  $t$ , saranno "attive" ancora varie risposte all'impulso, quindi  $y(t)$  sarà ottenuto come somma di tutte le risposte ancora attive (attivate all'istante  $\xi$ )



$$y(t) = h(t) * u(t)$$

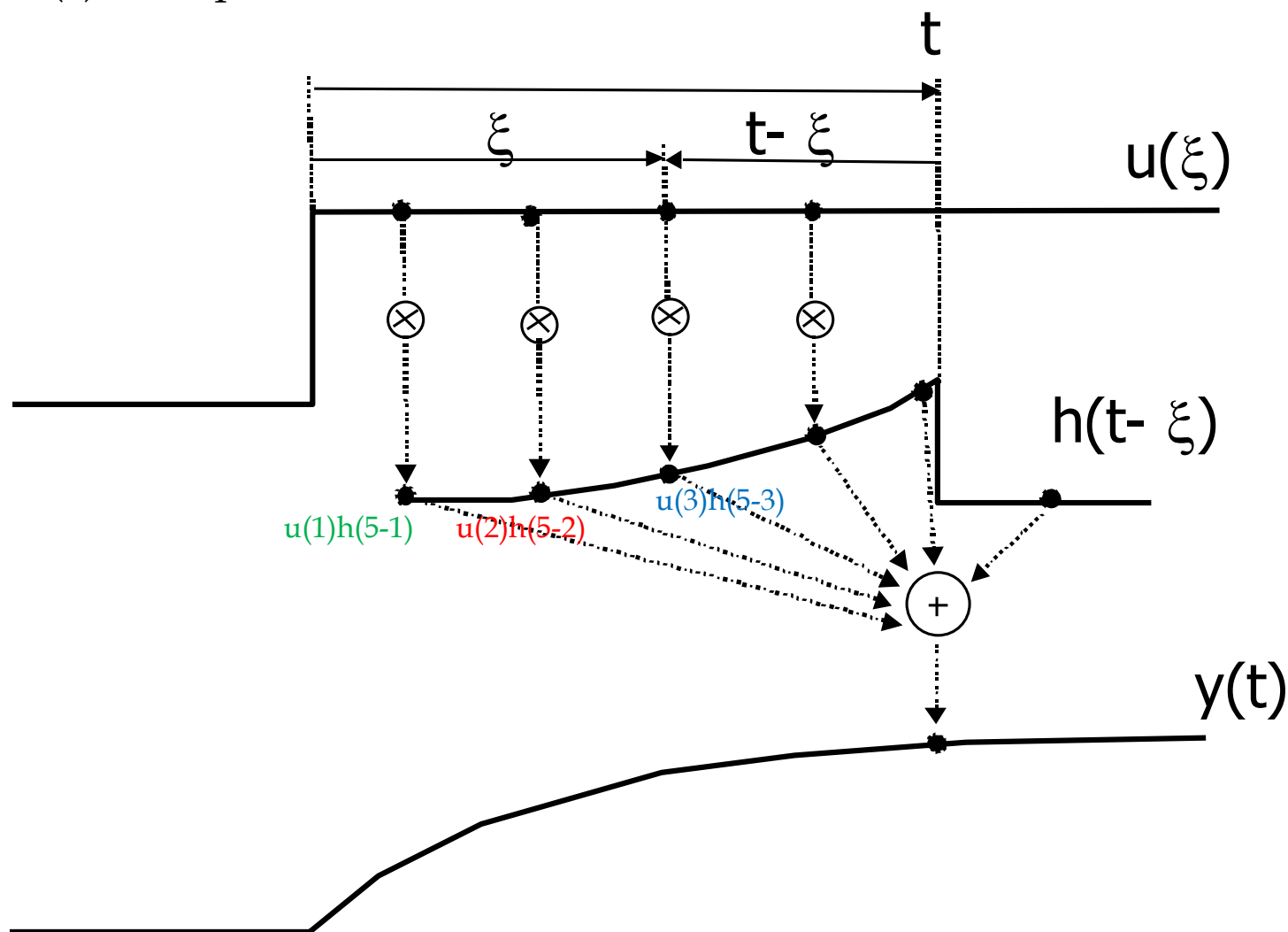
$$= \int_{-\infty}^{+\infty} h(t - \xi)u(\xi)$$

All'istante 5,  $y(t)$  è ottenuto dalla sommatoria di tutti i contributi ancora attivi delle  $h(t-k)u(k)$

# LA CONVOLUZIONE: SIGNIFICATO



L'operazione precedente equivale a prendere  $h(t-\xi)$ , che è uguale a se stessa in tutti i tempi in cui viene "attivata" da un impulso, moltiplicandola in tutti gli istanti precedenti a  $t$  per la  $u(\xi)$  corrispondente



# FT DELLA CONVOLUZIONE



$$FT[x(t) * y(t)] = X(f)Y(f)$$

$$FT[x(t)y(t)] = X(f) * Y(f)$$

- La convoluzione nel dominio del tempo corrisponde ad una moltiplicazione nel dominio delle frequenze
- Viceversa, la moltiplicazione di due segnali corrisponde ad una convoluzione delle sue trasformate





# TEOREMA DI PARSEVAL

L'energia del segnale nel tempo è pari all'energia della sua trasformata

$$\int_{-\infty}^{\infty} |x(t)|^2 dt = \int_{-\infty}^{\infty} |X(f)|^2 df$$



# DISCRETE FOURIER TRANSFORM

Dato un segnale discreto  $g(k)$ , posso calcolare la sua equivalente trasformata di Fourier mediante la Discrete Fourier Transform (DFT)

$$G(k) = \sum_{n=0}^{N-1} g(n) e^{-j \frac{2\pi knT}{N}}$$

$$k = 0, 1, \dots, N-1$$

- Il numero di campioni in frequenza è pari al numero di campioni nel tempo
- $G(k)$  è una funzione discreta

Il segnale di origine può essere ricalcolato tramite la DFT inversa (IDFT)

$$g(n) = \frac{1}{N} \sum_{k=0}^{N-1} G(k) e^{j \frac{2\pi knT}{N}}$$

$$n = 0, 1, \dots, N-1$$



# DFT IN MATLAB

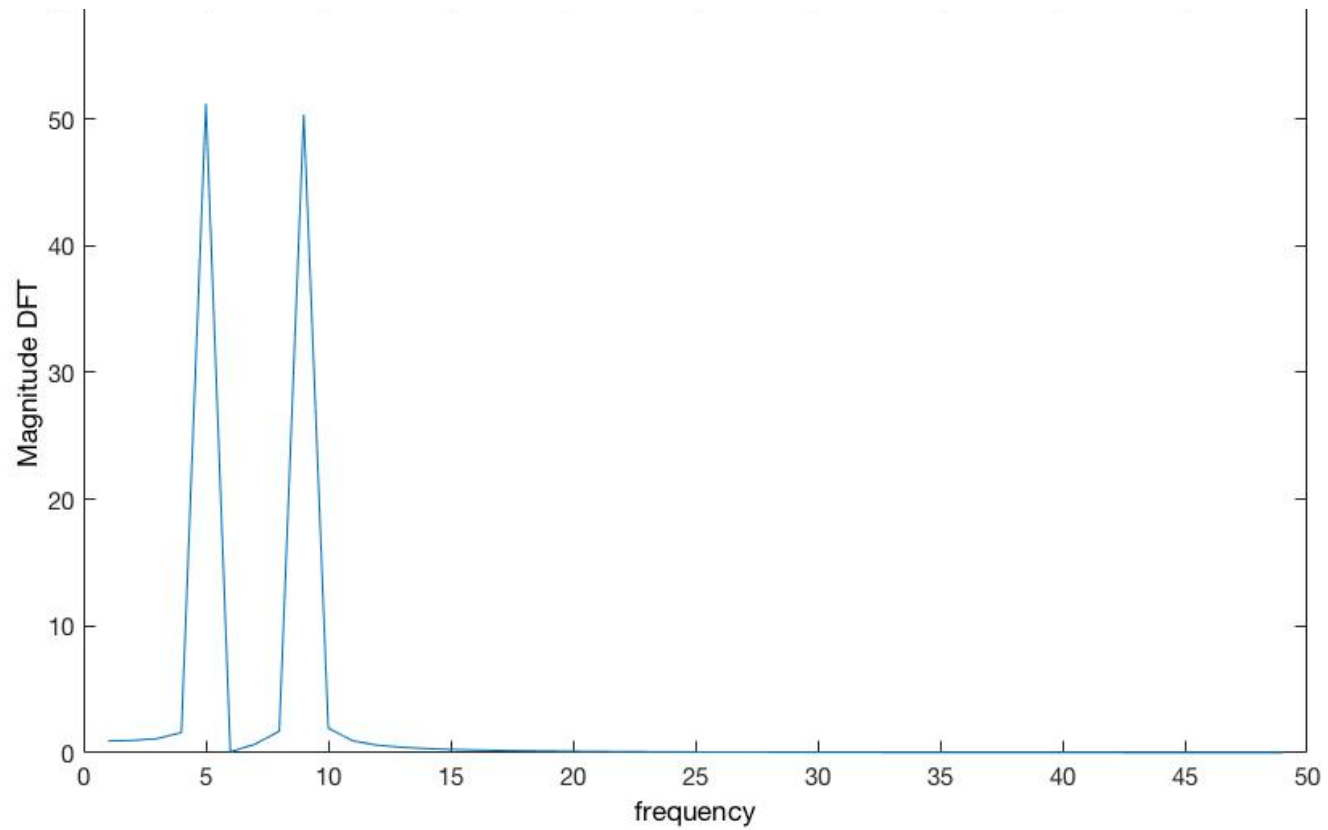
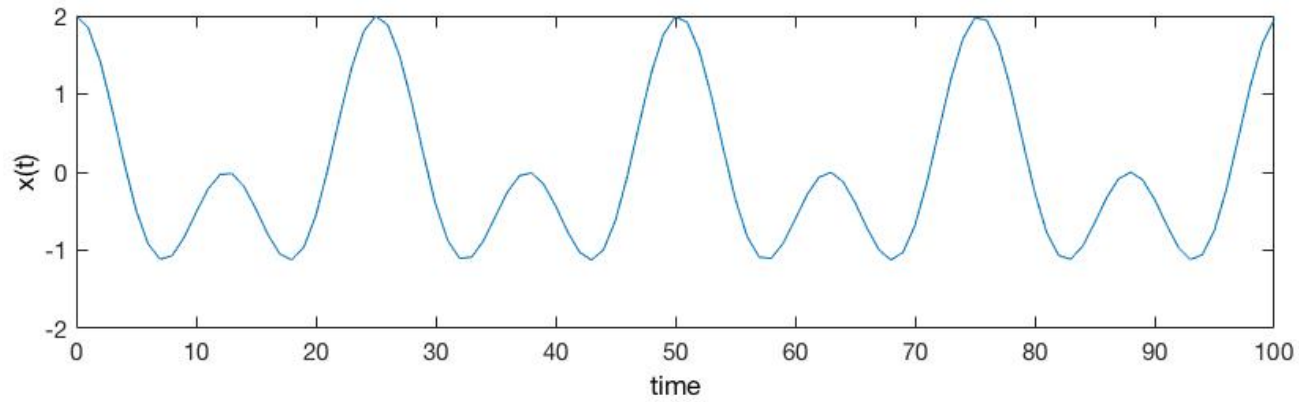
**fft** Discrete Fourier transform.

**fft(X)** is the discrete Fourier transform (DFT) of vector X. For matrices, the **fft** operation is applied to each column. For N-D arrays, the **fft** operation operates on the first non-singleton dimension.

```
DFT1=fft(c);  
mag1=abs(DFT1);  
n=length(mag1);  
figure; plot(mag1(1:n/2-1));
```

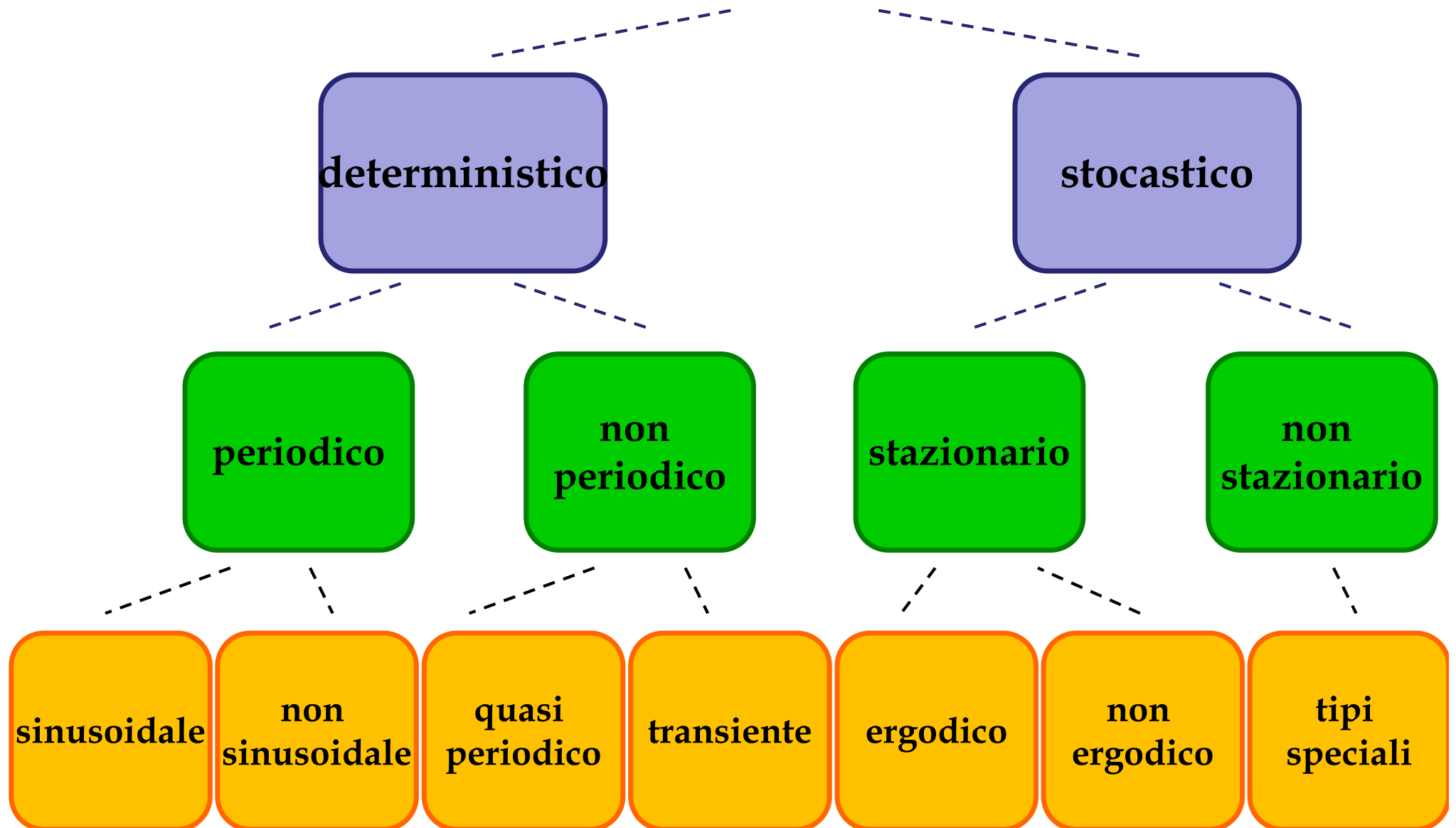


# ESEMPIO



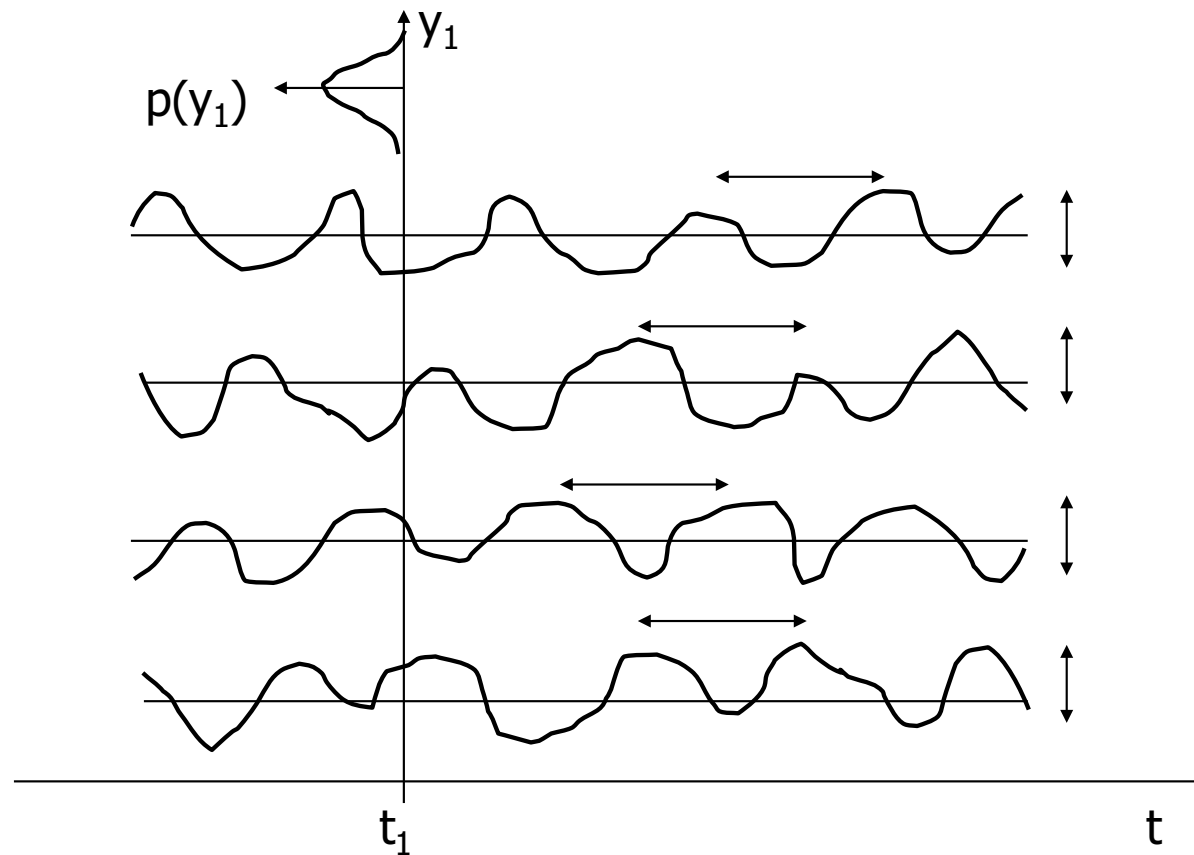


# CLASSIFICAZIONE DEI SEGNALI



# PROCESSI STOCASTICI

- Il segnale  $y(t)$  è visto come una delle tante possibili realizzazioni di un **processo stocastico**
- Questa impostazione è volta allo studio delle **caratteristiche statistiche** importanti del segnale trascurando gli aspetti casuali



Diverse  
realizzazioni di  
un processo  
stocastico



# MOMENTI DI UNA VARIABILE CASUALE



- Considero una variabile casuale  $x$  con distribuzione  $f(x)$
- Momenti  $\rightarrow$  descrittori della  $f(x)$
- Formula generale

$$E[g(x)] = \int_{-\infty}^{+\infty} g(x) f(x) dx$$

$g(x) \rightarrow$  *polinomio*

- Esempi  $\rightarrow$

$$g(x) = x \rightarrow E[x] = \int_{-\infty}^{+\infty} x f(x) dx \rightarrow \text{MEDIA} \quad \text{Valore attorno a cui } f \text{ si dispone}$$

$$g(x) = x^2 \rightarrow E[x^2] = \int_{-\infty}^{+\infty} x^2 f(x) dx \rightarrow \text{AUTOCORRELAZIONE} \quad \text{Dispersione di } f \text{ attorno alla media}$$

$$g(x) = x^3 \rightarrow E[x^3] = \int_{-\infty}^{+\infty} x^3 f(x) dx \rightarrow \text{SKEWNESS} \quad \text{Asimmetria di } f$$

$$g(x) = x^4 \rightarrow E[x^4] = \int_{-\infty}^{+\infty} x^4 f(x) dx \rightarrow \text{KURTOSIS} \quad \text{Grado di appiattimento di } f \text{ attorno al suo centro}$$

# MOMENTI DI UNA VARIABILE CASUALE



- In generale,

$$m_r = E[x^r]$$

- La conoscenza di **tutti i momenti** determina esattamente la  $f$
- Se  $f$  è **normale**, la conoscenza del **primo e del secondo momento** è sufficiente per descrivere completamente la distribuzione
- **Momento centrato**  $\rightarrow$  considero la distribuzione come se fosse centrata sullo zero (media nulla)

$$g(x) = (x - m)^n = \int_{-\infty}^{+\infty} (x - m)^n f(x) dx$$

$$g(x) = (x - m)^2 = \int_{-\infty}^{+\infty} (x - m)^2 f(x) dx \rightarrow \text{VARIANZA}$$

# MOMENTI DI INSIEMI DI VARIABILI CASUALI



- Considero un vettore aleatorio discreto (insieme di  $n$  variabili casuali)

$$X = \{x_1, x_2, \dots, x_n\}$$

- Nel caso vettoriale si deve introdurre il concetto di **densità congiunta**

$$p(X) = \prod_{i=1}^n p(x_i) \quad x_i \rightarrow \textit{indip}$$

- L'ordine  $r$  totale del momento del vettore è definito dalla somma delle potenze  $r_i$  delle singole variabili

$$m_{r=r_1+r_2+\dots+r_n} = E[x_1^{r_1} x_2^{r_2} \dots x_n^{r_n}]$$

- Se  $r_1=r_2=\dots=r_n=1$  si ottiene il momento  $n$ -esimo del vettore

$$m_n = E[x_1 x_2 \dots x_n]$$

# MOMENTI DI PROCESSI STOCASTICI



- Considero un processo stocastico

$$Y(t) = \{y(t_1), y(t_2), \dots, y(t_n)\}$$

Ad ogni rilevazione  $k$  del processo, la  
sequenza cambia

	variabili rilevate		
tempo	$Y_1$		$Y_k$
$t_1$	$y_{11}$	⋮	$y_{k1}$
$t_2$	$y_{12}$	⋮	$y_{k2}$
⋮	⋮	⋮	⋮
$t_n$	$y_{1n}$	⋮	$y_{kn}$

- La distribuzione di probabilità dell'intero processo è caratterizzata completamente dall'insieme di tutte le distribuzioni di probabilità delle realizzazioni del processo in ogni istante temporale ( $Y_{tk}$ ) e delle loro combinazioni per ogni scelta di  $t_1, \dots, t_k$
- Molto spesso ci si limita alla conoscenza dei momenti (descrittori delle funzioni di probabilità) e, tra questi, si stimano i momenti primi e secondi.

$$M_1 = E[Y(t)]$$

Media

$$M_2 = E[Y(t)^2]$$

Varianza

$$M_{12} = E[Y(t_1)Y(t_2)]$$

Correlazione

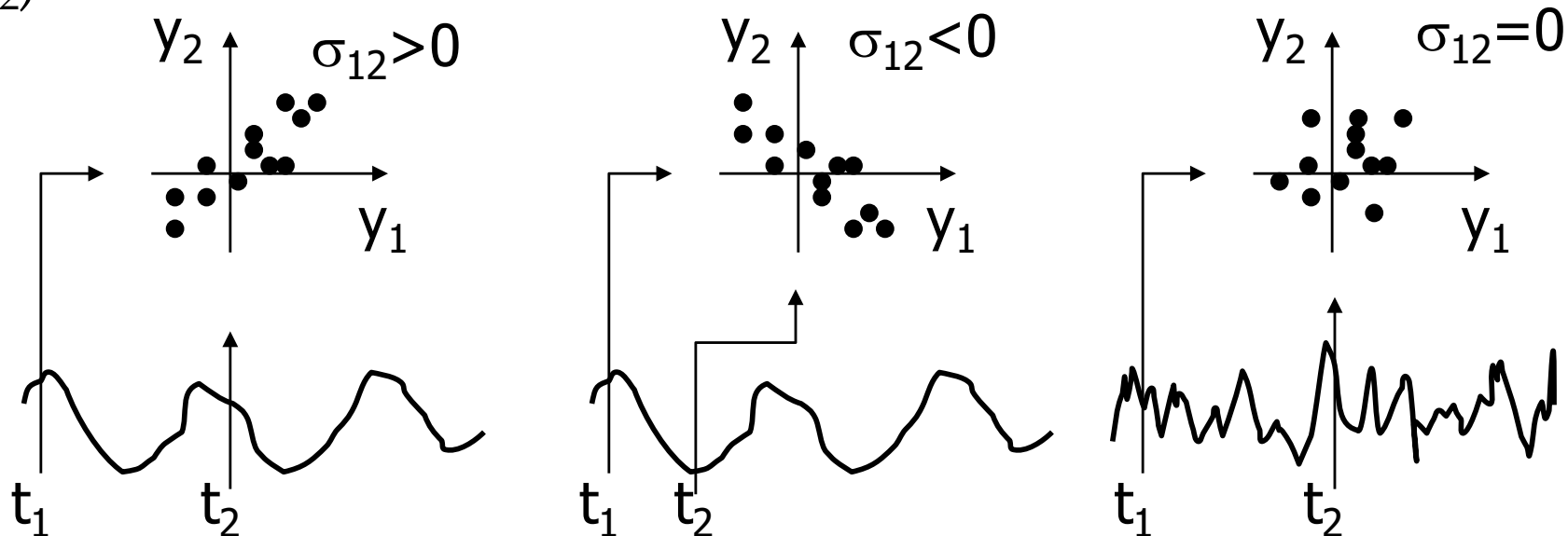


# CORRELAZIONE E COVARIANZA

Correlazione  $M_{12} = E[Y(t_1)Y(t_2)] = \iint Y(t_1)Y(t_2)P(Y(t_1), Y(t_2))dy_1dy_2$

Covarianza  $\sigma_{12} = E[(Y(t_1) - E[Y(t_1)])(Y(t_2) - E[Y(t_2)])]$

$y_1 = y(k_1)$   
 $y_2 = y(k_2)$





# SERIE TEMPORALI: STAZIONARIETÀ E ERGODICITÀ

- **Stazionarietà** = invarianza nel tempo
  - le proprietà statistiche non dipendono da un riferimento temporale assoluto.
  - $p(y(t))$  deve valere per ogni  $t$  e  $p(y(t_1), y(t_2), \dots, y(t_k))$  deve dipendere solo dalle distanze temporali  $\tau$  ( $t_2-t_1, \dots, t_k-t_{k-1}$ ).
- **Stazionarietà debole** = stazionarietà solo sui momenti di primo e secondo ordine:
  - $M = E[y(t)]$                       valor medio costante
  - $\sigma^2 = E[y(t)^2]$                       varianza costante
  - $ACF = E[y(t) \cdot y(t+\tau)]$                       correlazione dipendente da  $\tau$
- **Ergodicità** = ogni elemento del processo è rappresentativo di tutti gli altri, quindi è **possibile stimare le proprietà statiche del processo da una sola realizzazione, pur di avere un numero sufficientemente elevato di campioni.**



# MEDIA, VARIANZA E ACF NEI SEGNALI ERGODICI



- Nei casi concreti si dispone di un numero  $N$  finito di campioni  $\rightarrow$  devo stimare le proprietà statistiche da questi  $N$  campioni

- MEDIA CAMPIONARIA 
$$\hat{E}[\mathbf{y}(t)] = \frac{1}{N} \sum_{i=0}^{N-1} \mathbf{y}(t_i)$$

Per  $N \rightarrow \infty$  la media campionaria stima  $m$  con incertezza  $\sigma/\sqrt{N}$

- AUTOCORRELAZIONE

$$\widehat{ACF}(k) = \frac{1}{N-k-1} \sum_{i=0}^{N-k-1} (\mathbf{y}(t_i) - \hat{E}[\mathbf{y}(t)]) (\mathbf{y}(t_{i+k}) - \hat{E}[\mathbf{y}(t)])$$

ACF NON POLARIZZATA

$$\widehat{ACF}(k) = \frac{1}{N-1} \sum_{i=0}^{N-k-1} (\mathbf{y}(t_i) - \hat{E}[\mathbf{y}(t)]) (\mathbf{y}(t_{i+k}) - \hat{E}[\mathbf{y}(t)])$$

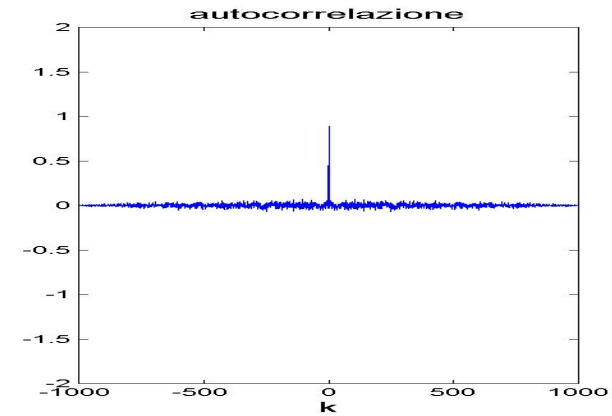
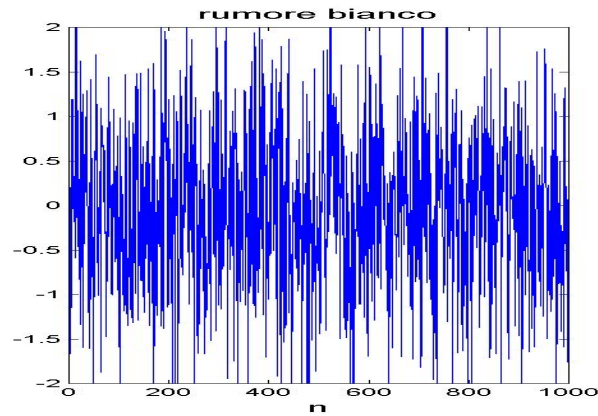
ACF POLARIZZATA

La stima NON POLARIZZATA utilizza come fattore di pesatura tutti i campioni disponibili fino al tempo  $k$  ( $N-k-1$ ), mentre la stima POLARIZZATA divide sempre per tutti i campioni disponibili ( $N-1$ )

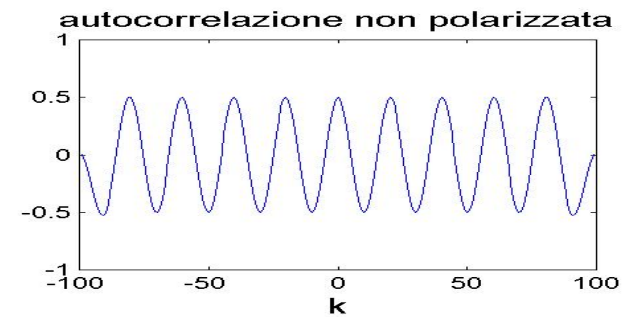
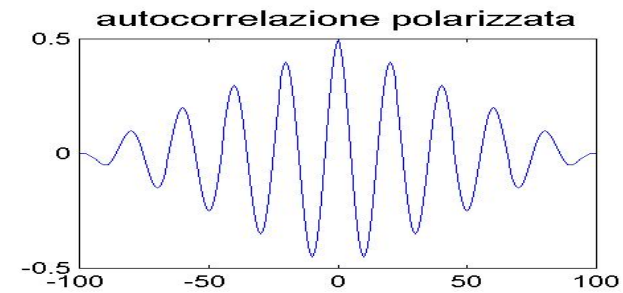
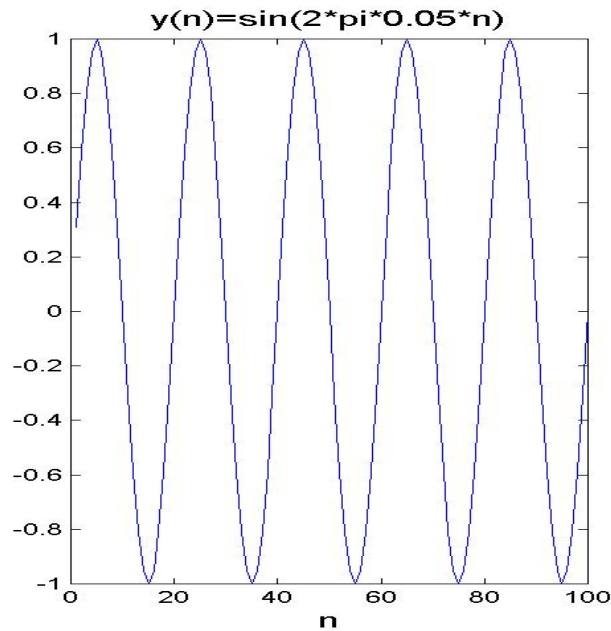


# ESEMPI

Rumore  
bianco



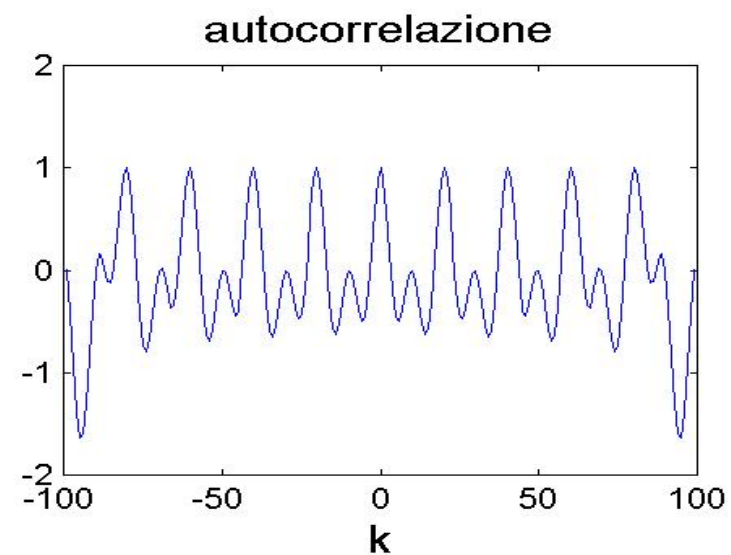
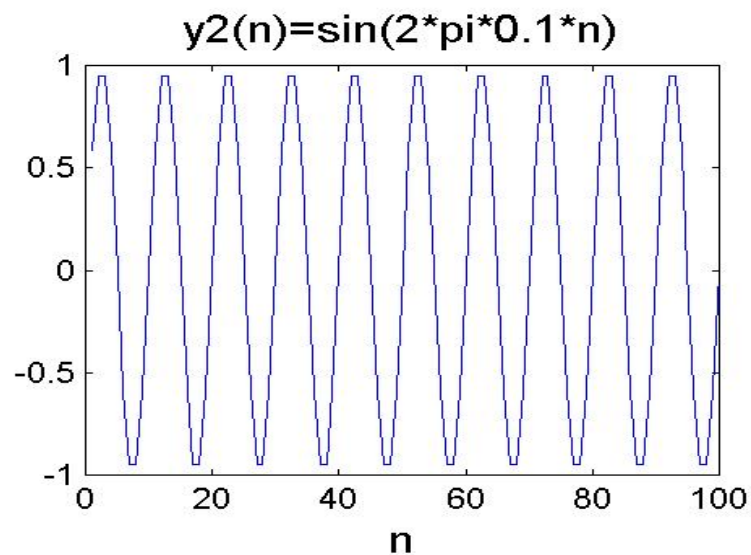
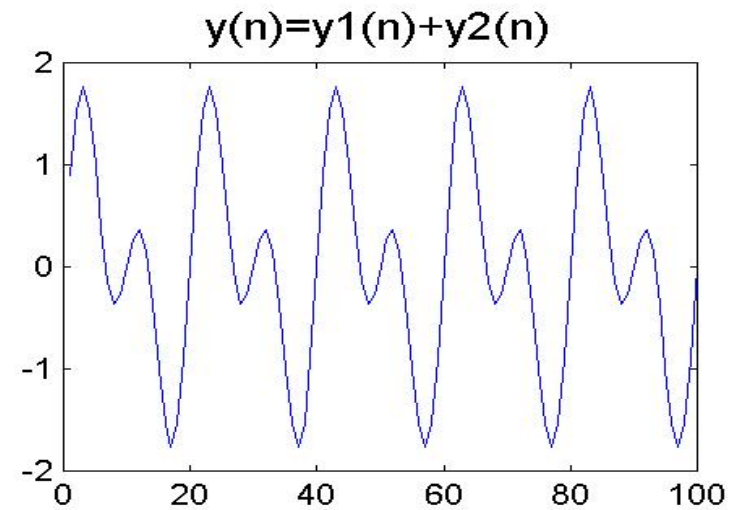
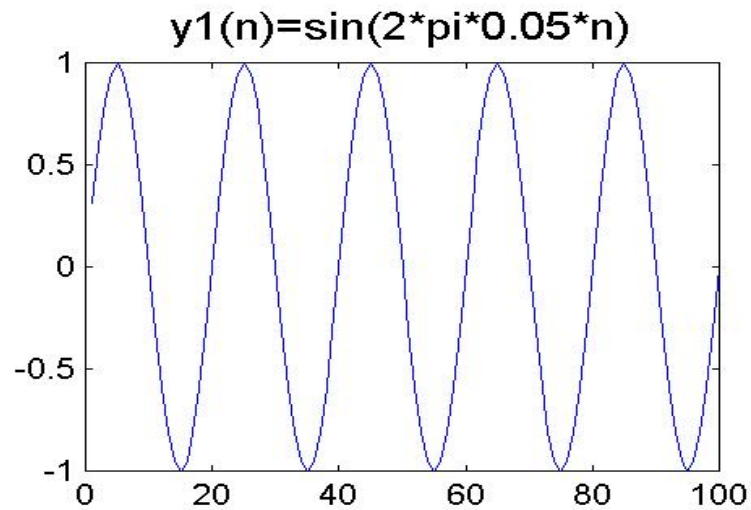
Sinusoide





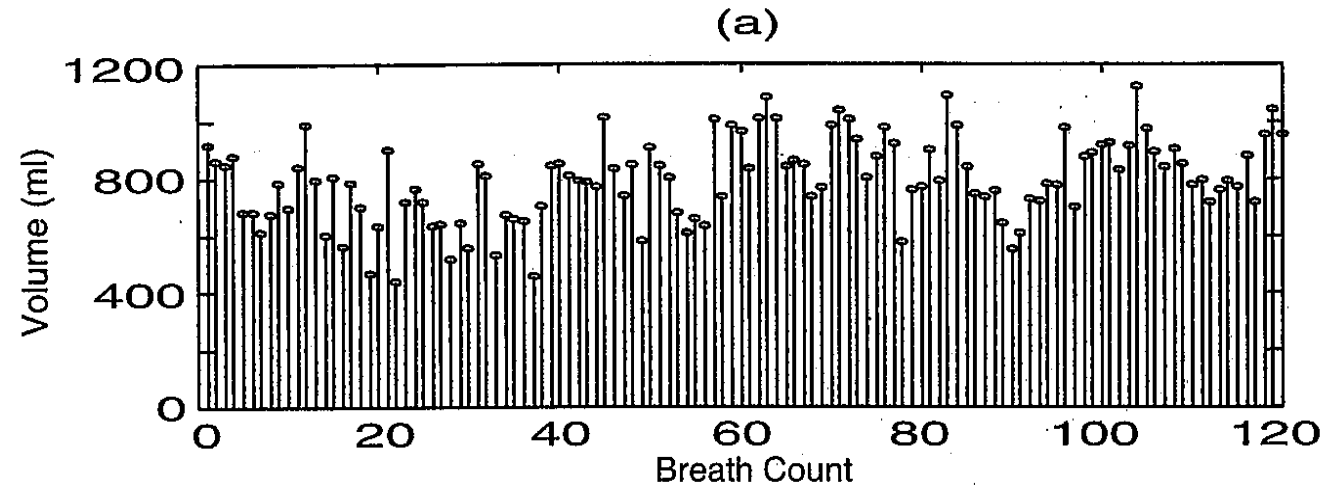
# ESEMPI

## Somma di Sinusoidi

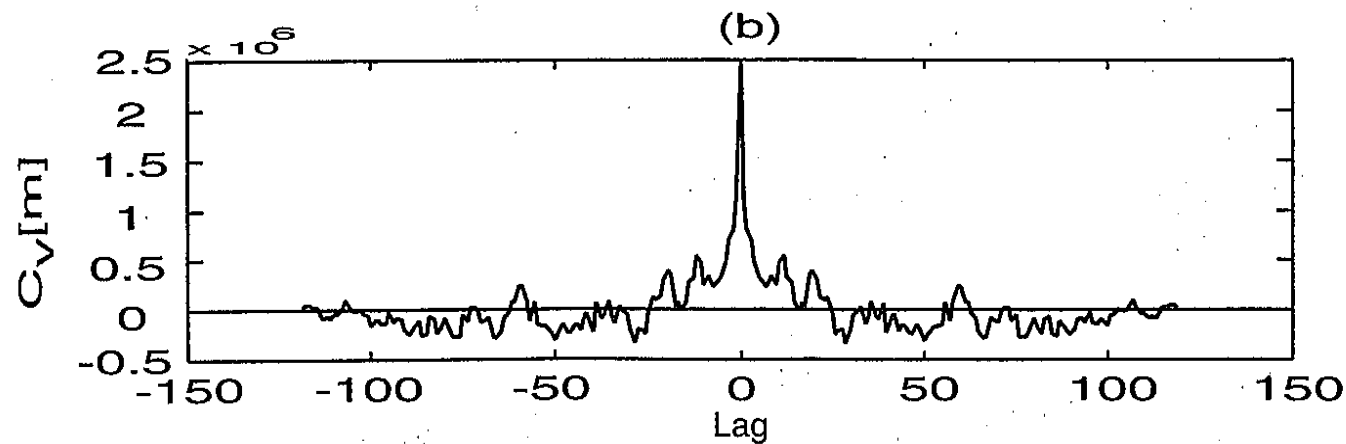




# SEGNALI RESPIRATORI



Valori di volume respiratorio (120 respiri) in un soggetto umano.



ACF dei dati di volume respiratorio considerato come un segnale a tempo discreto.

# AUTOCORRELAZIONE: IN SINTESI



## RUMORE BIANCO



simile a se stesso; campioni scorrelati

funzione di autocorrelazione → spike

## SEGNALE PERIODICO



in fase o meno a seconda dello shift

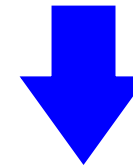
funzione di autocorrelazione → periodica

## SEGNALE PERIODICO + RUMORE



funzione di autocorrelazione:

- riduce il rumore nello spike
- lascia il seno periodico





# CROSS-CORRELAZIONE

Dati due processi stocastici stazionari ergodici

$$y_1(t)$$

$$y_2(t)$$

Definisco la cross correlazione come:

$$C_{12}(k) = E[y_1(i)y_2(i+k)] = \lim_{n \rightarrow \infty} \frac{1}{N} \sum_{i=0}^{N-1} y_1(i)y_2(i+k)$$

Rappresenta la covarianza dei due segnali valutata a distanza  $k$  (lag temporale)



# ESEMPIO

Considero

$$x(t) = \cos(0.5t) + \cos(0.25t);$$
$$y(t) = \cos(0.5t) + \cos(0.5t + f);$$

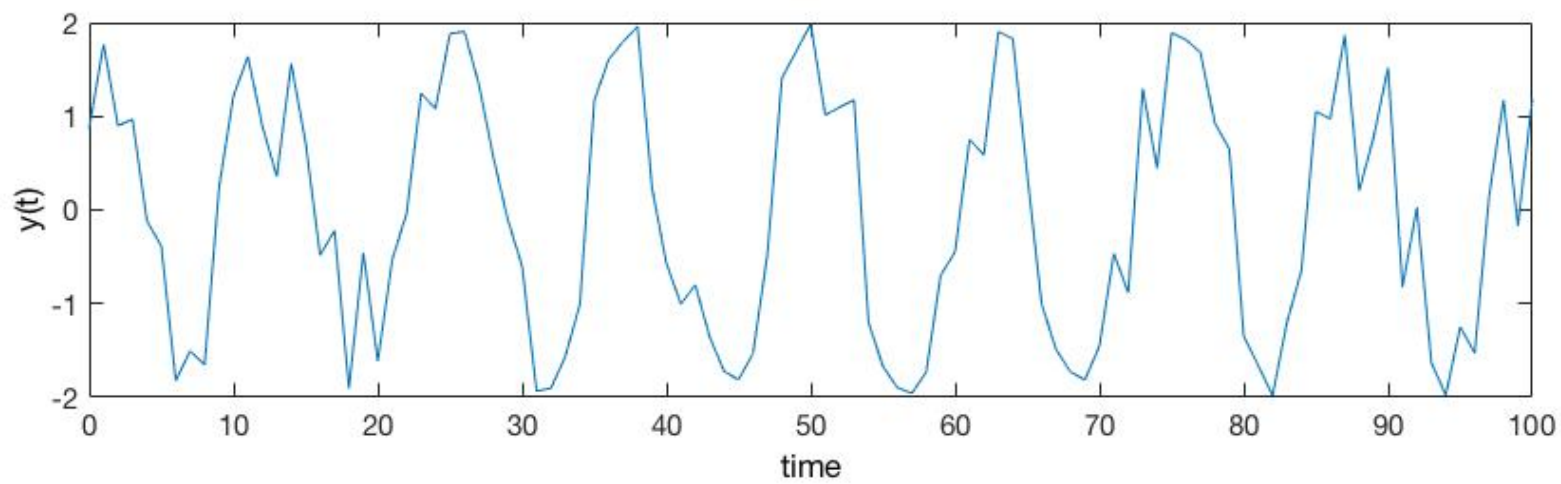
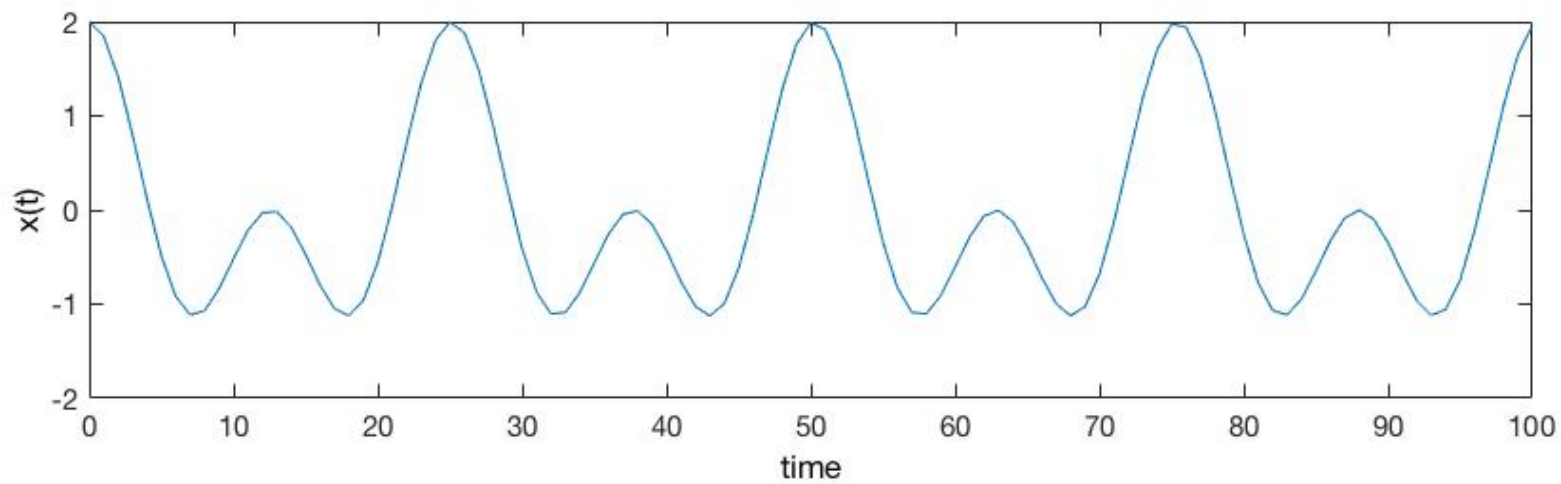
dove,  $f = \text{rand}(\text{length}(t));$

```
t=[0:100];  
fi=randn(size(t));  
a=cos(0.5*t);  
b=cos(0.25*t);  
c=a+b;  
a2=cos(0.5*t+fi);  
d=a+a2;  
figure; subplot (2,1,1); plot(t,c); subplot (2,1,2); plot(t,d);  
[acf1,lag1]=autocorr(c, length(c)-1);  
[acf2,lag2]=autocorr(d, length(d)-1);  
figure; subplot (1,2,1); plot(-lag1,acf1,'b');hold on;  
plot(lag1,acf1,'b'); subplot (1,2,2); plot(-lag2,acf2,'b');hold on; plot(lag2,acf2,'b');  
[ccf,lag]=crosscorr(c,d, length(c)-1);  
figure; plot(lag,ccf,'r');
```

SEGNALI PERIODICI A 0.5 E 0.25

FASE RANDOMIZZATA

# ESEMPIO

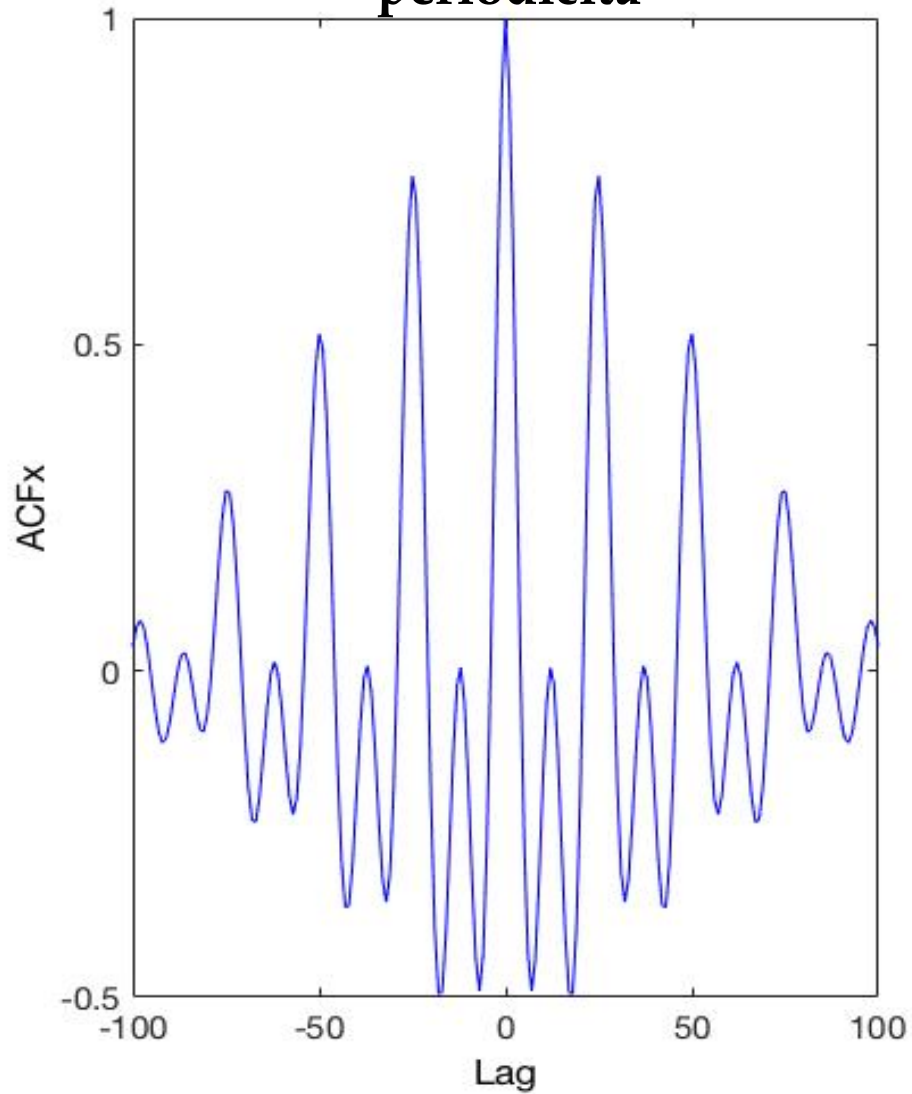




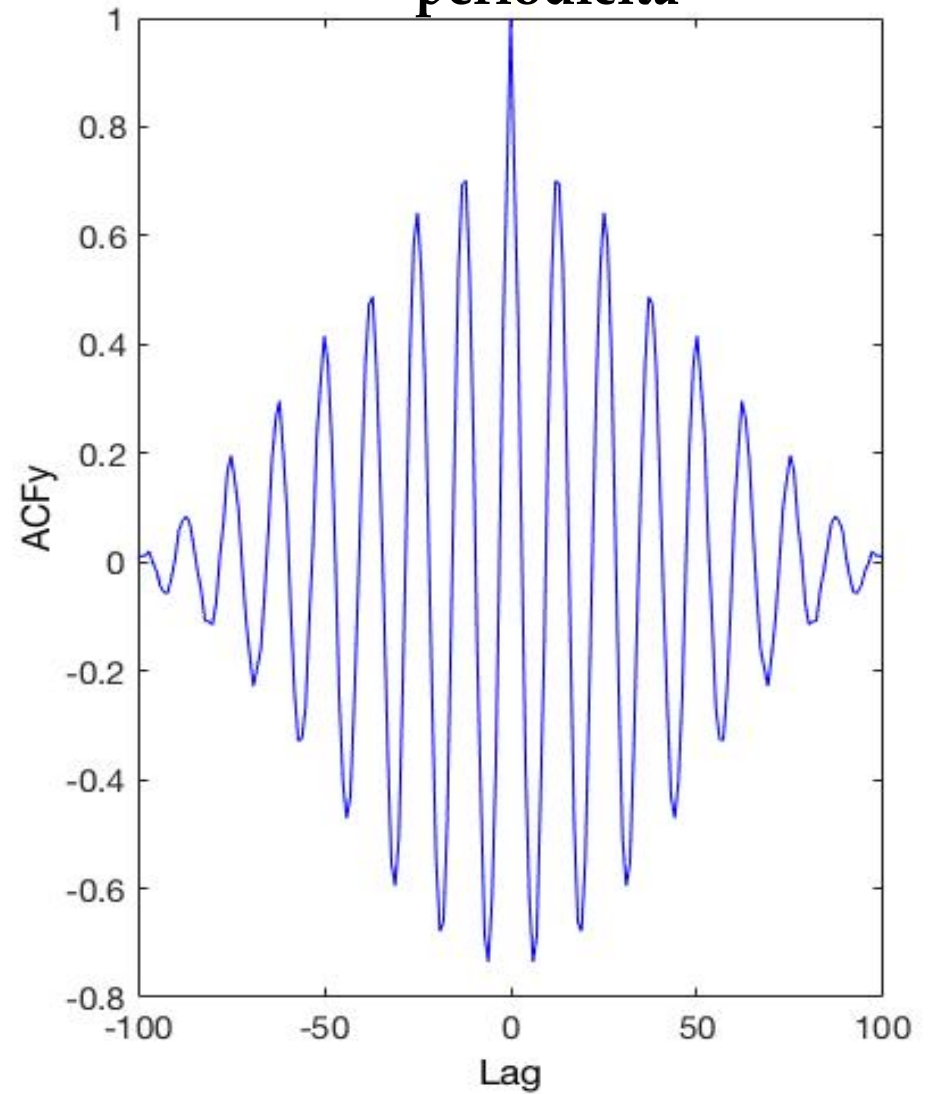


# ESEMPIO

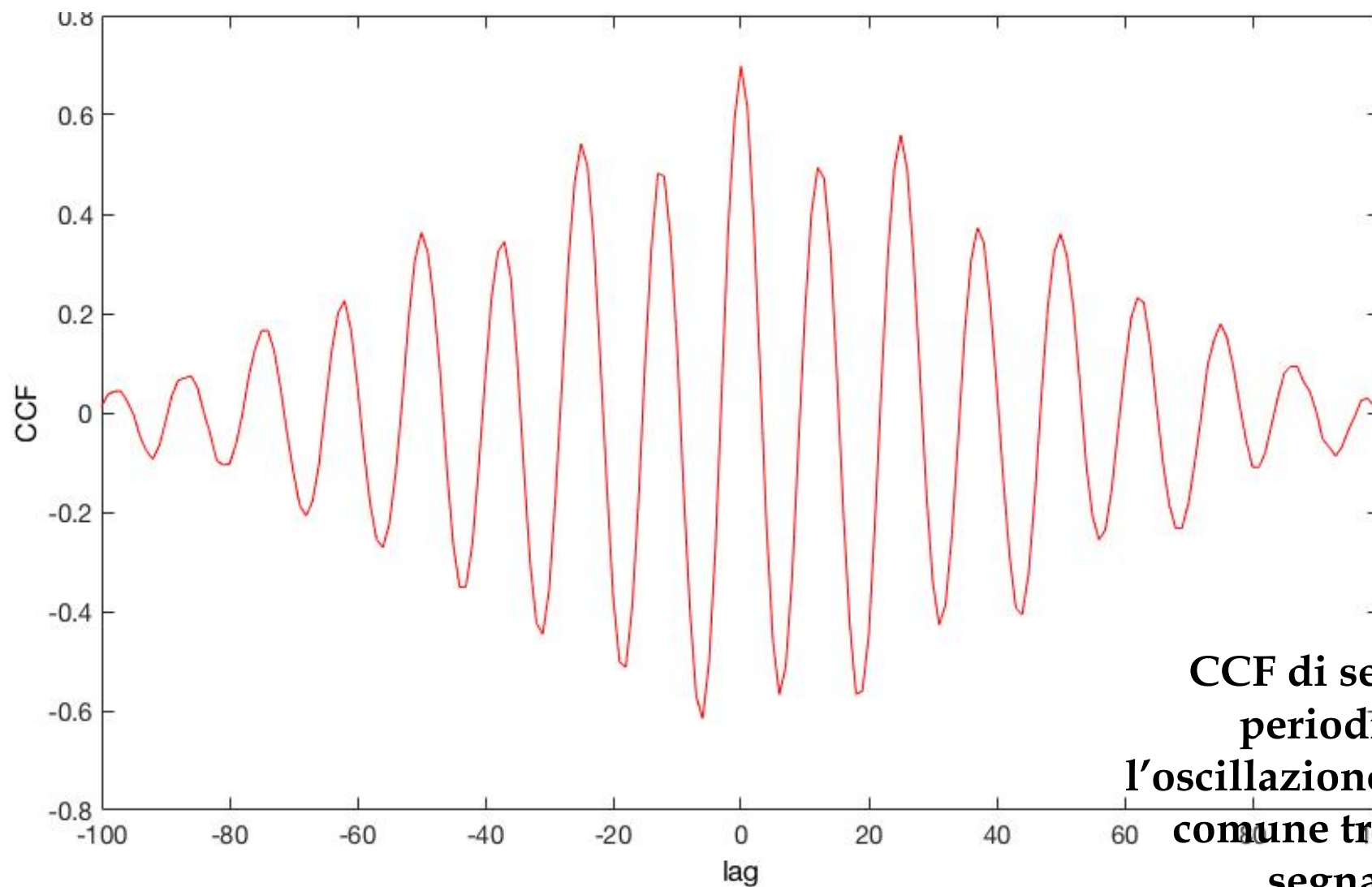
$x(t)$  ha una doppia  
periodicità



$y(t)$  ha una sola  
periodicità



# ESEMPIO

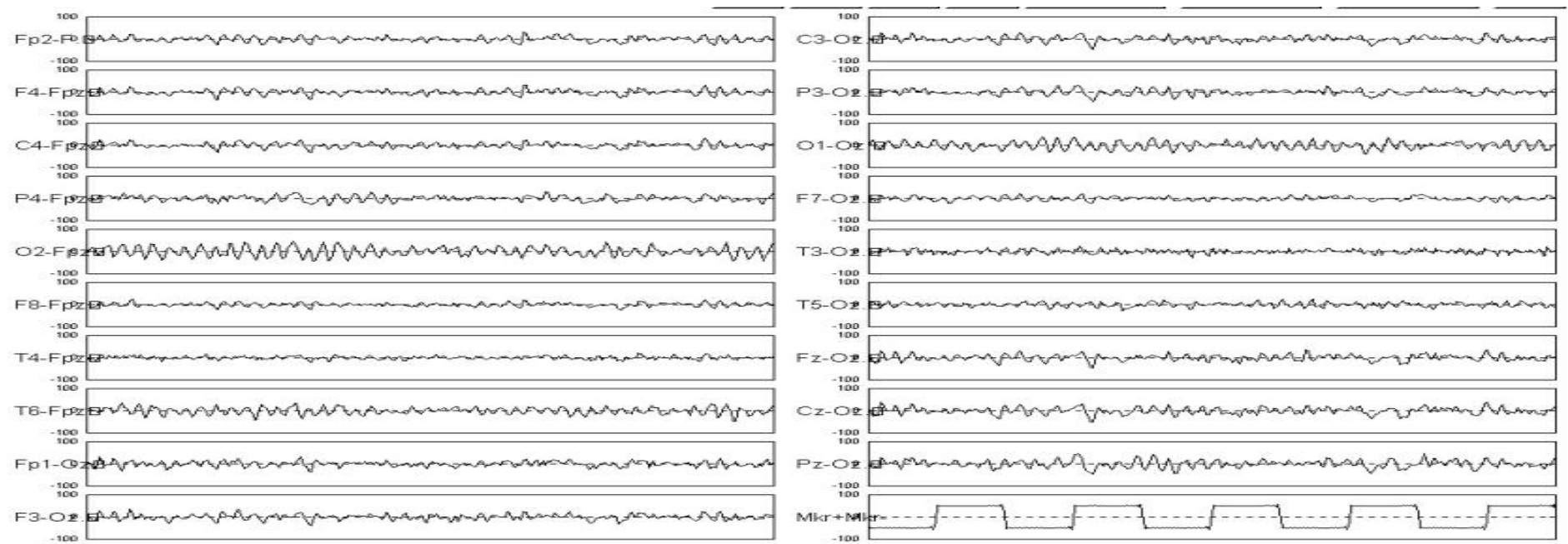


**CCF di segnale  
periodico:  
l'oscillazione  $0.5t$  è in  
comune tra i due  
segnali**

# ESEMPIO: TRACCIATO EEG NORMALE



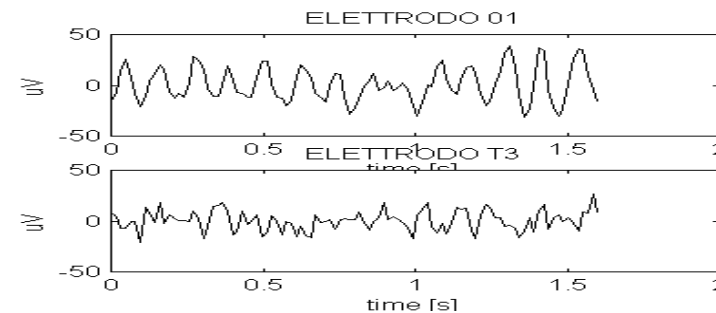
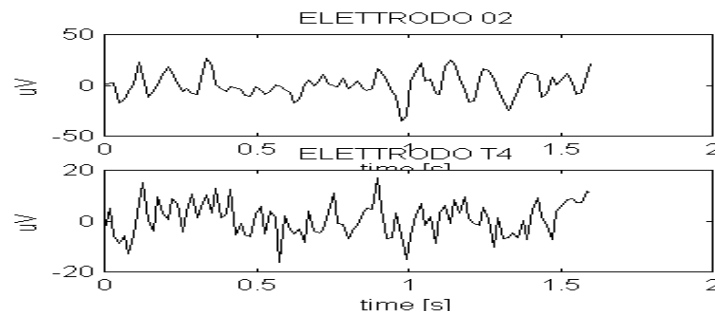
- non periodico, ma spesso con un ritmo prevalente su specifiche bande di frequenza
- le caratteristiche variano con la derivazione
- possono presentarsi similitudini e sincronismi fra derivazioni



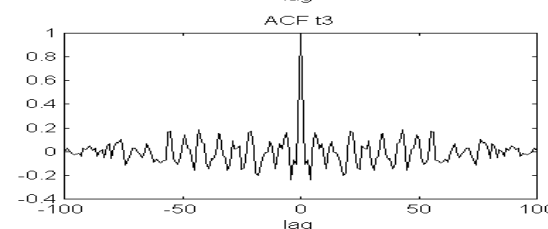
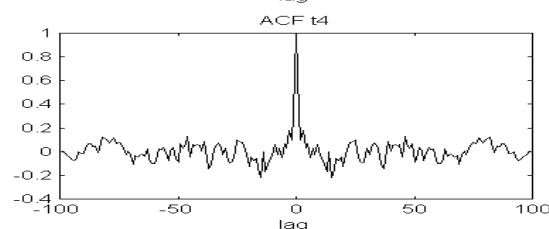
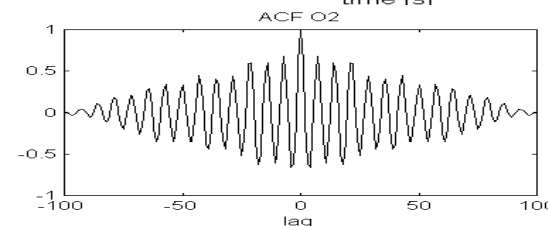
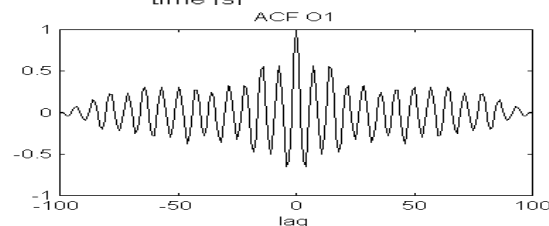
➡ si valuta la presenza di ritmi prevalenti con la stima della ACF

➡ si valuta la presenza di sincronismi tra derivazioni con la stima della CCF

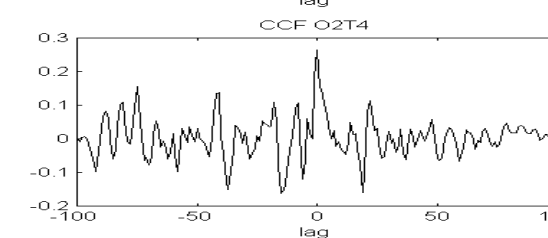
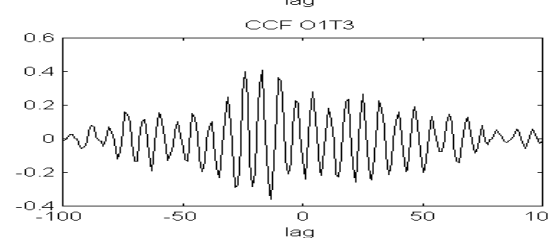
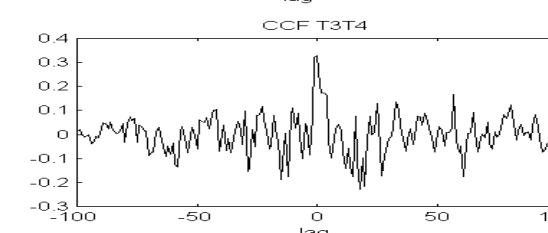
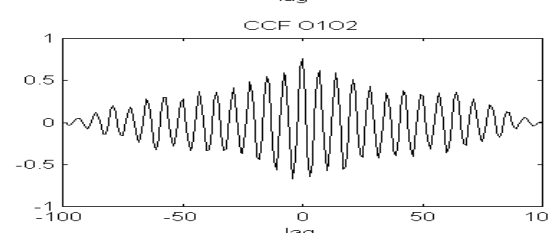
# ESEMPIO: TRACCIATO EEG NORMALE



ACF sui  
singoli  
elettrodi



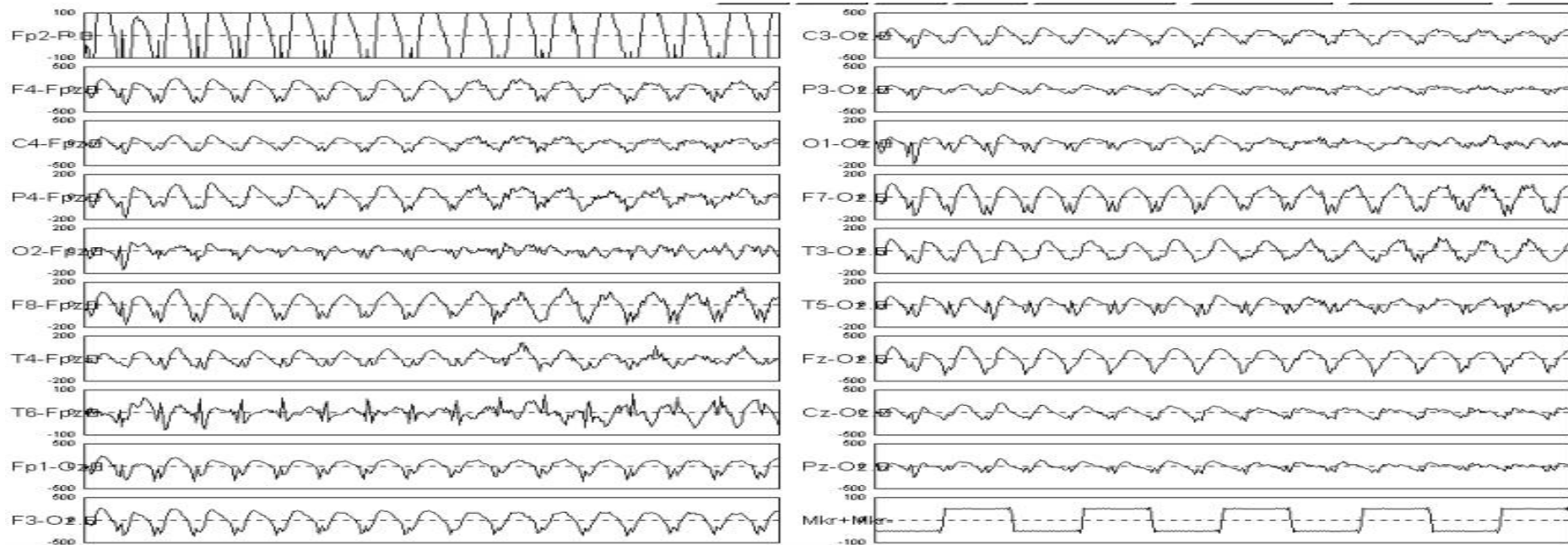
CCF sulle  
coppie di  
elettrodi



# ESEMPIO: TRACCIATO EEG DURANTE CRISI EPILETTICA



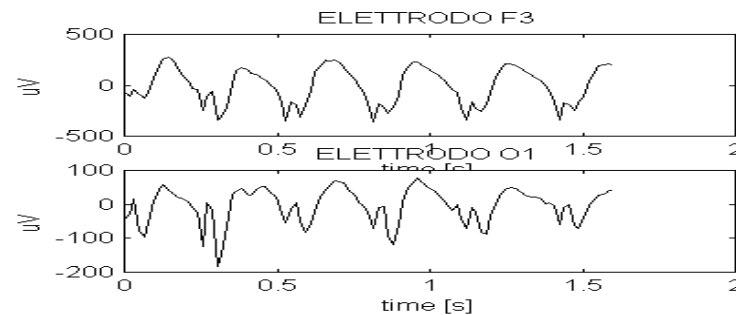
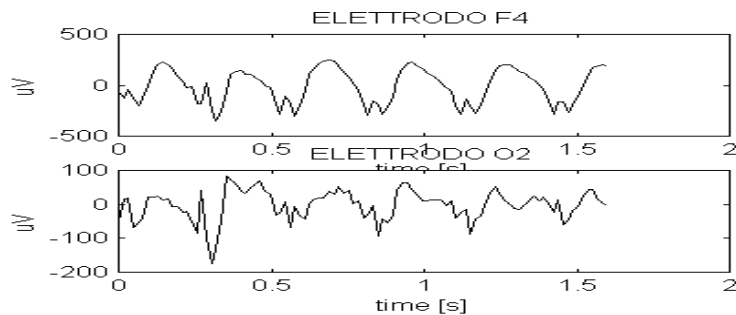
- Crisi epilettica generalizzata: segnale periodico, con morfologia caratteristica “punta onda”
- le caratteristiche variano con la derivazione
- notevoli similitudini e sincronismi fra derivazioni



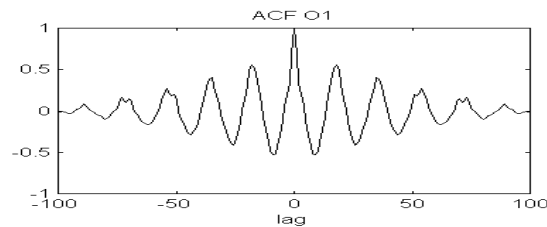
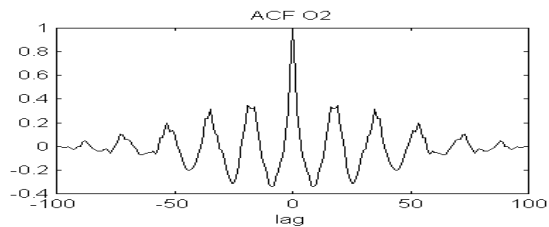
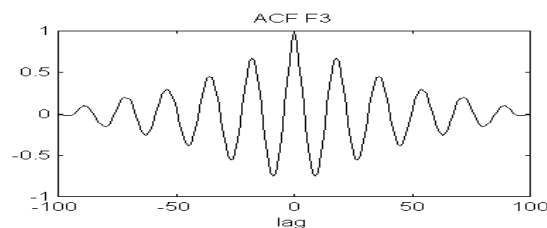
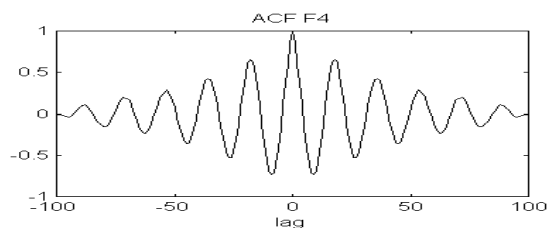
stima della ACF

stima della CCF

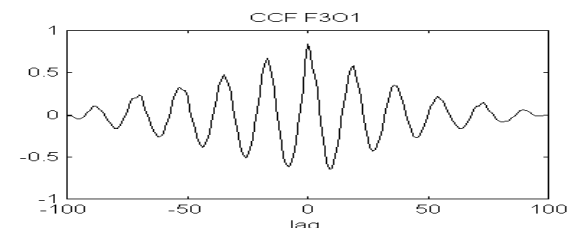
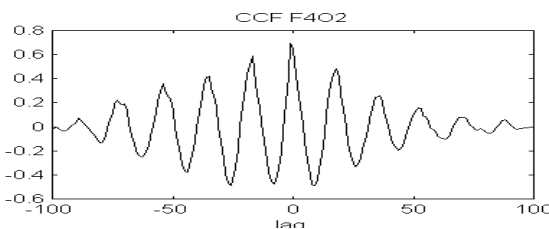
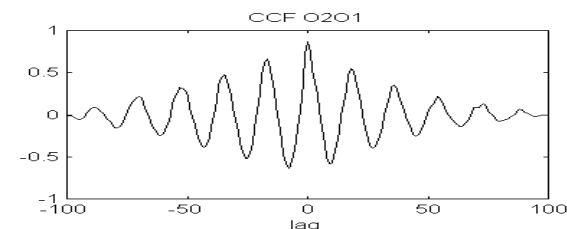
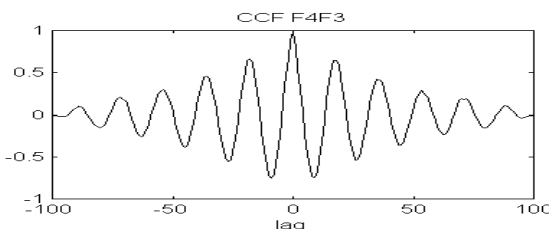
# ESEMPIO: TRACCIATO EEG DURANTE CRISI EPILETTICA



ACF sui  
singoli  
elettrodi



CCF sulle  
coppie di  
elettrodi

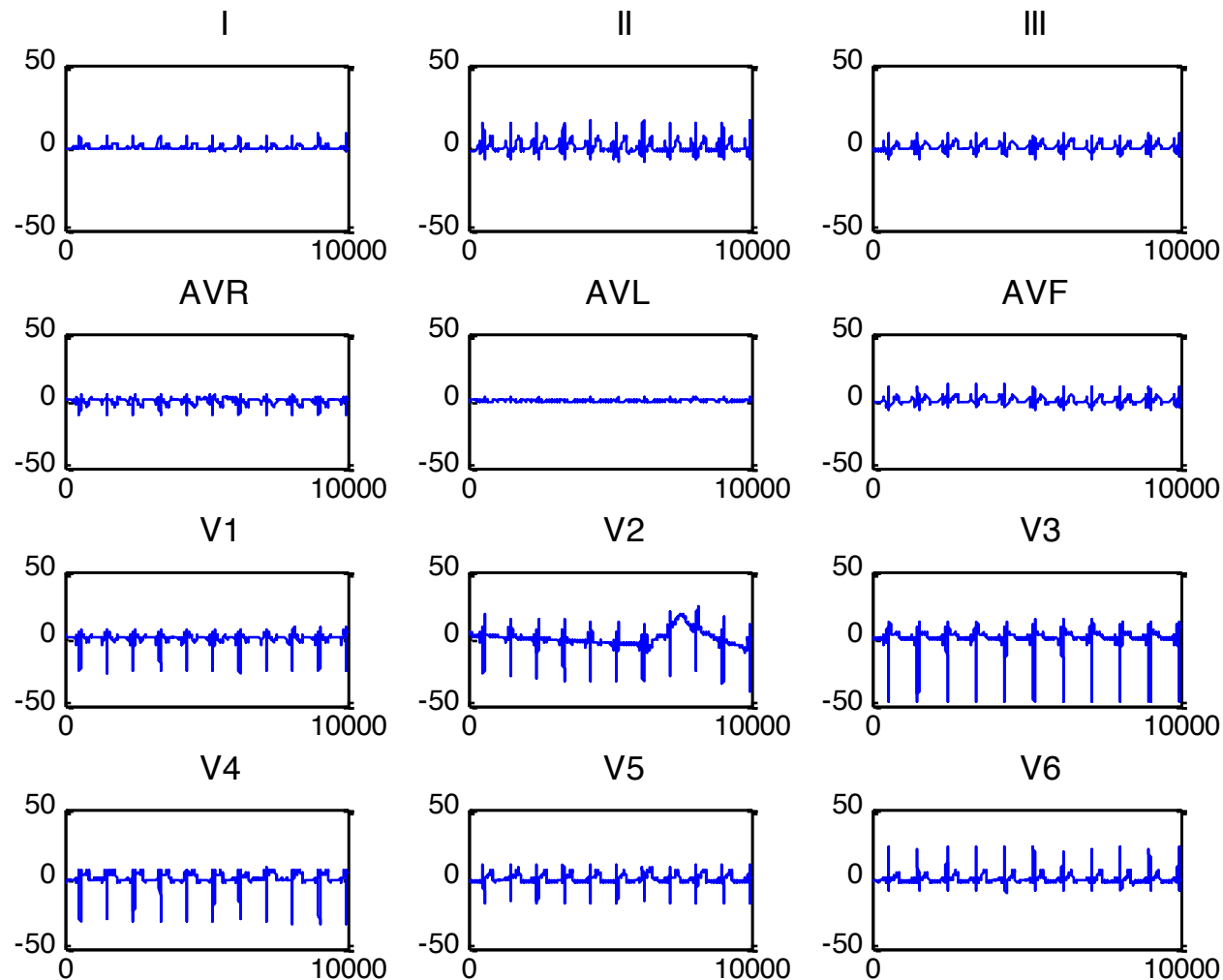




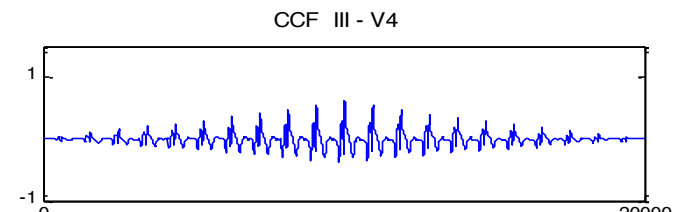
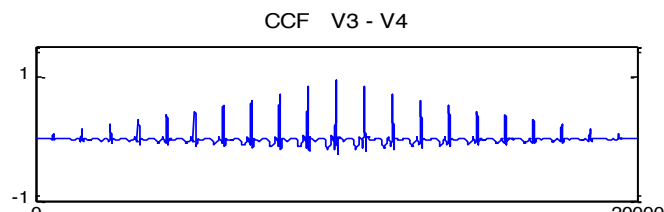
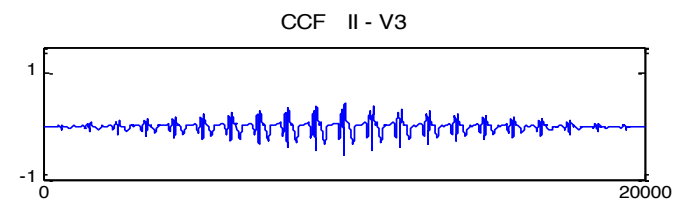
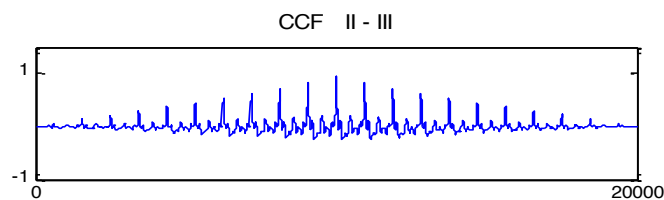
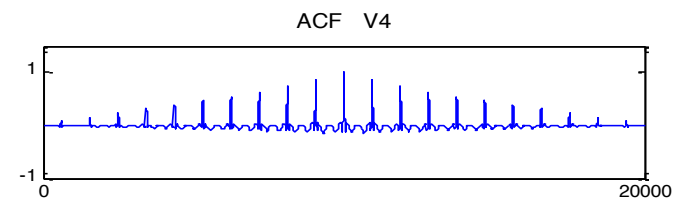
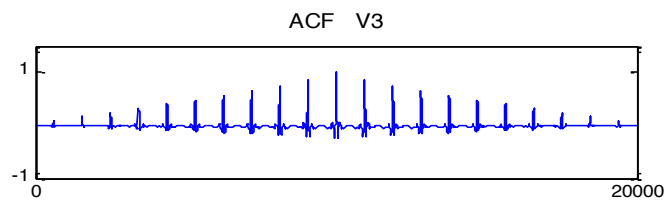
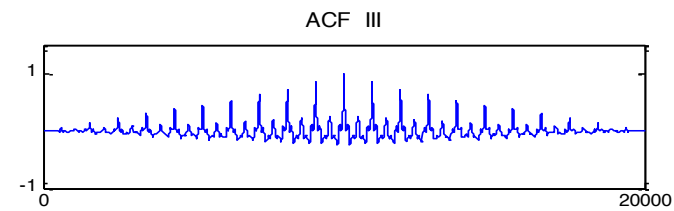
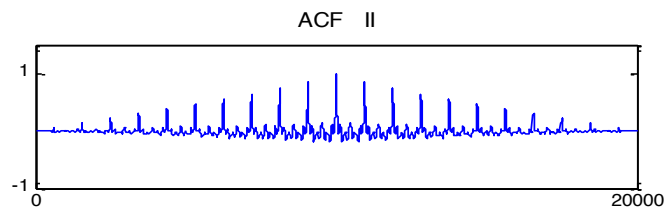
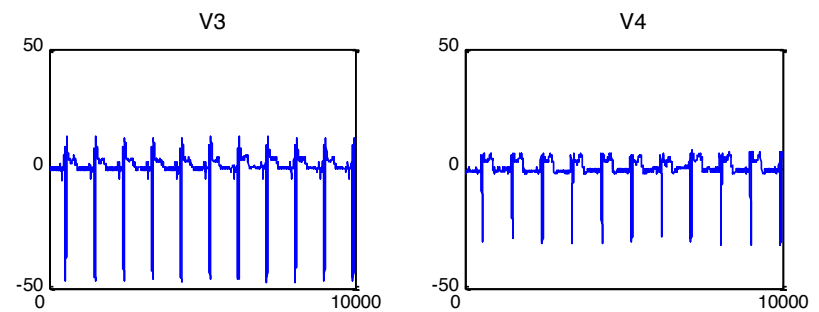
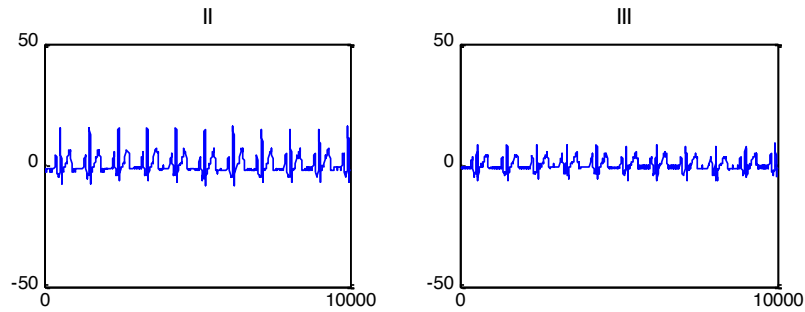
# ESEMPIO: TRACCIATO ECG NORMALE



- deterministico
- quasi-periodico
- segnali sincronizzati con se stessi e con le altre derivazioni



# ESEMPIO: TRACCIATO ECG NORMALE

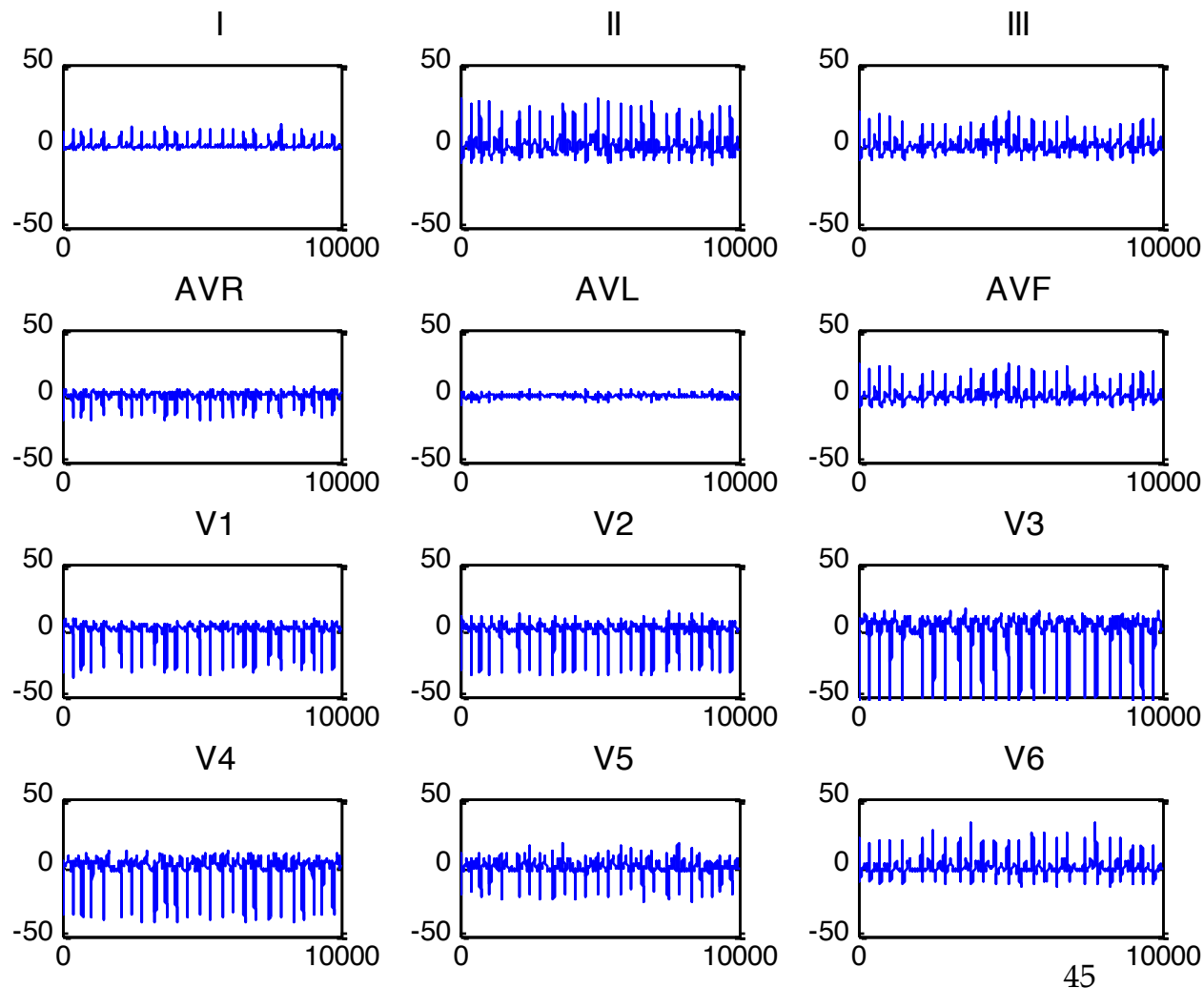




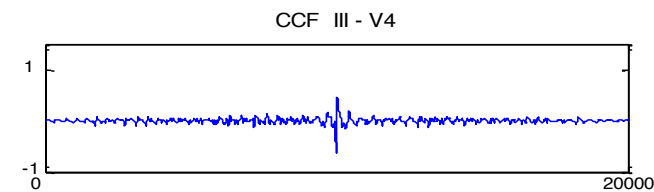
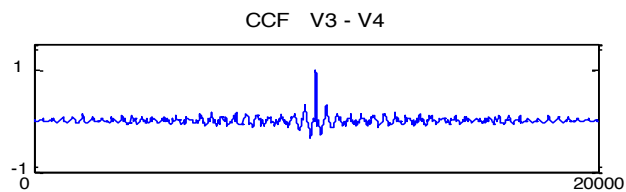
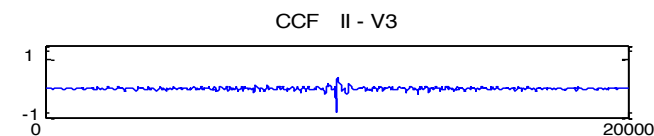
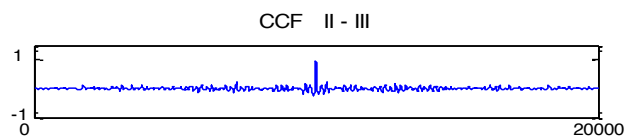
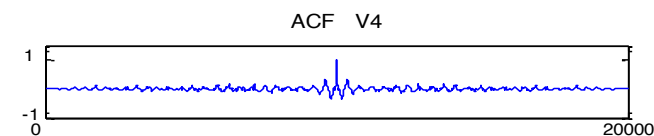
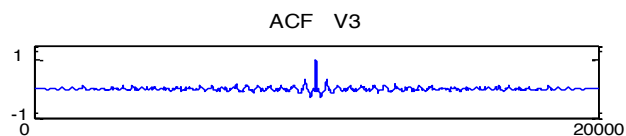
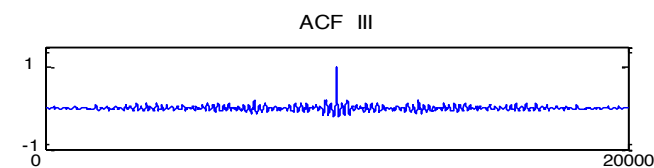
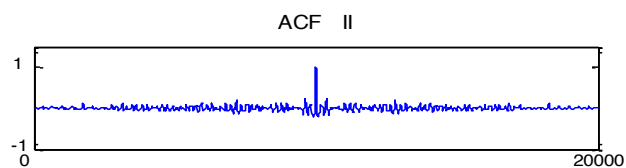
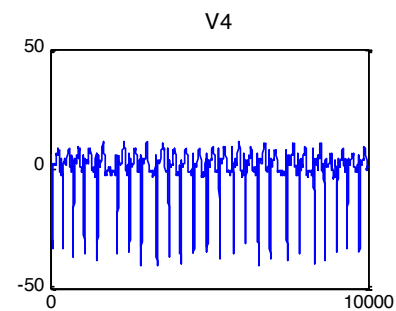
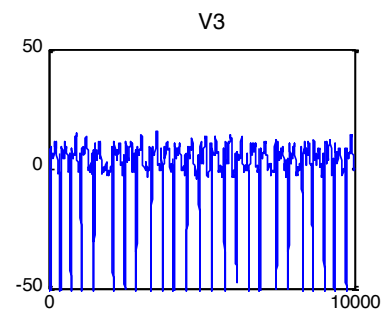
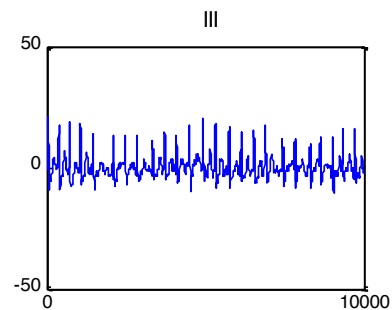
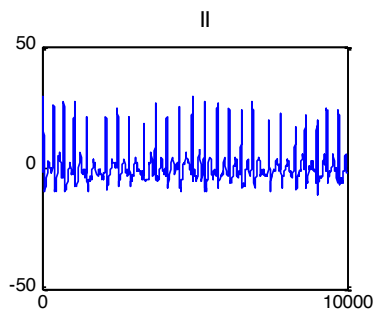
# ESEMPIO: TRACCIATO ECG DURANTE FIBRILLAZIONE ATRIALE



segnale perde sincronizzazione con se stesso e con le altre derivazioni



# ESEMPIO: TRACCIATO ECG DURANTE FIBRILLAZIONE ATRIALE



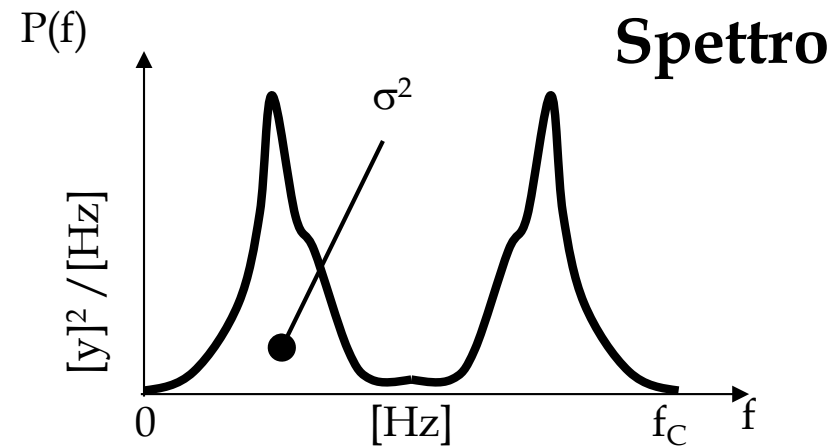
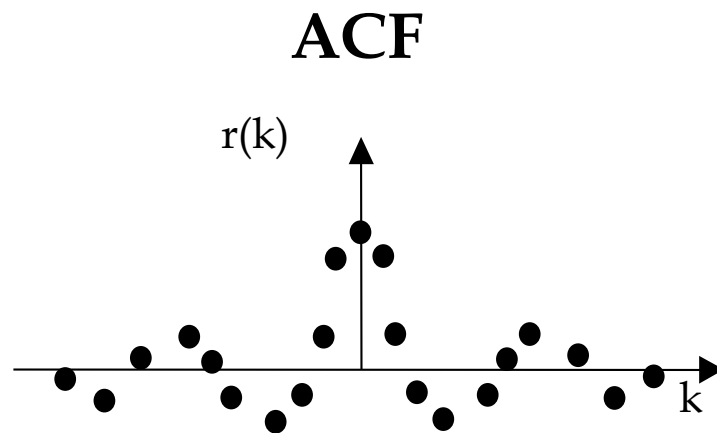


# LO SPETTRO DI POTENZA

- Analisi spettrale →
  - Permette di stimare, grazie all'assunzione di ergodicità, oscillazioni che si ripetono in modo statisticamente significativo, anche su un finestra limitata di  $N$  campioni
  - Mette in luce le oscillazioni contenute in un segnale stocastico stazionario e ergodico
- Lo spettro di potenza viene calcolato come la **TRASFORMATA DI FOURIER** della **funzione di AUTOCORRELAZIONE** (teorema di Wiener-Khinchin)

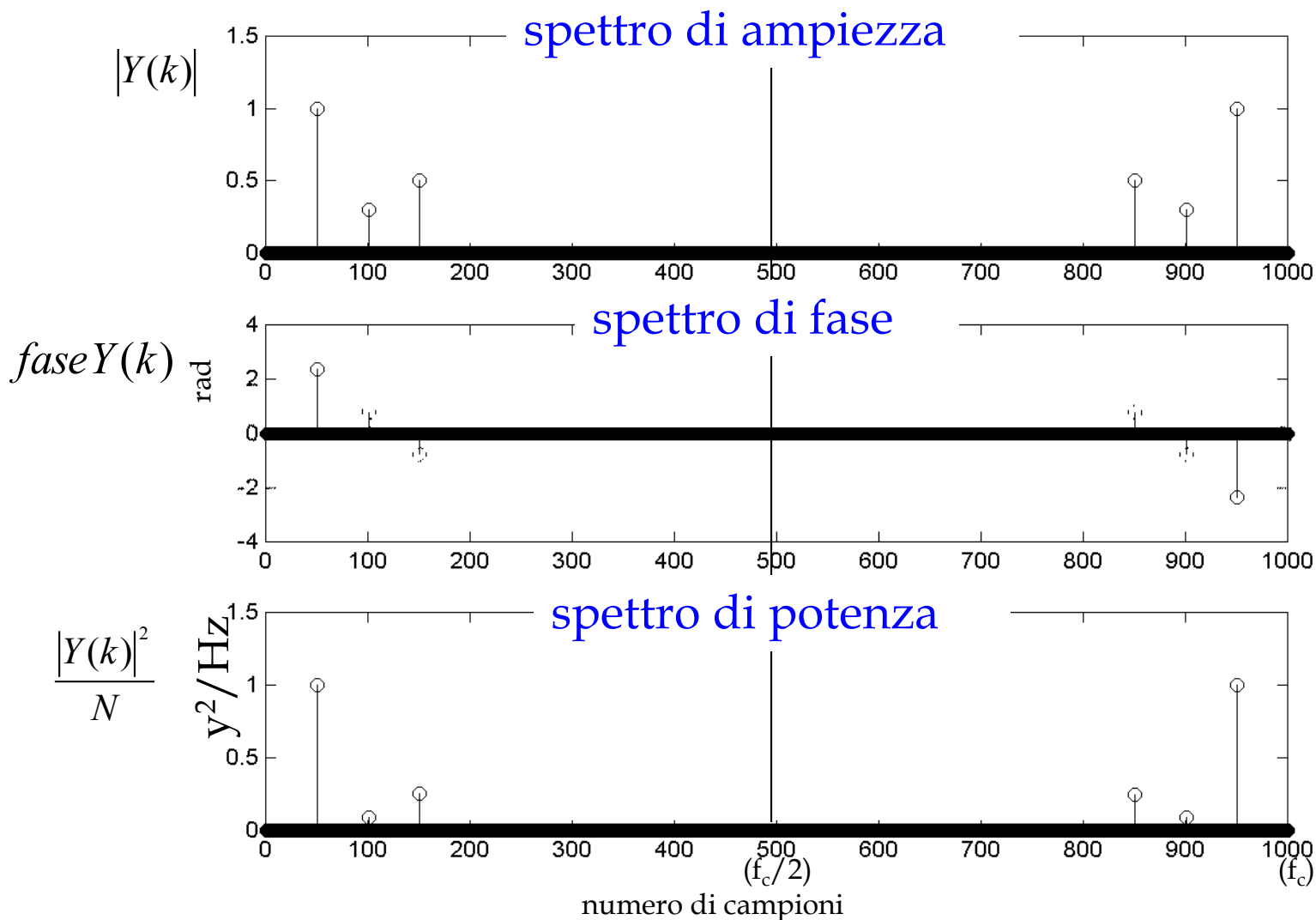
$$P(f) = FT[ACF(k)]$$

# SPETTRO DI POTENZA



L'integrale dello spettro coincide con la  
 $ACF(0) \rightarrow$  varianza del segnale

# ANALISI SPETTRALE: SPETTRI DALLA DFT



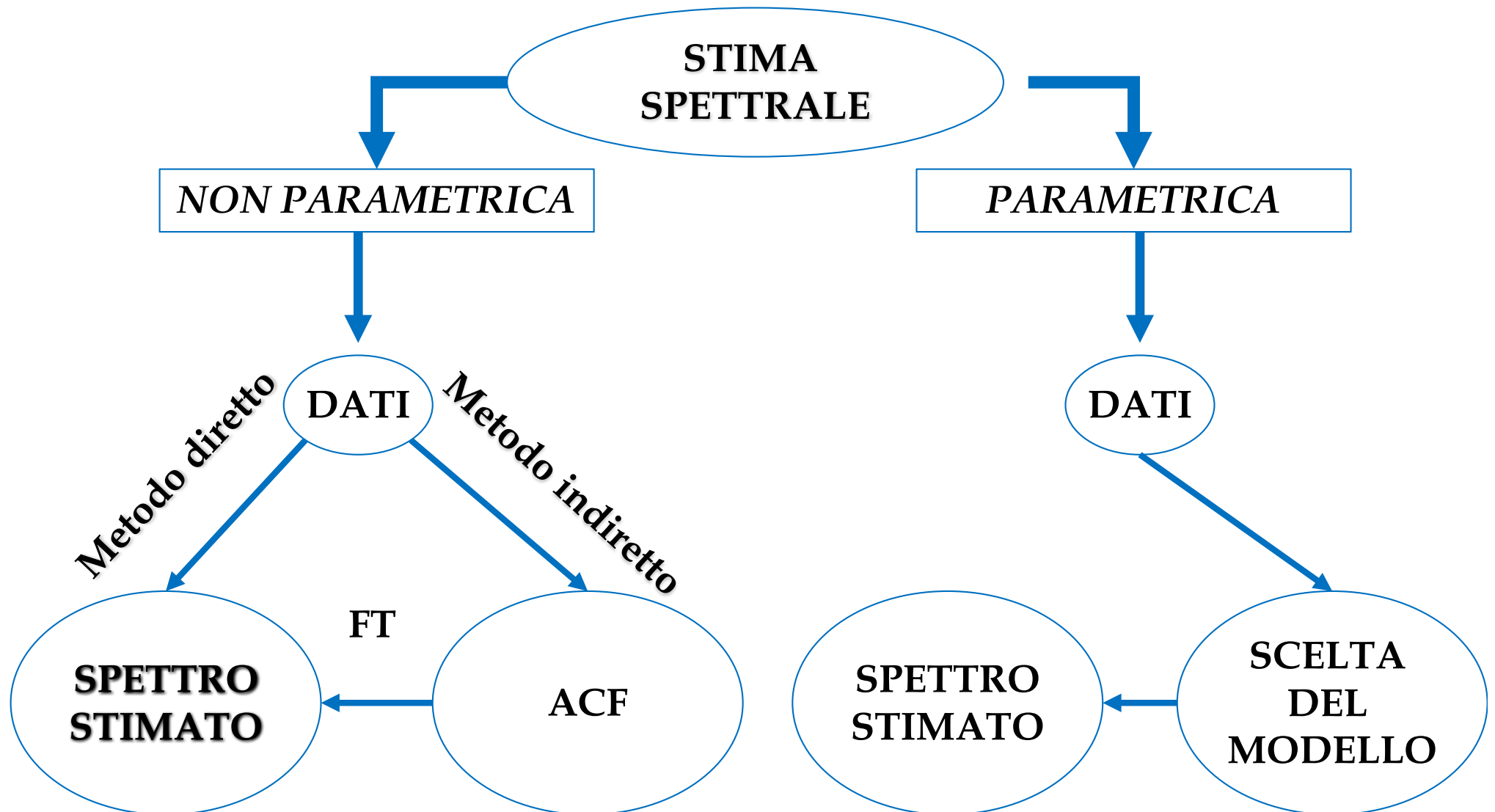
risoluzione  
spettrale  
 $\Delta f = f_c/N$



in pulsazioni  
normalizzate  
 $\Delta\Omega = 2\pi/N$



# METODI DI STIMA SPETTRALE





# METODO DIRETTO: PERIODOGRAMMA DI SCHUSTER

Dato il segnale  $x(n)$ , calcolo direttamente la densità spettrale di potenza ( $P(f)$ )

$$\hat{P}(f) = \frac{1}{N\Delta t} \left| \Delta t \sum_{n=0}^{N-1} x(n) e^{-j2\pi f n \Delta t} \right|^2 = \frac{1}{T} |X(k)|^2$$

Coefficients della DFT

- Il periodogramma ha un problema di consistenza statistica, in quanto la varianza della stima non tende a 0 all'aumentare di N
- Vengono utilizzati altri metodi (Bartlett, Welch) che suddividono il segnale in finestre prima di calcolare il periodogramma

# METODO DIRETTO: METODO DI BARTLETT



UNIVERSITÀ  
DEGLI STUDI DI TRIESTE

Si divide il segnale in  $K$  segmenti di  $M$  campioni

Si sottrae la media ad ogni segmento

Si calcola il periodogramma per ogni segmento  $i$ -esimo

Spettro  $\rightarrow$  media dei periodogrammi calcolati per ogni segmento



# METODO DIRETTO: OSSERVAZIONI



- Con il metodo di Bartlett la varianza della stima tende a 0 all'aumentare di N (medio più periodogrammi)
- Perdita di RISOLUZIONE IN FREQUENZA:
  - La RISOLUZIONE SPETTRALE è la capacità di distinguere due frequenze

$$\Delta f = \frac{f_c}{N}$$

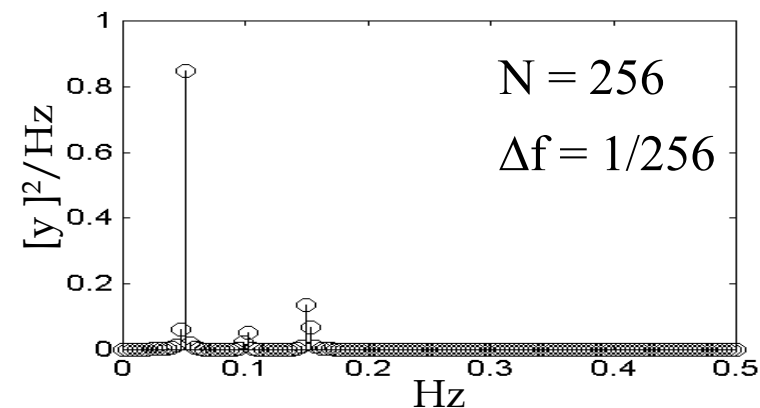
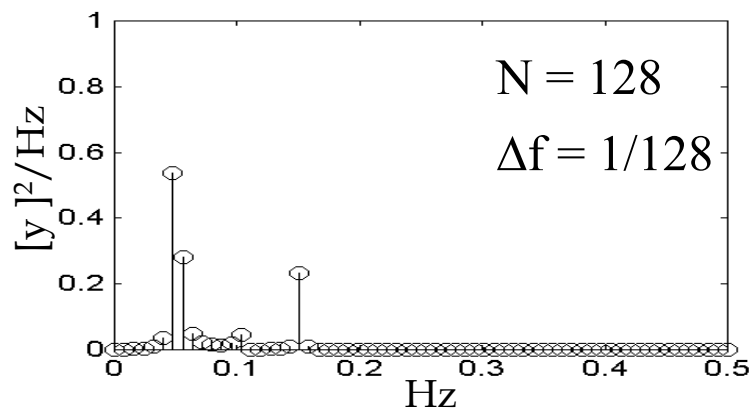
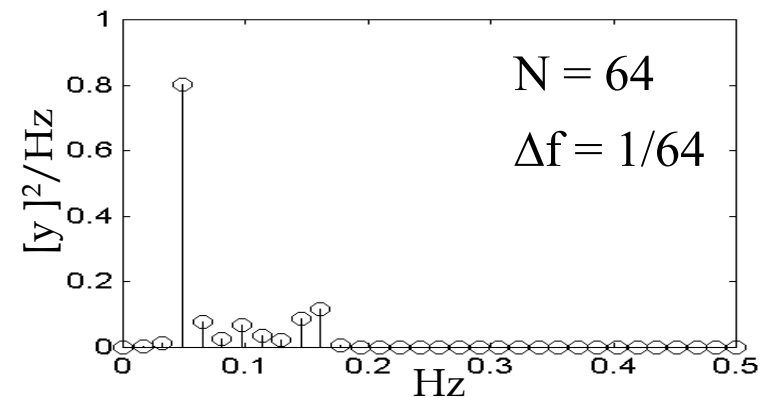
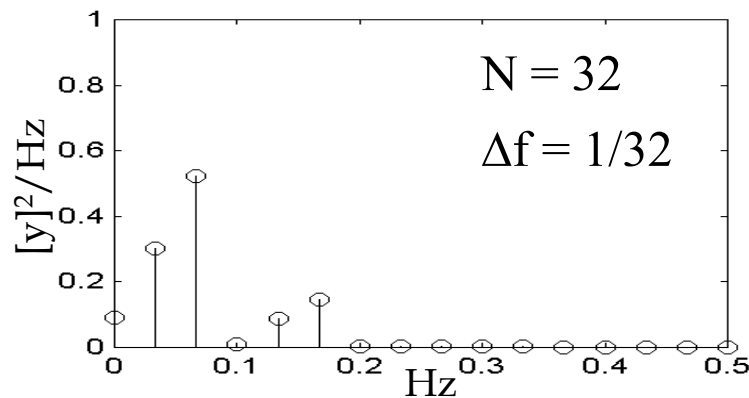
Frequenza di campionamento  
Numero di campioni

- Con il metodo di Bartlett il numero di campioni su cui calcolo il periodogramma è minore (M invece che N)
- Lo zero padding (aumento virtuale del numero di campioni aggiungendo degli 0 al segnale utile) determina uno spettro più denso (in termini di numero di campioni in frequenza) ma NON aumenta la risoluzione

# METODO DIRETTO E RISOLUZIONE SPETTRALE



Data la simmetria rispetto alla frequenza di Nyquist ( $f_c/2$ ), gli spettri vengono rappresentati fino a  $f_c/2$



Aumentando il numero  $N$  di campioni del segnale



Migliora la risoluzione in frequenza dello spettro ( $\Delta f$ )

# METODO INDIRETTO DI BLACKMAN E TUKEY



Metodo che ricalca esattamente il teorema di Wiener e Kinchin.

Dato il segnale  $x(n)$ , tolgo la media in modo da ottenere un segnale a media nulla e calcolo una stima (non polarizzata) della ACF

$$\widehat{ACF}(k) = \frac{1}{N - k - 1} \sum_{i=0}^{N-k-1} x(i) x(i + k)$$

Data la ACF stimata, calcolo la  $P(f)$  dal teorema

$$\hat{P}(f) = \Delta t \sum_{n=0}^{N-1} \widehat{ACF}(n) e^{-j2\pi f n \Delta t}$$

$\Delta t$  = periodo di campionamento

# IL PROBLEMA DELLA FINESTRATURA



dominio del tempo

dominio della frequenza

## Finestratura implicita

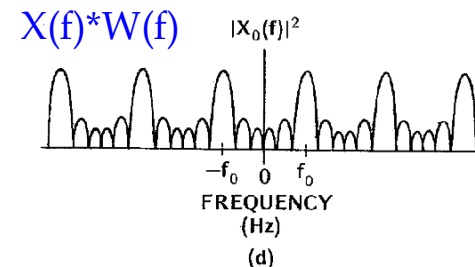
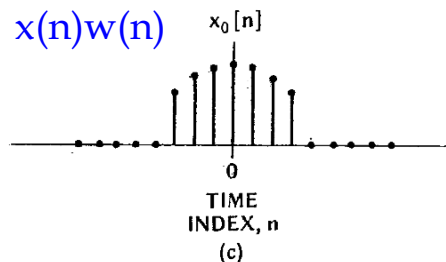
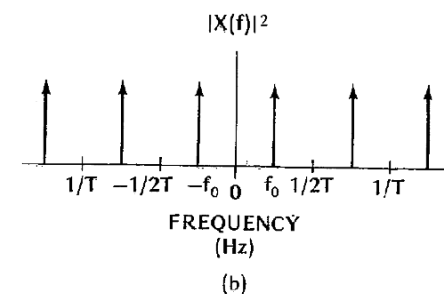
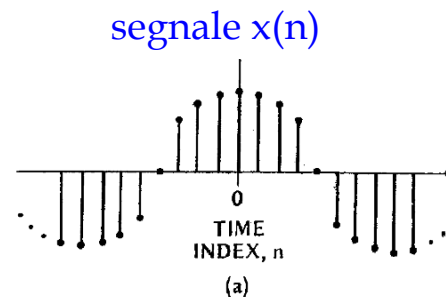
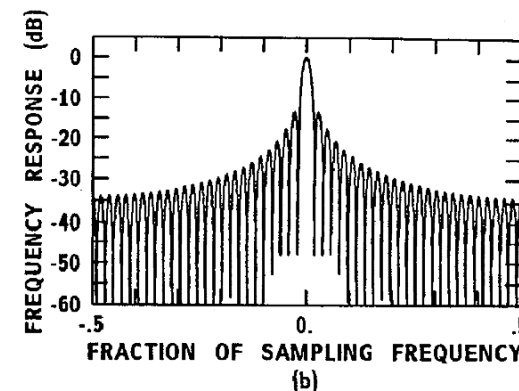
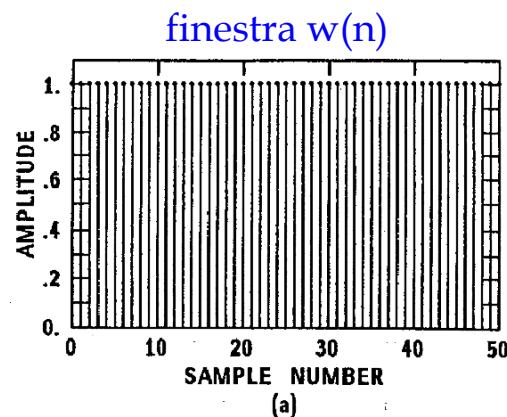
considerare un numero finito  $N$   
di campioni



moltiplicare i dati per una  
finestra rettangolare



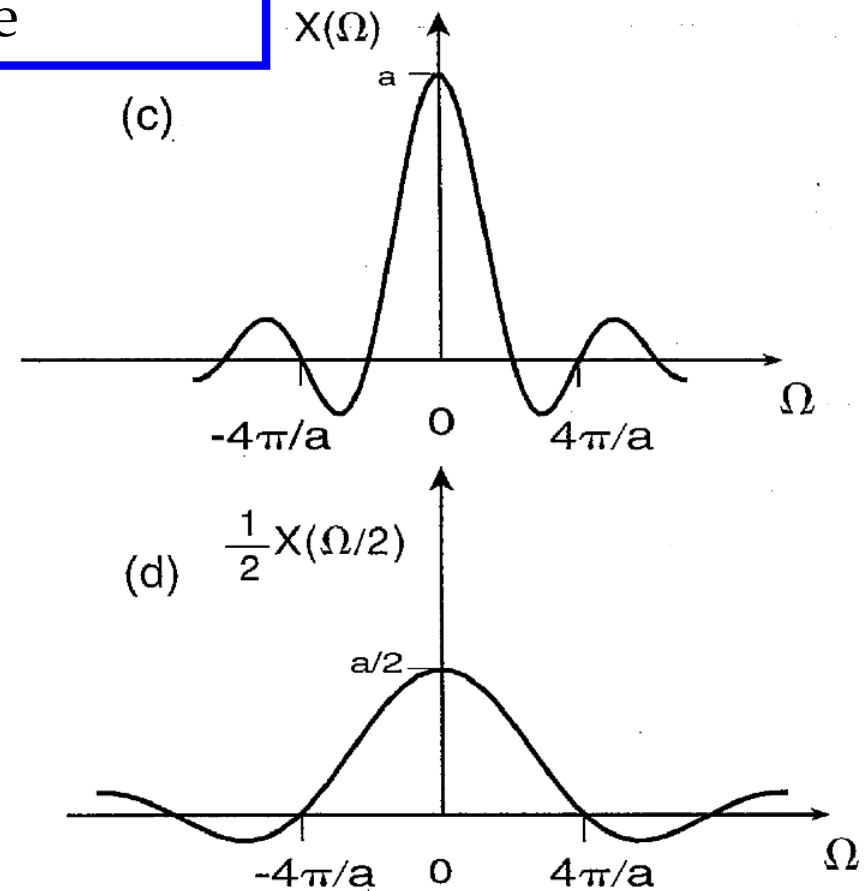
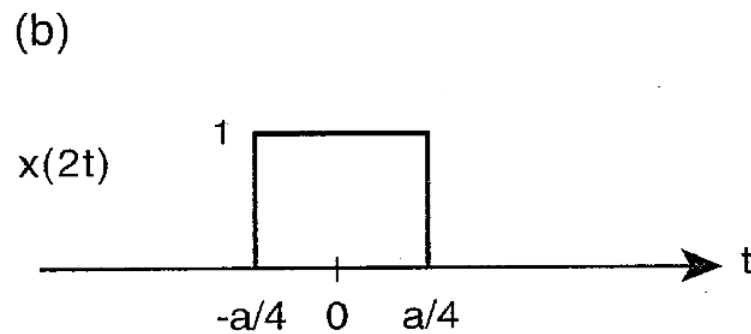
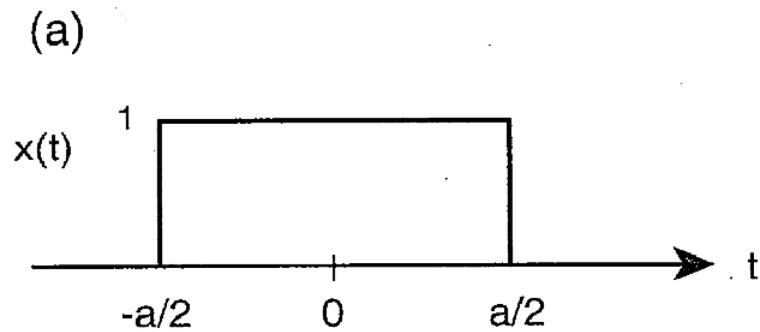
In frequenza, equivale a fare  
una convoluzione dei due  
spettri



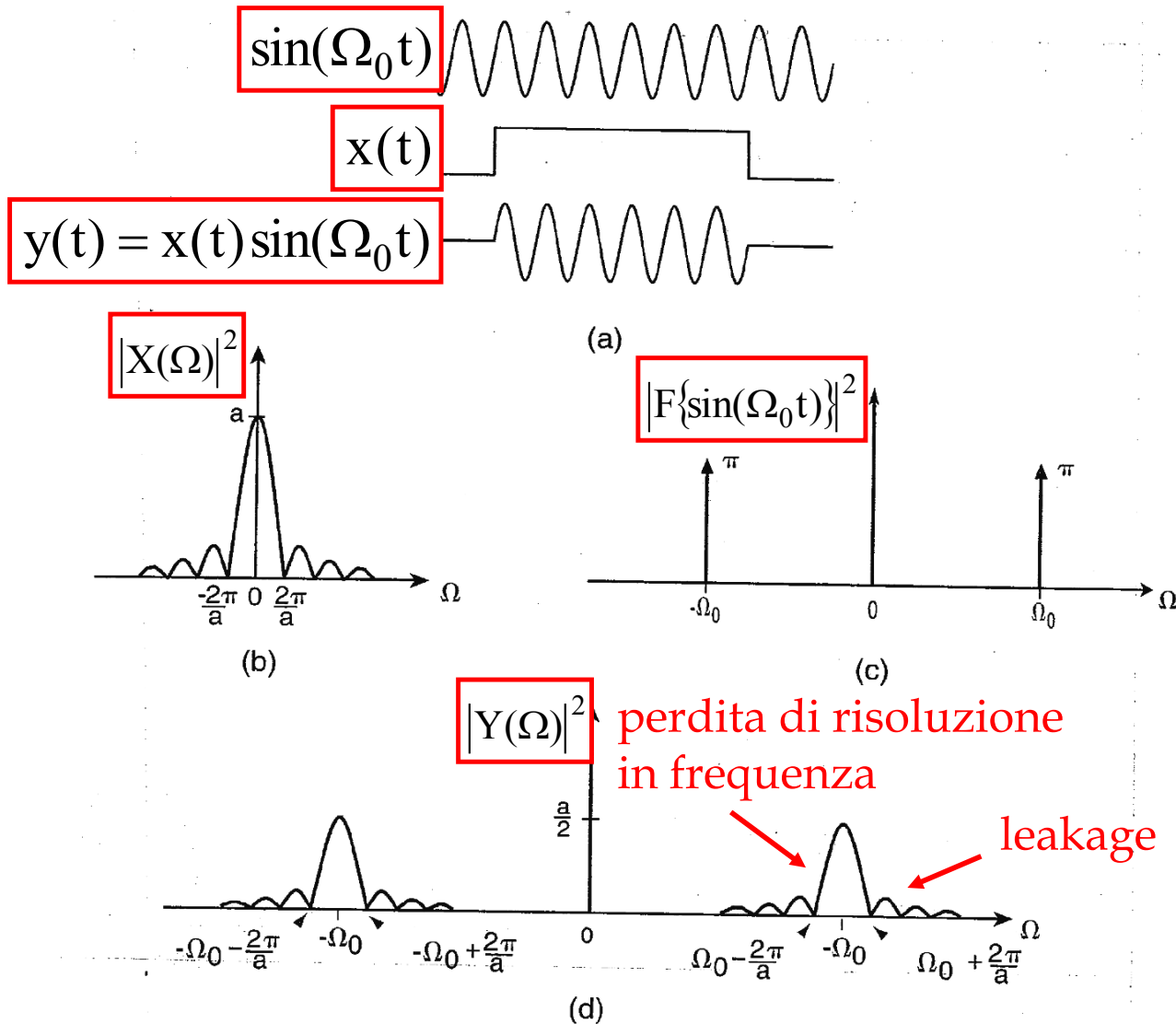
# EFFETTO DELLA FINESTRATURA SULLA RISOLUZIONE SPETTRALE



maggior lunghezza della finestra rettangolare  
migliore risoluzione spettrale



# EFFETTO DELLA FINESTRATURA SULLO SPETTRO





# REQUISITI

Una finestrazione appropriata può ridurre gli effetti  
indesiderati dello *spectral leakage*

tenendo conto della convoluzione dello spettro del segnale per lo spettro della  
finestra

## FINESTRA IDEALE

- lobo principale stretto → per evitare una dispersione locale dello spettro
- lobi laterali con potenza ridotta → per evitare il leakage ad altre frequenze



# FINESTRA RETTANGOLARE

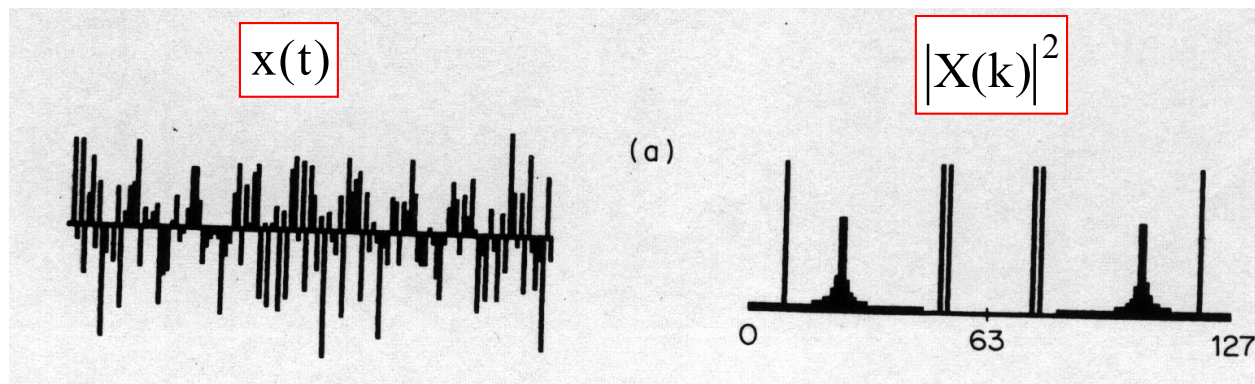
## FINESTRA RETTANGOLARE

Spettro:

- lobo principale più stretto possibile
- potenza elevata nei lobi laterali (solo -6dB)

No dispersione della  
potenza delle  
componenti  
armoniche esatte

Elevato leakage  
per le componenti  
non armoniche







# TIPOLOGIE DI FINESRE

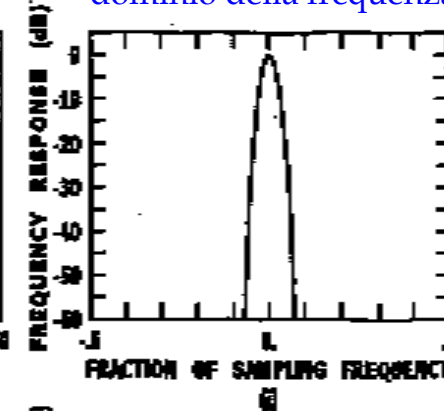
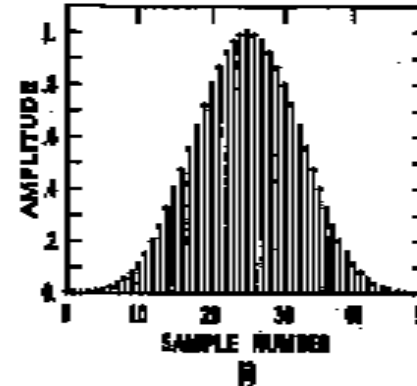
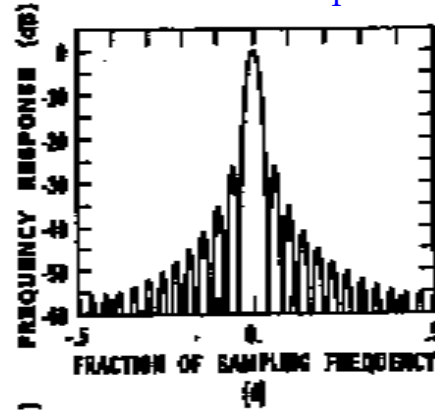
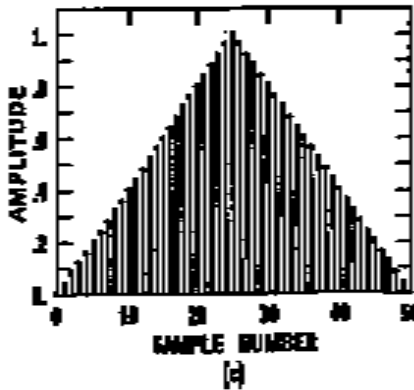
dominio del tempo

dominio della frequenza

dominio del tempo

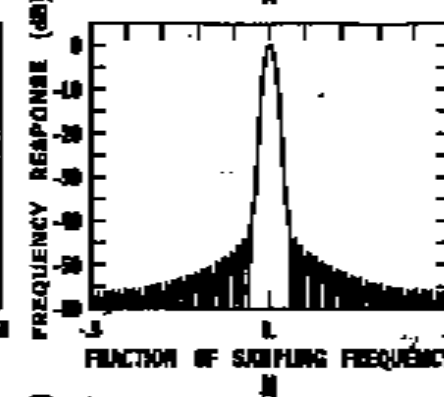
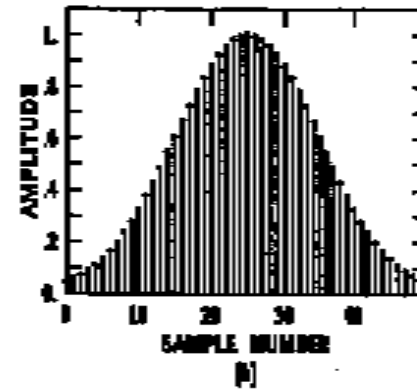
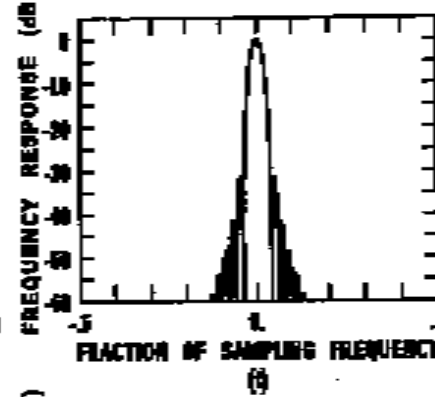
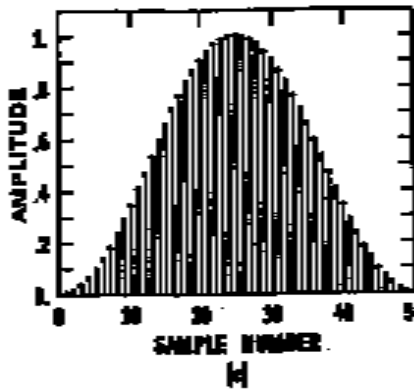
dominio della frequenza

TRIANGOLARE



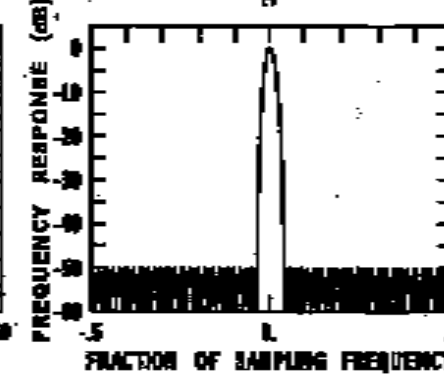
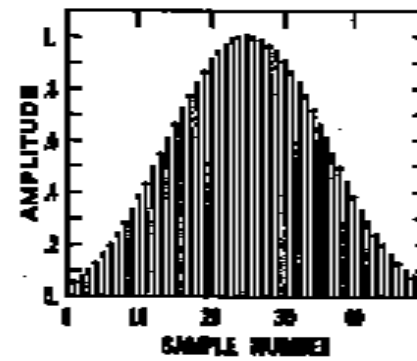
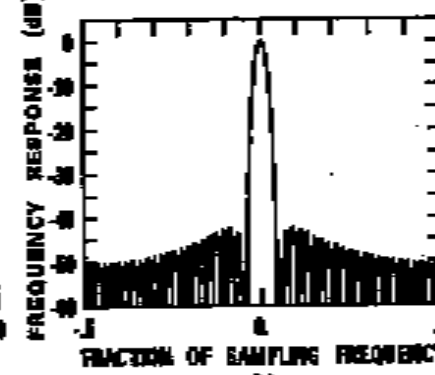
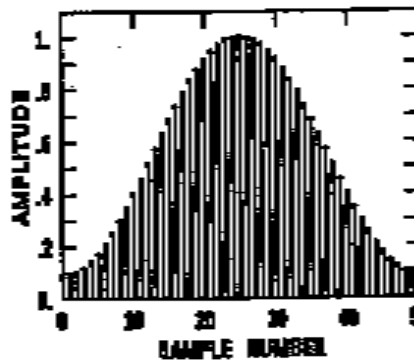
NUTTAL

HANN



GAUSSIANA

HAMMING



CHEBYSHEV

# ALTRE FINESTRE

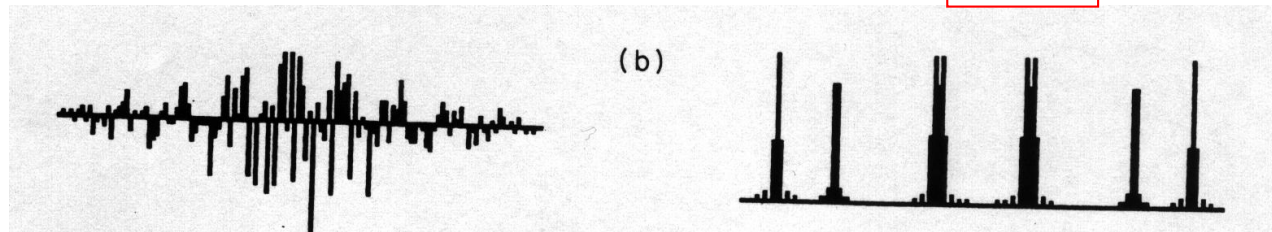
## FINESTRA TRIANGOLARE

Spettro:

- lobo principale largo
- potenza ridotta nei lobi laterali

$x(t)$

$|X(k)|^2$



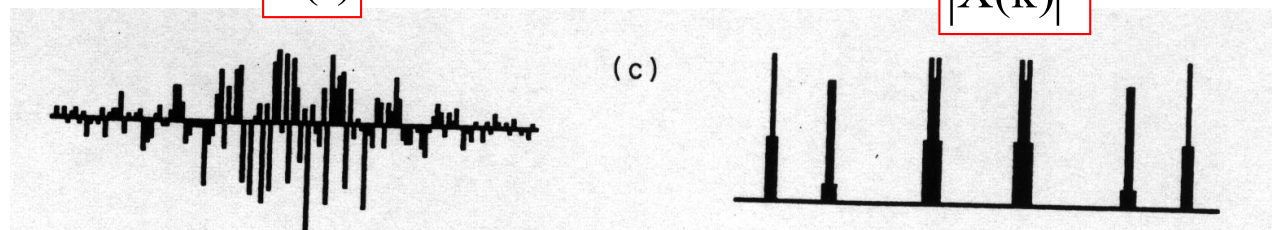
## FINESTRA di HAMMING

Spettro:

- lobo principale largo
- potenza ancor più ridotta nei lobi laterali

$x(t)$

$|X(k)|^2$



# MODELLI LINEARI



RUMORE BIANCO

SEGNALE DI  
USCITA

## FUNZIONE DI TRASFERIMENTO:

$$A(z) = 1 \quad FdT = C(z) \quad MA$$

$$C(z) = 1 \quad FdT = \frac{1}{A(z)} \quad AR$$

$$A(z), C(z) \neq 1 \quad FdT = \frac{C(z)}{A(z)} \quad ARMA$$

In generale,

$$y(k) = a_1 y(k-1) + a_2 y(k-2) + \dots + a_p y(k-p) + w(k) + c_1 w(k-1) + c_2 w(k-2) + \dots + c_q w(k-q)$$

Parte autoregressiva di ordine  $p$  con  
coefficienti  $a_1, a_2, \dots, a_p$

Parte moving average di ordine  $q$  con  
coefficienti  $c_1, c_2, \dots, c_q$



# TRASFORMATA ZETA

Data la Serie temporale  $x(n)$

$$0 \leq n \leq N-1$$



Trasformata  
zeta

$$X(z) = x(0) + \frac{x(1)}{z} + \frac{x(2)}{z^2} + \frac{x(3)}{z^3} + \dots + \frac{x(n)}{z^n}$$



$$X(z) = \sum_{n=0}^{N-1} x(n)z^{-n}$$

$X(z)$  funzione della variabile complessa  $z = x + jy$

$z^{-1} = \text{operatore di ritardo unitario}$

# RELAZIONE TRASFORMATA Z-DFT

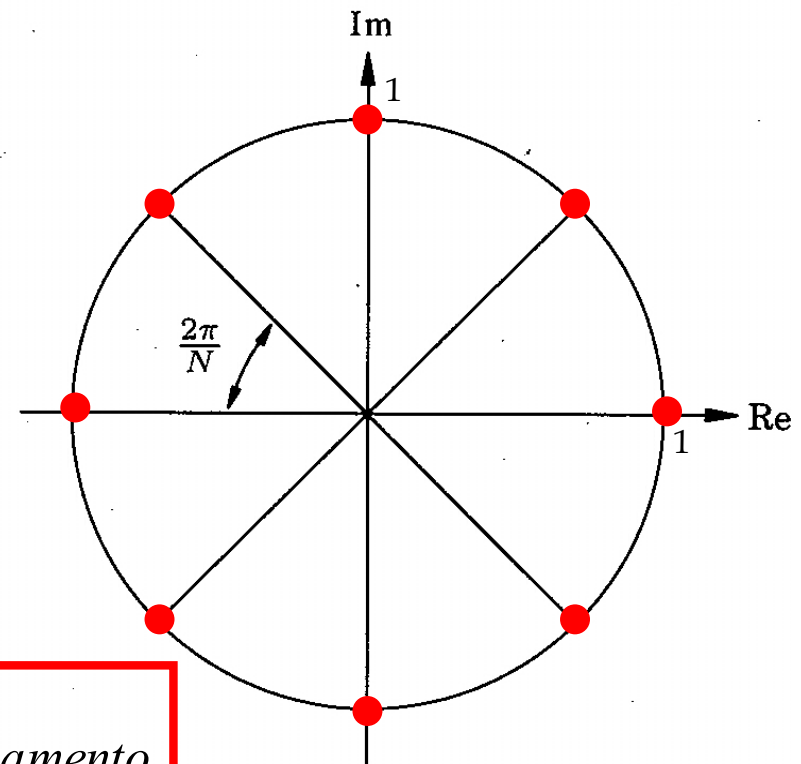


Data  $x(n)$   $\rightarrow$   $X(k) = \sum_{n=0}^{N-1} x(n) e^{-j \frac{2\pi kn}{N}}$

$\rightarrow$   $X(z) = \sum_{n=0}^{N-1} x(n) z^{-n}$

$$z = x + jy = e^{j \frac{2\pi}{N}}$$

La DFT  $X(k)$  è la Trasformata Zeta  $X(z)$  valutata in  $N$  punti equispaziati sul cerchio di raggio unitario



$z^{-1} \leftrightarrow e^{-j \frac{2\pi}{N}}$  ritardo di un periodo di campionamento



# METODO PARAMETRICO

- Nato per svincolarsi dalle ipotesi di Fourier
- Stima lo spettro a partire da un **modello di generazione del segnale** (di solito un modello lineare)
- È necessario stimare i **parametri del modello** (metodo parametrico)

DEFINIZIONE DEL  
MODELLO DI  
GENERAZIONE DELLA  
SERIE TEMPORALE

STIMA DEI  
COEFFICIENTI DEL  
MODELLO (parametri)

STIMA DELLO  
SPETTRO SULLA BASE  
DEI PARAMETRI

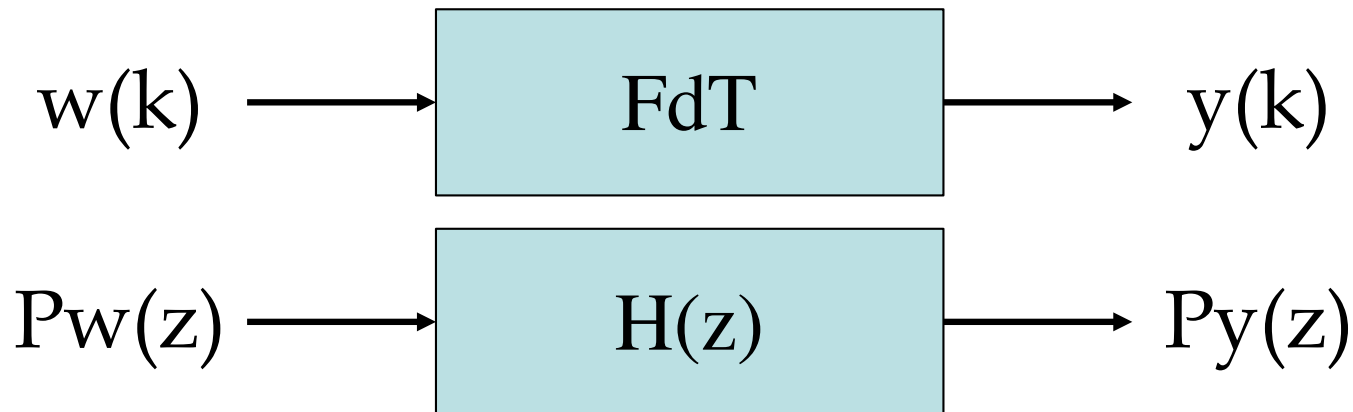
# METODI DI IDENTIFICAZIONE DEI PARAMETRI



- Solitamente viene scelto un modello AR
- Deve essere definito a priori l'ordine  $p$  del modello --| è noto il numero di coefficienti da stimare  $a_k$
- Metodi di identificazione → basati sulla minimizzazione dell'errore di predizione
  - Metodo dei MINIMI QUADRATI
  - Metodo dei MINIMI QUADRATI GENERALIZZATI
  - Metodo di MASSIMA VEROSIMIGLIANZA

# STIMA DELLO SPETTRO

- Approccio deterministico  $\rightarrow$  applico il metodo del periodogramma al segnale ottenuto dal modello
- Approccio stocastico  $\rightarrow$  sfrutta le proprietà del modello



La funzione di trasferimento del sistema equivale alla trasformata zeta della risposta all'impulso

$$Py(z) = \underbrace{H(z)H^*\left(\frac{1}{z^*}\right)}_{|H(z)|^2} Pw(z)$$

Costante =  $\sigma_N^2 \Delta t$

$$Py_{AR} = \frac{\sigma_N^2 \Delta t}{\left|1 + \sum_{k=1}^p a_k e^{-j2\pi f_m k \Delta t}\right|^2}$$



# VANTAGGI E SVANTAGGI



	VANTAGGI	SVANTAGGI
NON PARAMETRICO	<ul style="list-style-type: none"><li>• Non serve avere conoscenza a priori del segnale per definire il modello</li><li>• Facile implementazione grazie alla FFT</li><li>• Stimatori buoni per un grande numero di campioni</li></ul>	<ul style="list-style-type: none"><li>• Capacità di risoluzione limitata dal numero di campioni a disposizione</li><li>• Problema della finestatura</li></ul>
PARAMETRICO	<ul style="list-style-type: none"><li>• Alta capacità di risolvere picchi vicini</li><li>• Non richiede finestatura</li><li>• Possibilità di decomposizione spettrale</li></ul>	<ul style="list-style-type: none"><li>• Scelta dell'ordine</li><li>• Conoscenza del sistema a priori</li><li>• Algoritmi computazionalmente onerosi</li></ul>



# CROSS-SPETTRO E COERENZA

- Considero due processi stocastici stazionari di cui voglio studiare la correlazione frequenza per frequenza  $\rightarrow$  definisco il CROSS\_SPETTRO
- Dati due processi  $x(i)$  e  $y(i)$ , stocastici, stazionari e ergodici  $\rightarrow$   
cross-spettro = trasformata di Fourier della cross-correlazione

$$C_{xy}(f) = FT[CCF_{xy}(k)]$$

# STIMA DIRETTA DEL CROSS SPETTRO



Dati i processi  $x(n)$  e  $y(n)$

Divido i segnali in  $k$  finestre di  $M$  campioni e tolgo la media

Per ogni finestra  $i$ -esima, calcolo  $P_{x,i} = \text{DFT}(x)$  e  $P_{y,i} = \text{DFT}(y)$

In ogni finestra, stimo  $C_{xy,i}$  come  $P_{x,i} P_{y,i}$

$C_{xy} = \text{Media dei } C_{xy,i} \text{ ottenuti sui diversi spezzoni}$



# COERENZA

- Poichè il cross-spettro dipende dal prodotto degli autospettri → se in un certo autospettro la potenza di un'oscillazione in comune tra i due segnali è molto elevata, il cross-spettro risulterà molto alto
- Mi serve una misura “normalizzata”
- COERENZA → cross-spettro normalizzato per il prodotto degli autospettri

$$K_{xy}(f) = \frac{C_{xy}(f)C_{xy}^*(f)}{P_x(f)P_y(f)}$$

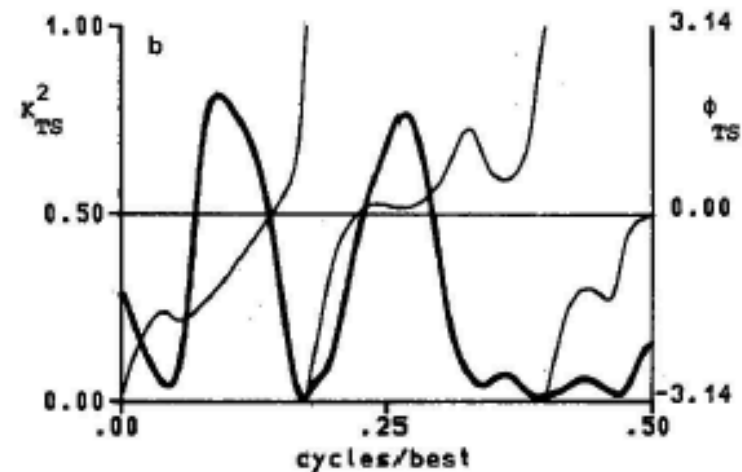
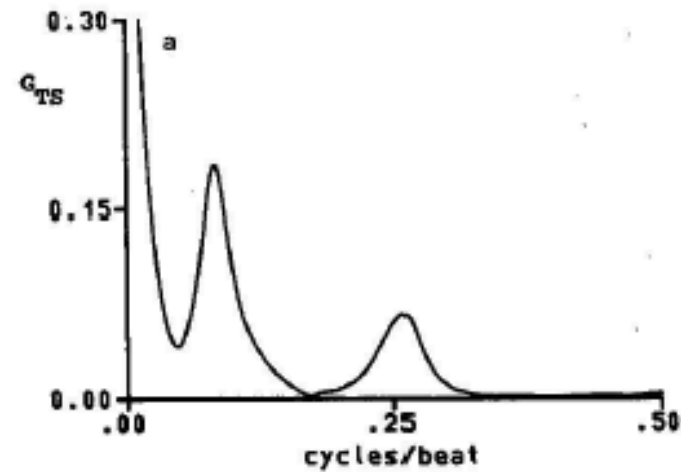
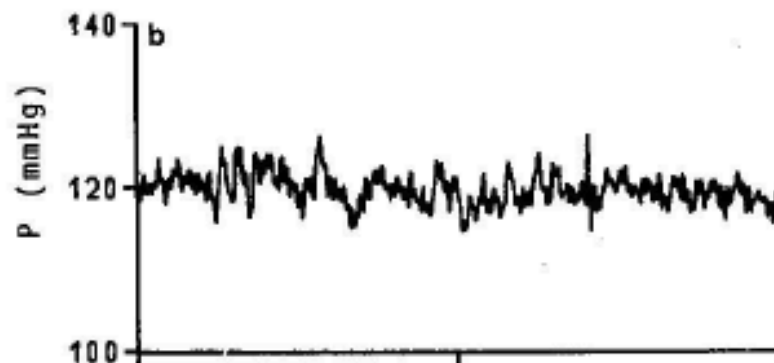
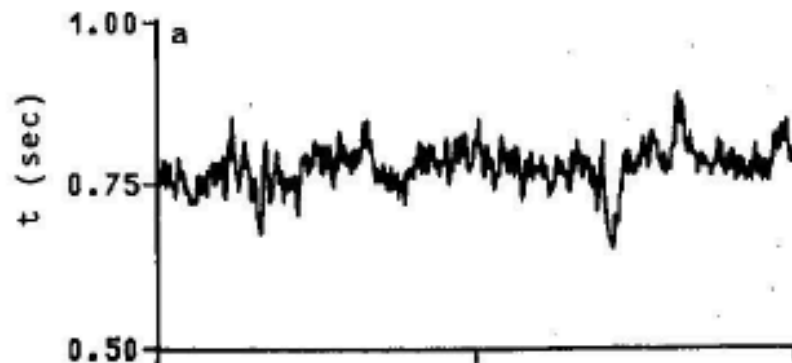
- Poichè il cross-spettro si ottiene dal prodotto degli autospettri, la coerenza è una costante compresa tra  $[0,1]$  → indice

# ESEMPIO



$x(n)$  = tacogramma (distanza tra due battiti cardiaci consecutivi)

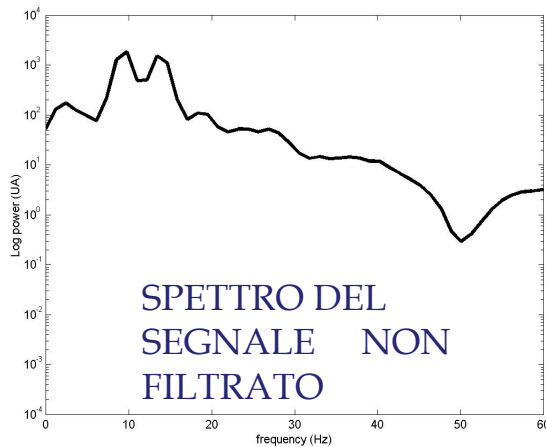
$y(n)$  = pressione sistolica



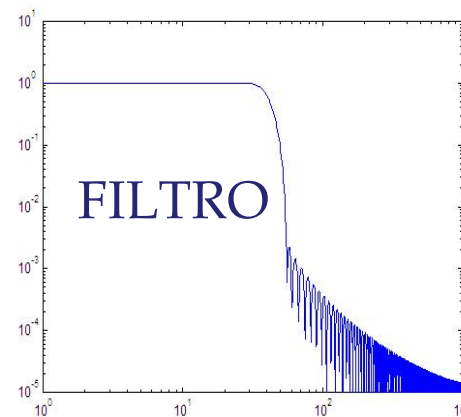


# FILTRAGGIO DEL SEGNALE

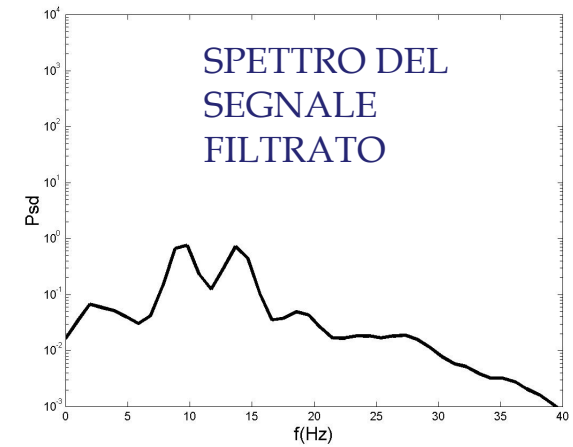
Dato un segnale contenente informazione e rumore, voglio ridurre la componente di rumore per esaltare l'informazione utile



\*

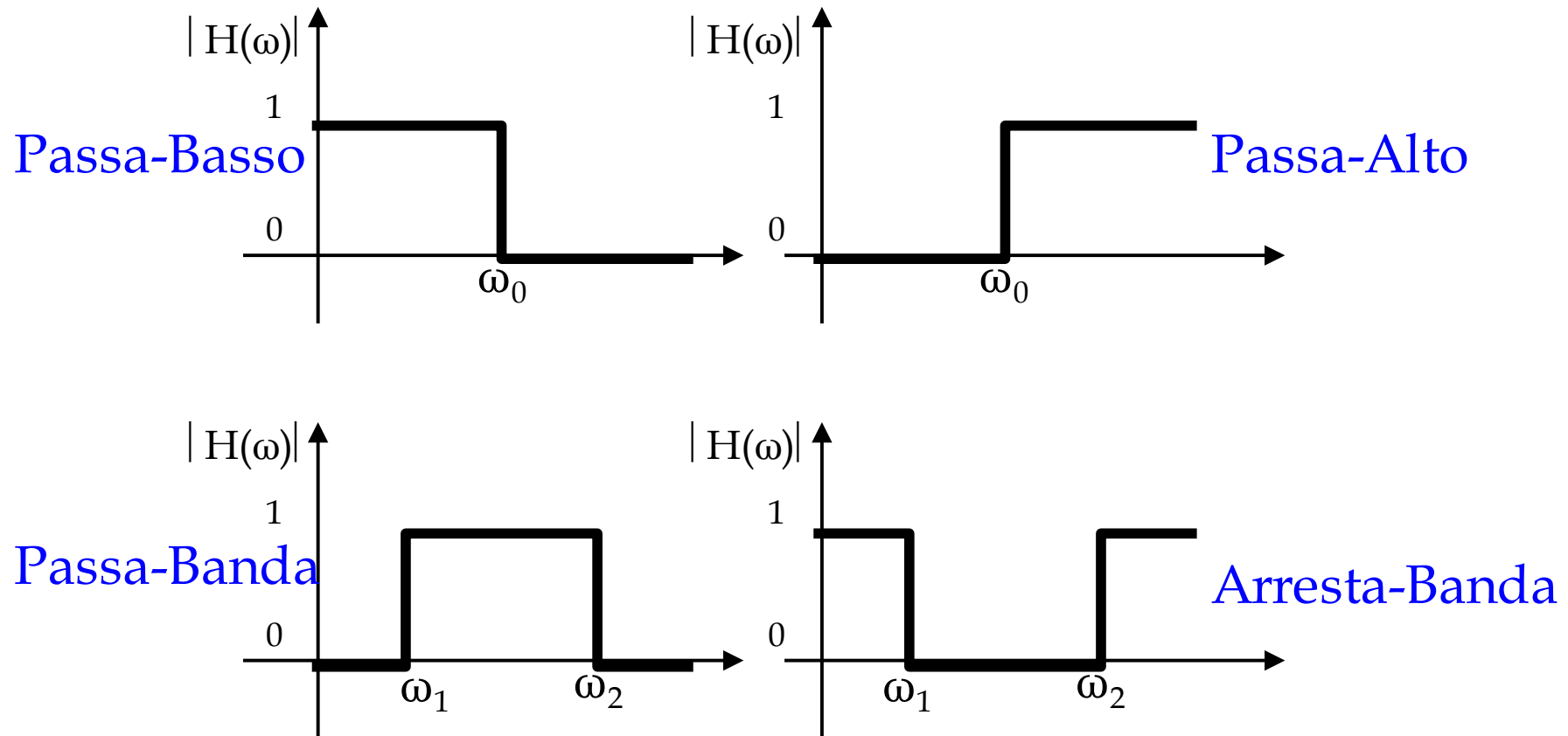


=

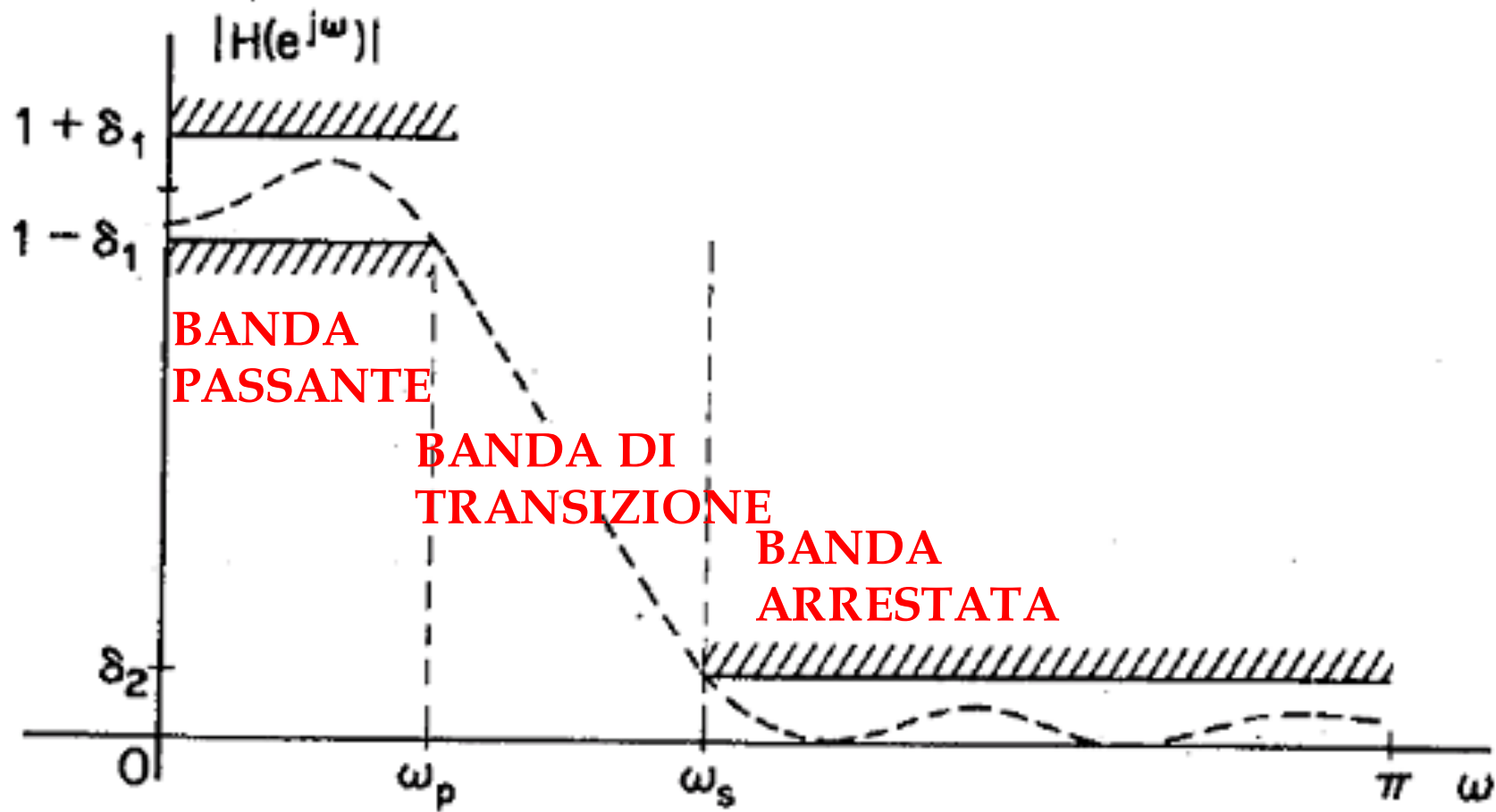




# FILTRI IDEALI



# FILTRI REALI



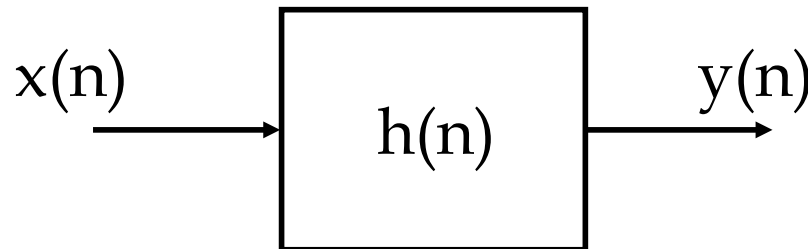


# FILTRI NUMERICI



Trasforma la serie numerica in ingresso  $x(n)$  in una nuova serie numerica  $y(n)$

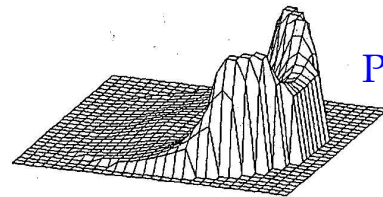
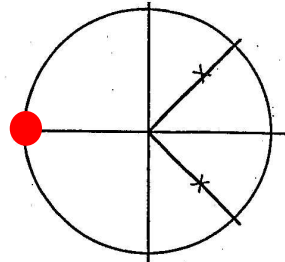
segnale  
campionato e  
quantizzato



- Il filtro trasforma  $x(n)$  in  $y(n)$  modificandone il contenuto in frequenza
- Il filtro rappresenta la risposta all'impulso di questo sistema  $h(n)$
- Nei sistemi lineari, vale l'equazione alle differenze

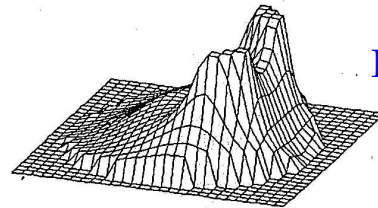
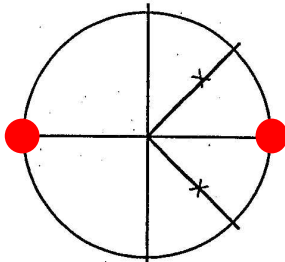
$$y(k) = a_1y(k-1) + a_2y(k-2) + \dots + a_p y(k-p) + w(k) + c_1w(k-1) + c_2w(k-2) + \dots + c_q w(k-q)$$

# EFFETTO DEGLI ZERI



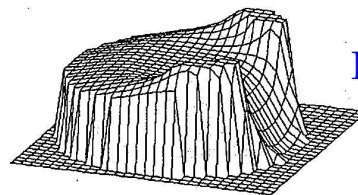
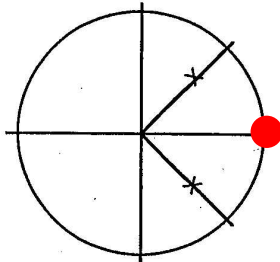
Passa-Basso

(a)



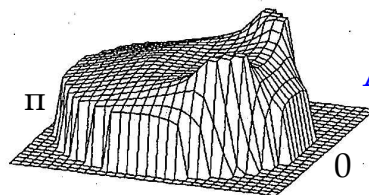
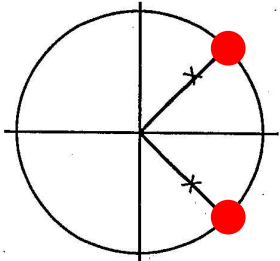
Passa-Banda

(b)



Passa-Alto

(c)

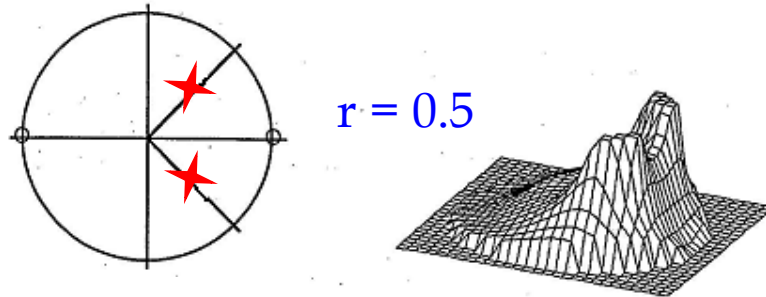


Arresta-Banda

(d)

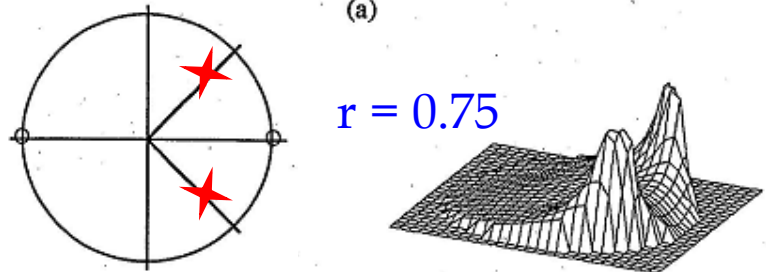
La posizione degli zeri  
modifica la caratteristica del  
filtro → la risposta in  
frequenza è 0 nell'intorno  
degli zeri

# EFFETTO DEI POLI



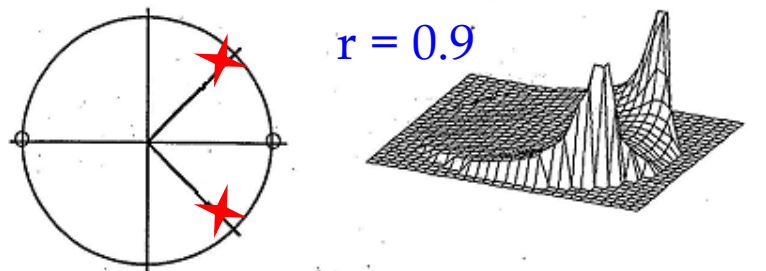
$r = 0.5$

(a)



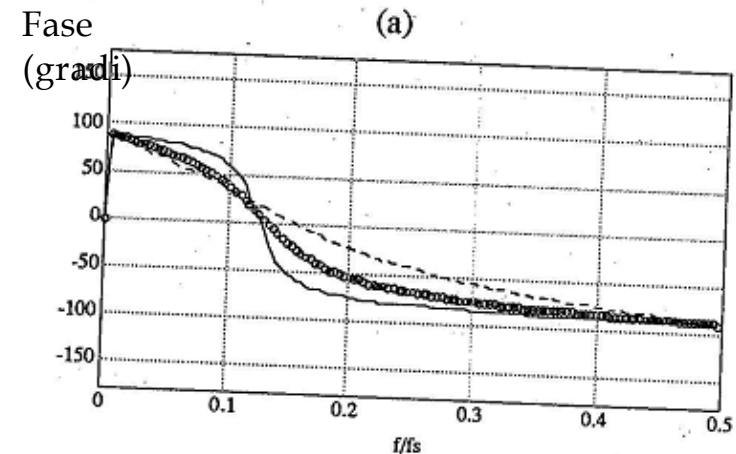
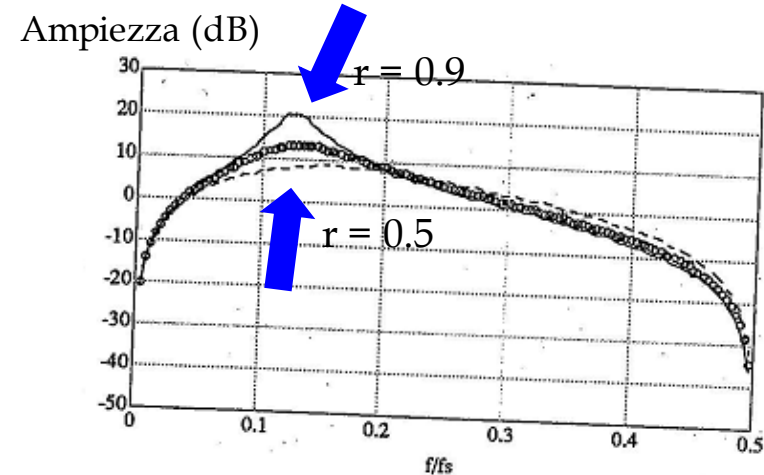
$r = 0.75$

(b)



$r = 0.9$

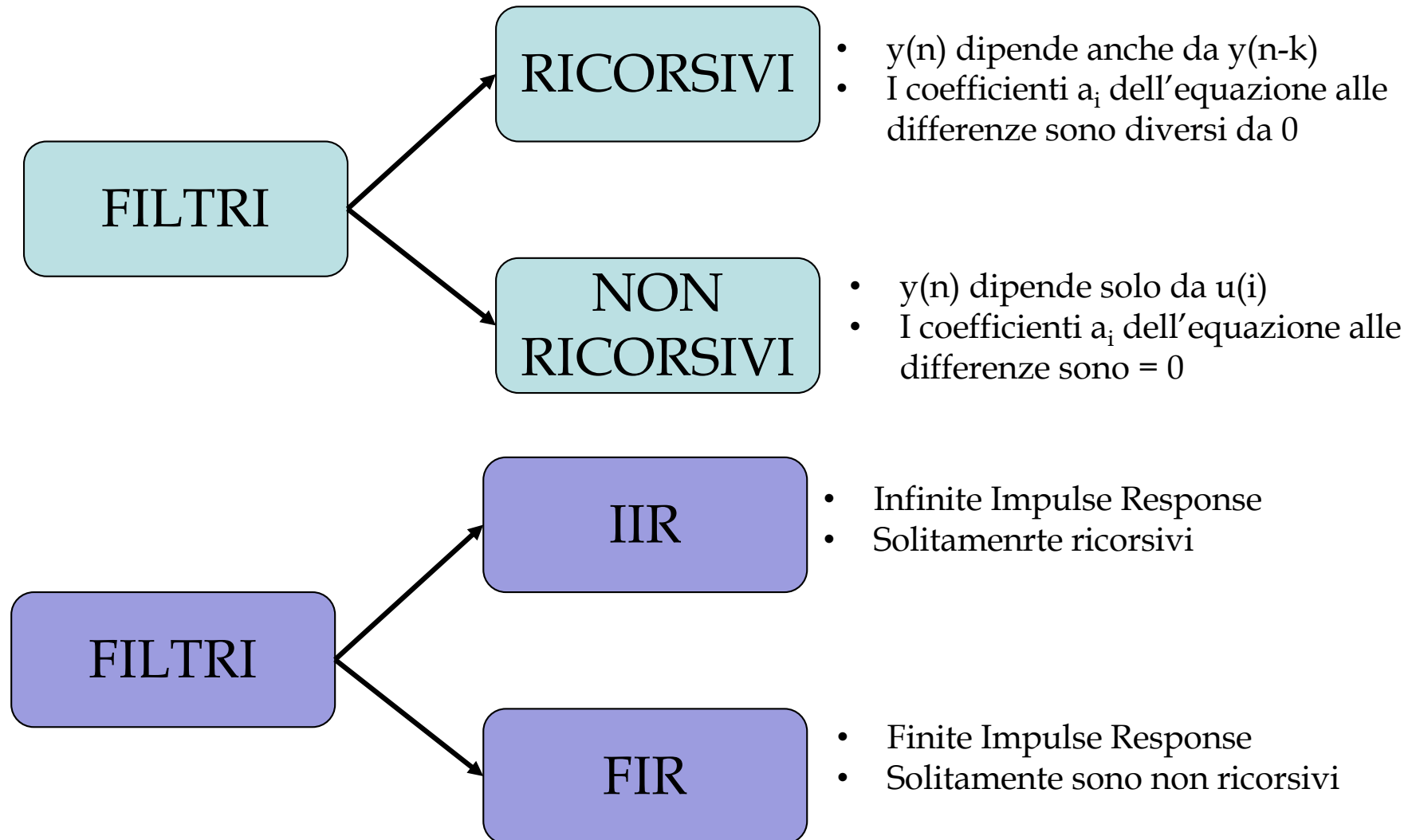
(c)



(b)

La posizione dei poli modifica la selettività del filtro  $\rightarrow$  i poli che si avvicinano al cerchio di raggio unitario fanno aumentare la risposta in frequenza in un intorno più selettivo, ma la fase perde linearità

# TIPOLOGIE DI FILTRI



# FILTRI FIR

Nel dominio del tempo:

$$y(n) + a_1 y(n-1) + \dots + a_N y(n-N) = b_0 x(n) + \dots + b_M x(n-M)$$



$$y(n) = \sum_{k=0}^M b_k \cdot x(n-k)$$

Filtraggio a media mobile (MA)

Trasformata Z:

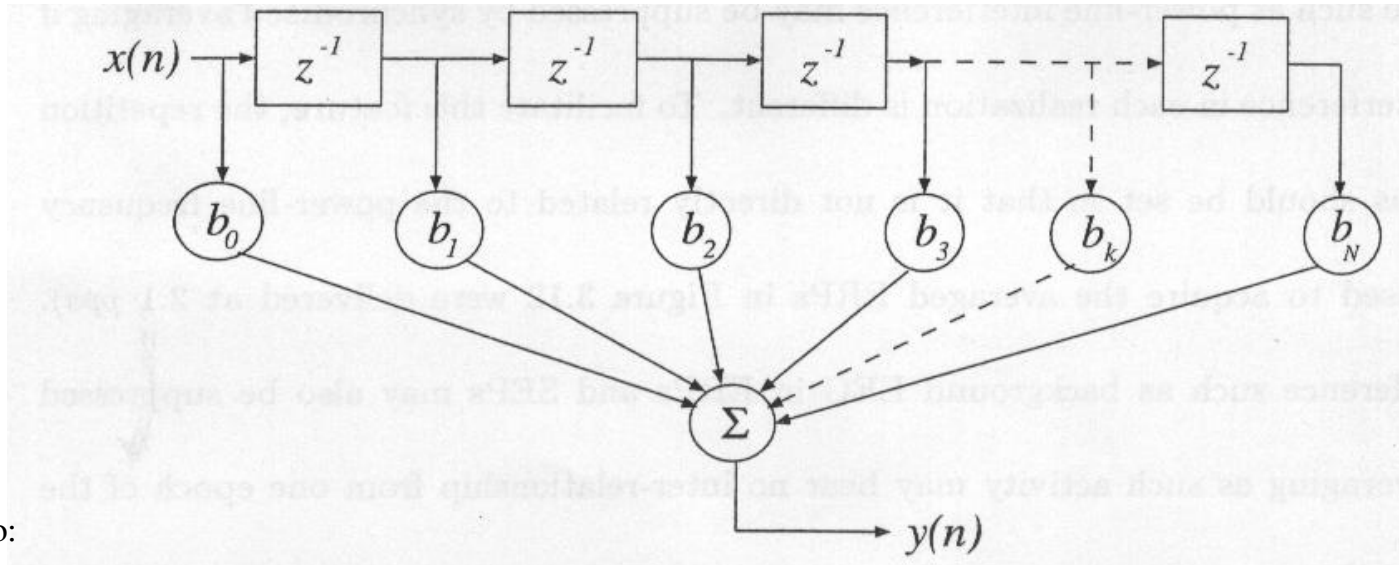
$$Y(z) = (b_0 + b_1 \cdot z^{-1} + b_2 \cdot z^{-2} + \dots + b_M \cdot z^{-M}) \cdot X(z)$$



$$H(z) = \frac{Y(z)}{X(z)} = \sum_{k=0}^M b_k \cdot z^{-k}$$

- ✓ filtro FIR  $\rightarrow$  numero finito di termini della risposta all'impulso
- ✓ poli solo nell'origine  $\rightarrow$  filtro stabile
- ✓ fase lineare (a tratti)

# ESEMPIO: FILTRAGGIO A MEDIA MOBILE



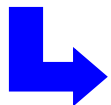
Esempio:

$$y(n) = \frac{1}{8} \cdot \sum_{k=0}^7 x(n-k)$$

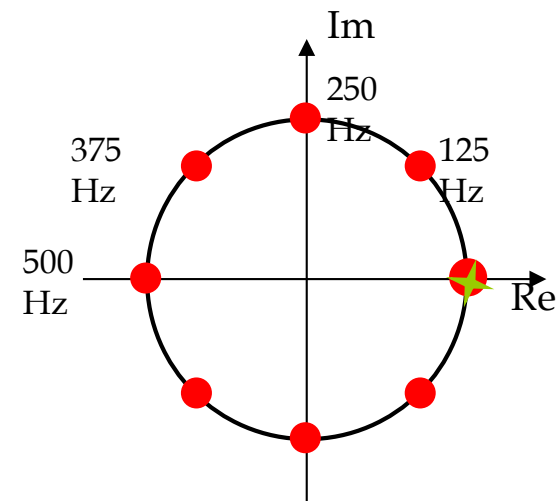


$$H(z) = \frac{1}{8} \cdot \sum_{k=0}^7 z^{-k}$$

Media mobile a  
8 campioni



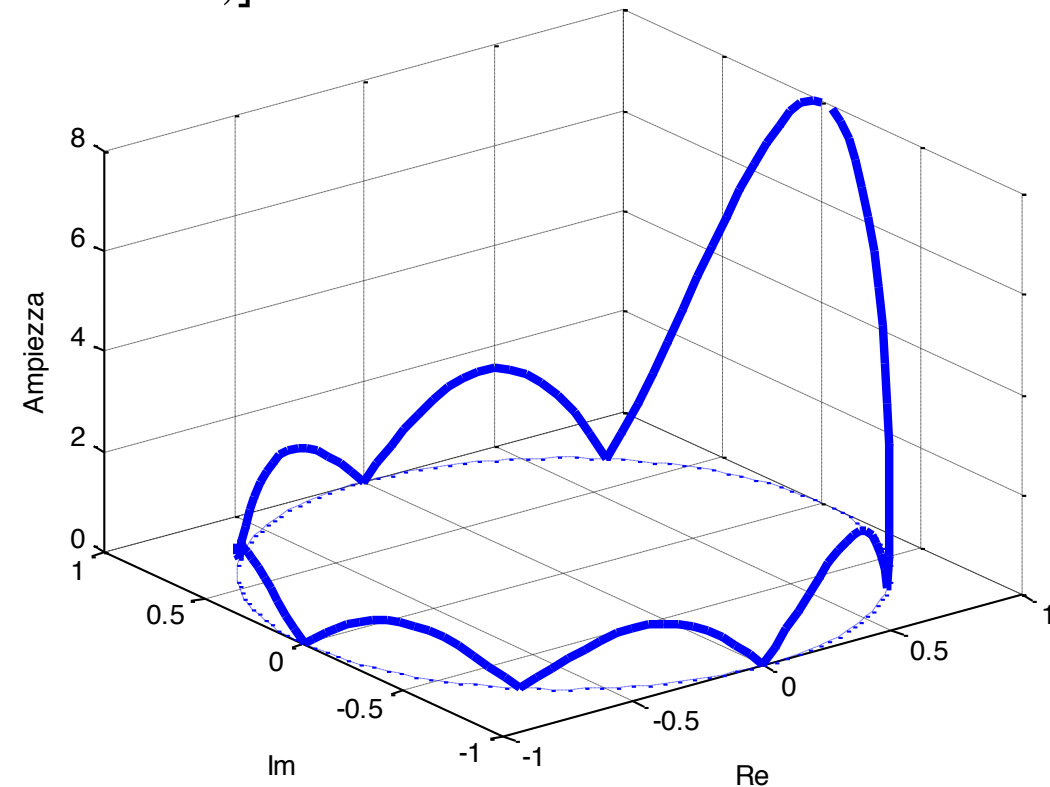
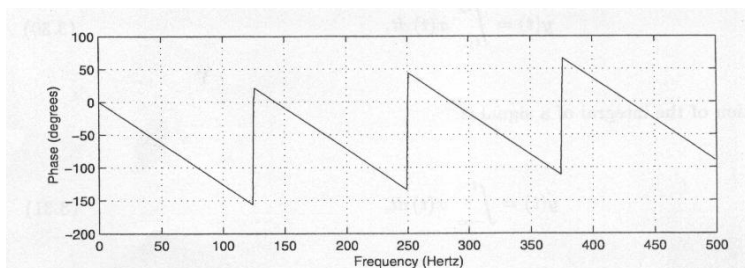
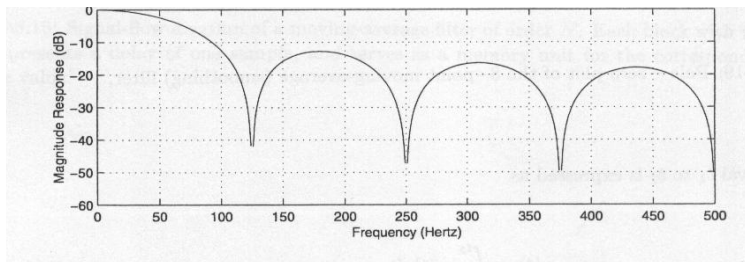
$$H(z) = \frac{1}{8} \cdot \frac{1-z^{-8}}{1-z^{-1}}$$



# FILTRAGGIO A MEDIA MOBILE

Risposta in frequenza:

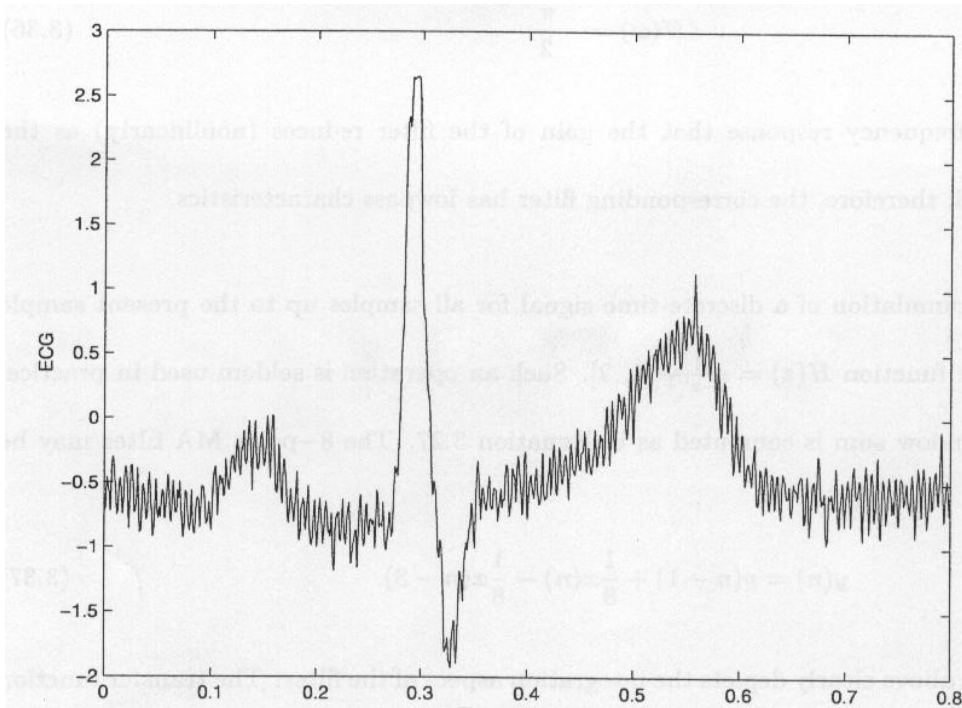
$$H(\omega) = \frac{1}{8} \cdot \left[ 1 + e^{-j4\omega} \cdot (1 + 2 \cos \omega + 2 \cos 2\omega + 2 \cos 3\omega) \right]$$



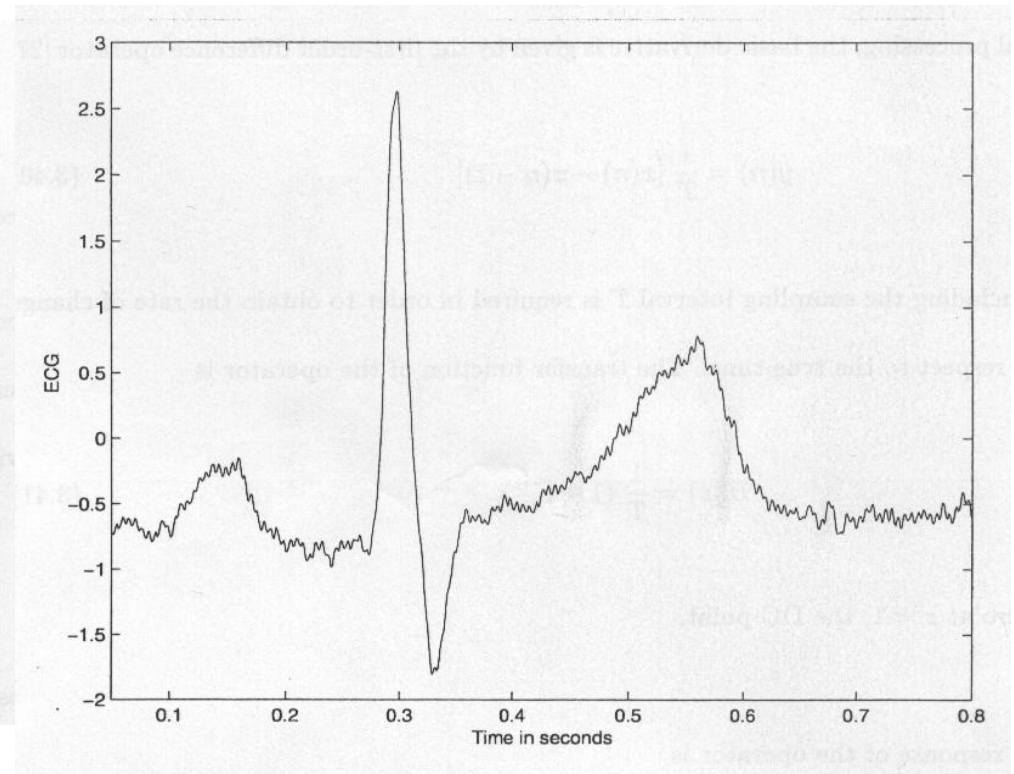
Al crescere di N, la frequenza di taglio diminuisce, filtrando maggiormente le componenti in alta frequenza



# FILTRAGGIO A MEDIA MOBILE



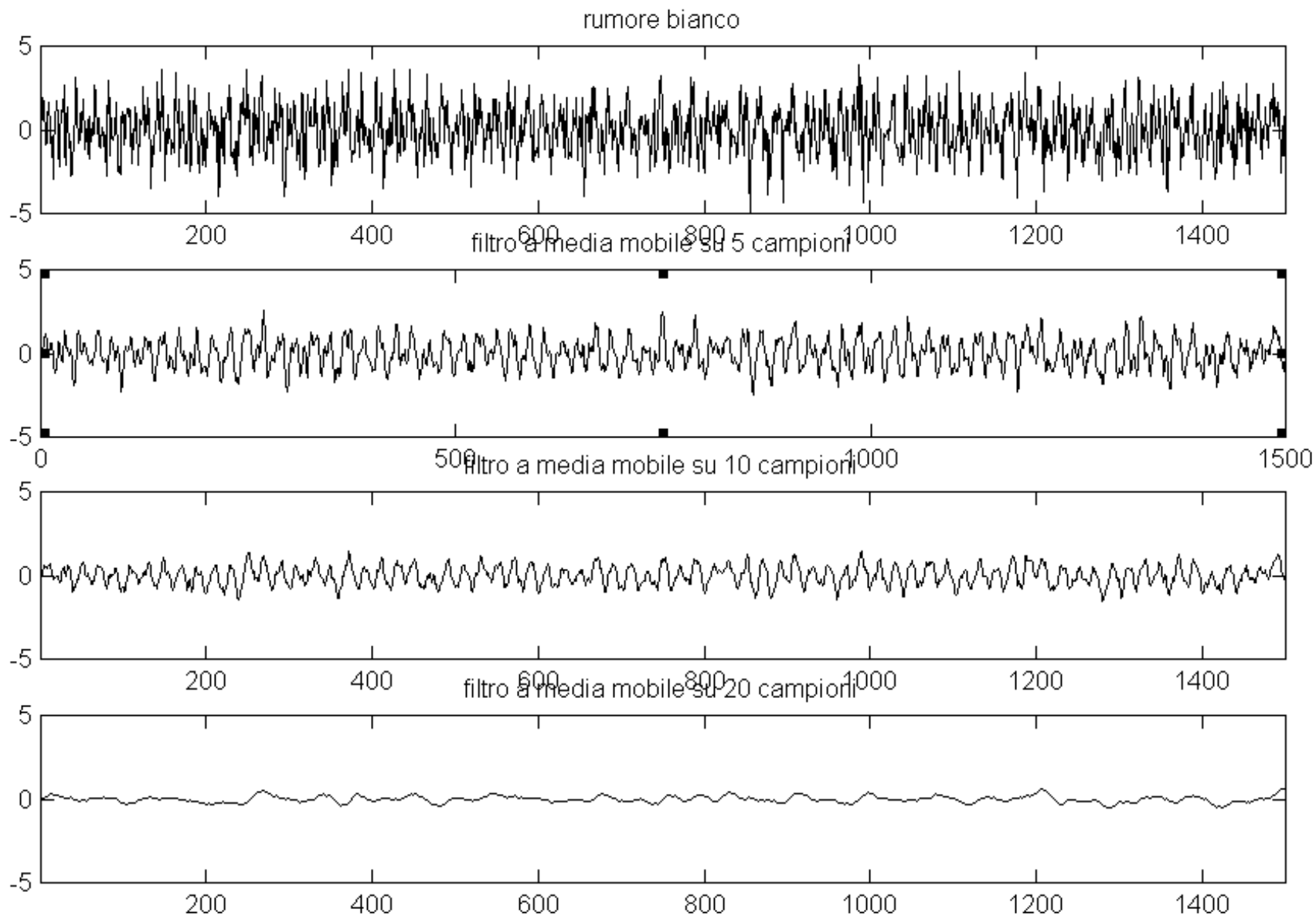
ECG con rumore in alta frequenza;  $f_c = 1000$   
Hz



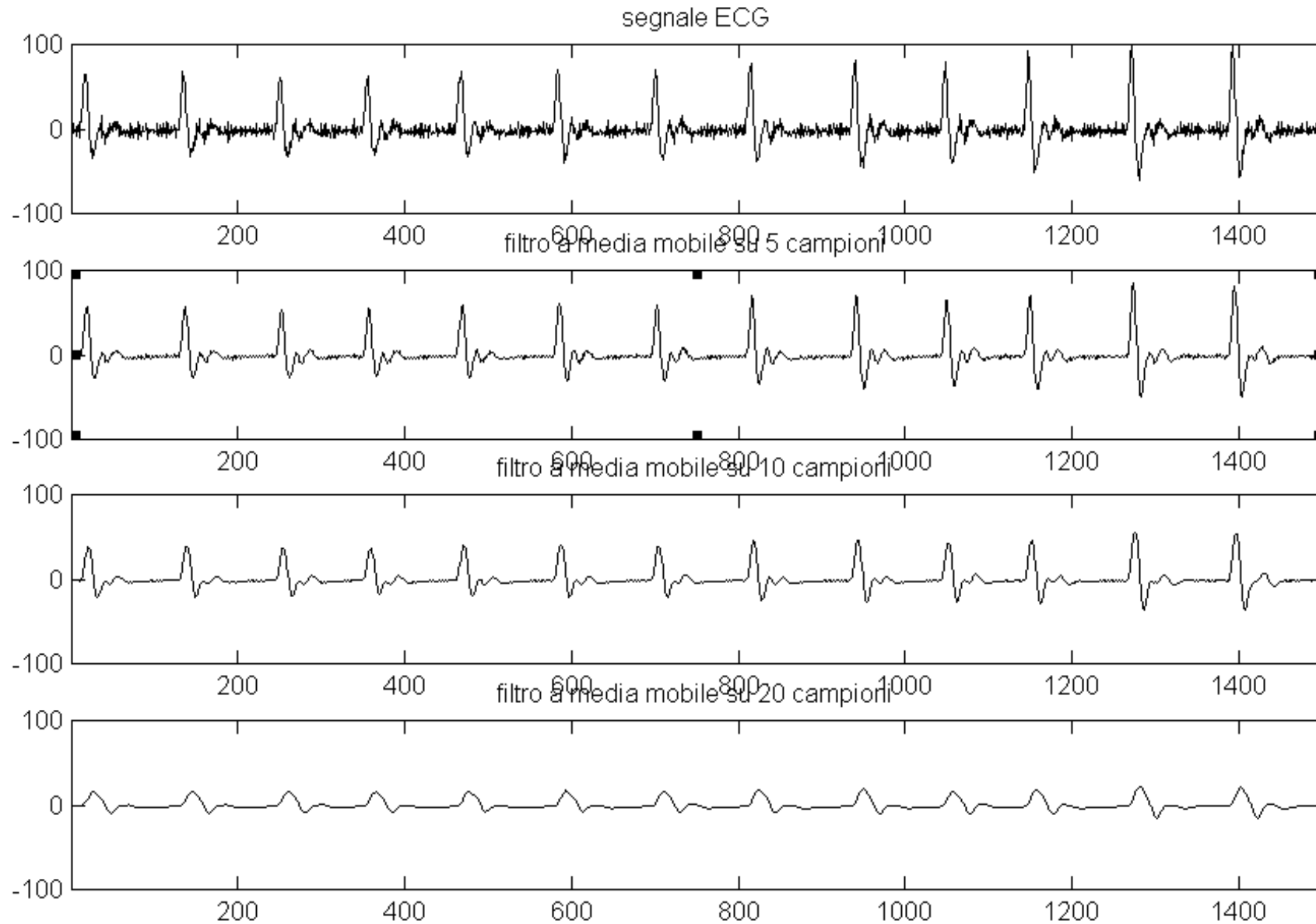
Si osserva del rumore residuo, legato al fatto che tale filtro taglia di circa 20 dB, a parte dove si hanno gli zeri



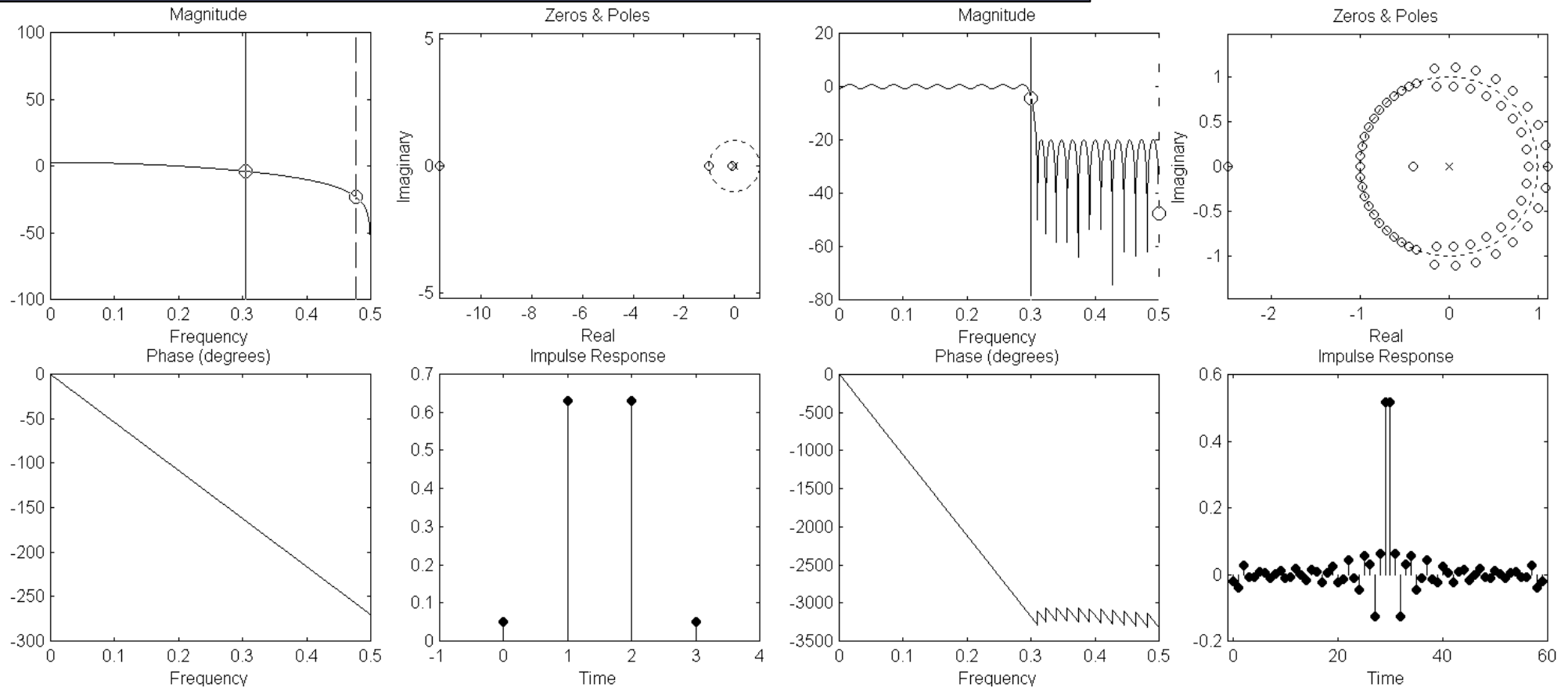
# ESEMPIO: FILTRO MA SU RUMORE BIANCO



# ESEMPIO: FILTRO MA SU SEGNALE ECG

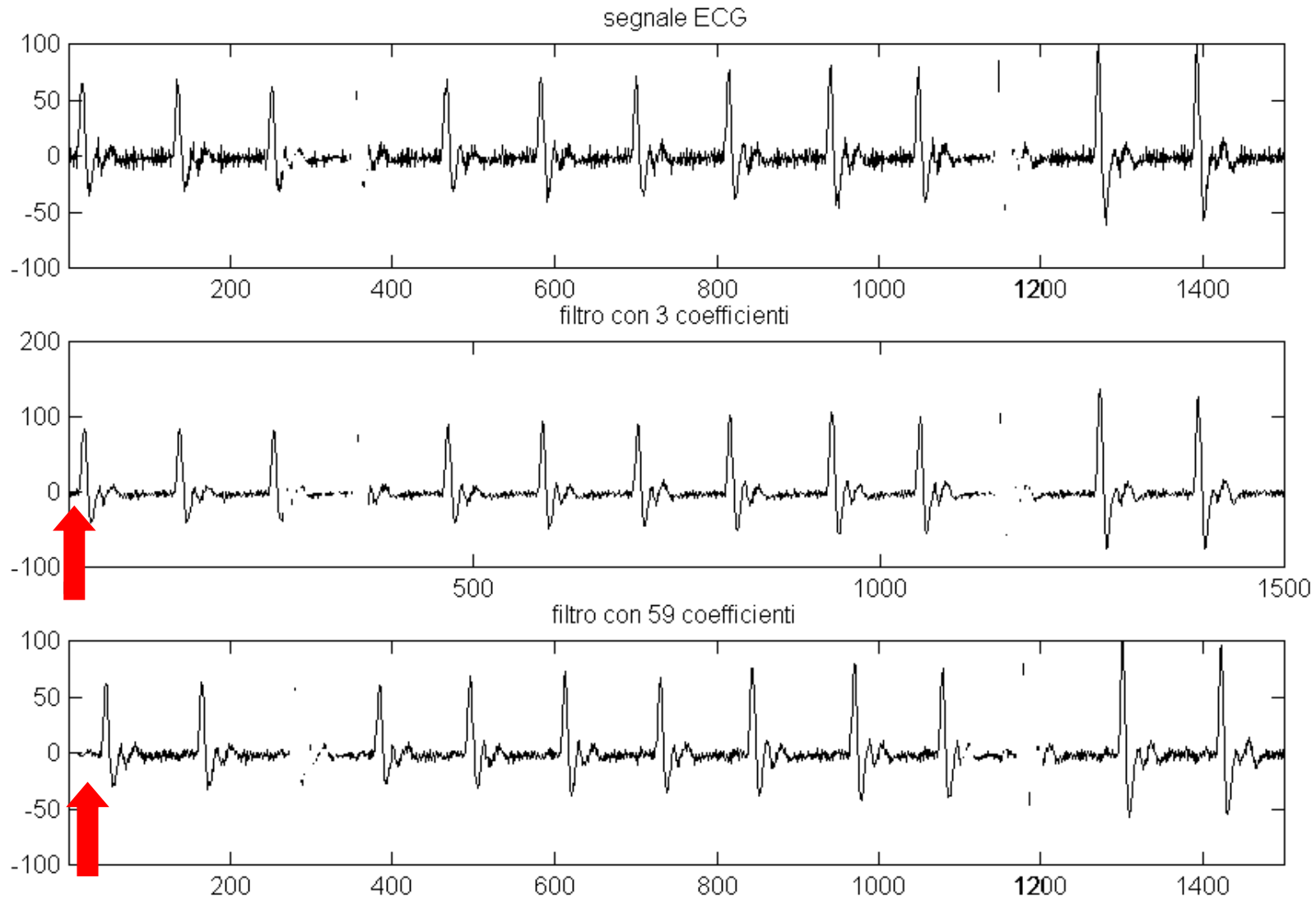


# EFFETTO DELL'AUMENTO DELL'ORDINE



Con l'aumento dell'ordine, aumentano gli zeri e aumenta il numero di campioni su cui mediare → il filtro avrà bisogno di un numero maggiore di campioni per dare un'uscita a regime

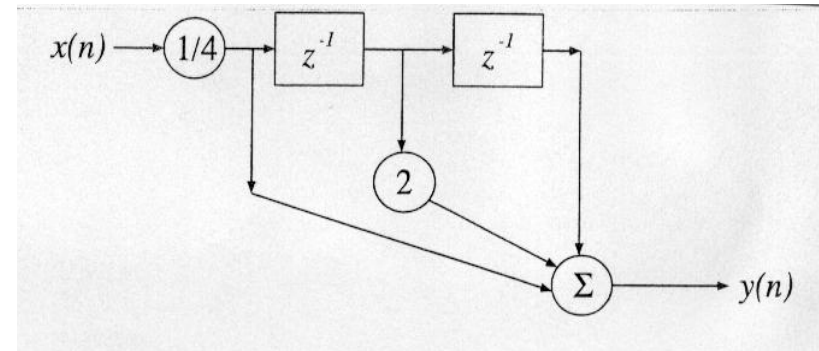
# ESEMPIO



# FILTRO DI HANNING

$$y(n) = \frac{1}{4} \cdot [x(n) + 2 \cdot x(n-1) + x(n-2)]$$

$$H(z) = \frac{1}{4} \cdot (1 + 2 \cdot z^{-1} + z^{-2}) = \frac{1}{4} \cdot \frac{(z+1)^2}{z^2}$$



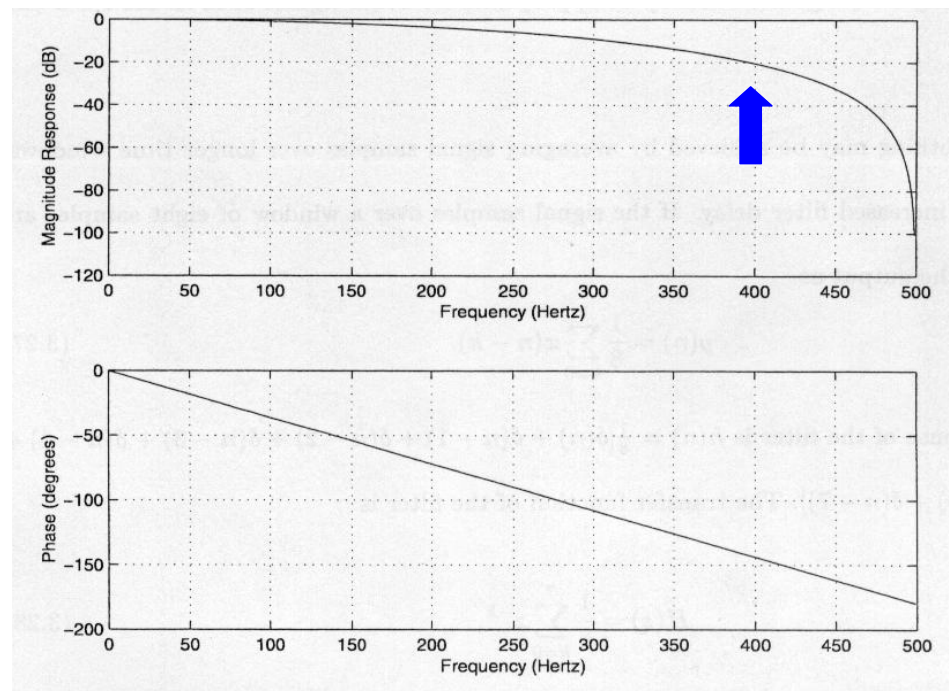
## Risposta in frequenza:

$$H(\omega) = \frac{1}{4} \cdot (1 + 2 \cdot e^{-j\omega} + e^{-j2\omega})$$

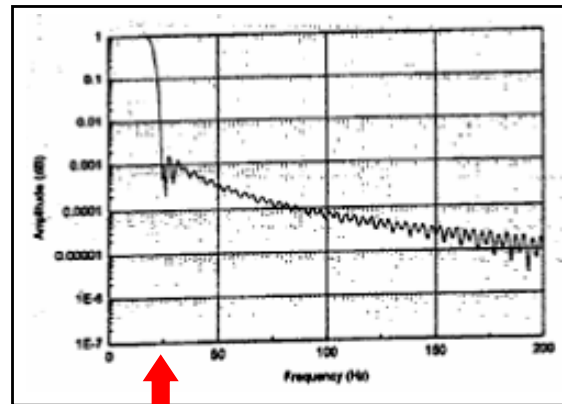
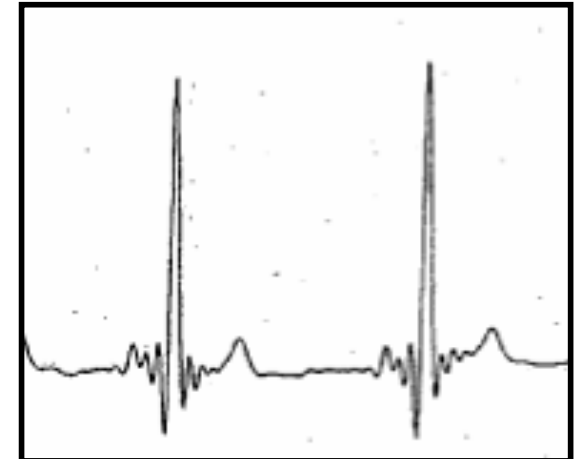
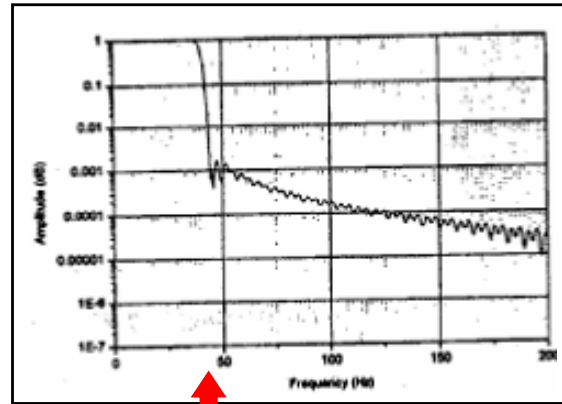
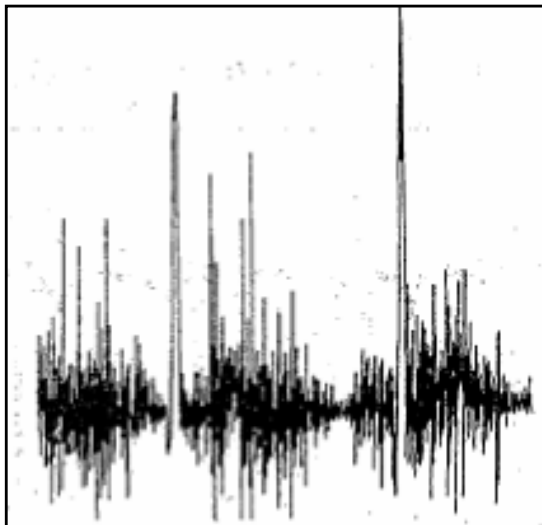
$$= \frac{1}{4} \cdot [(2 + 2 \cos \omega) \cdot e^{-j\omega}]$$

$$|H(\omega)| = \frac{1}{2} \cdot |1 + \cos \omega|$$

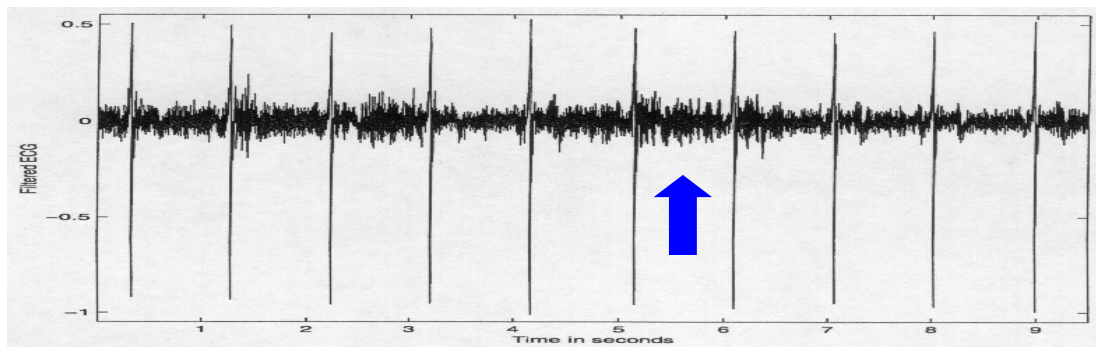
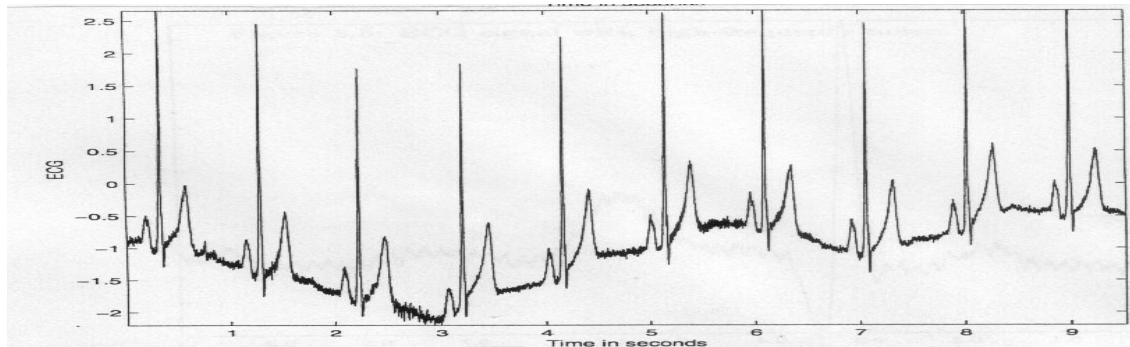
$$\text{fase} H(\omega) = -\omega$$



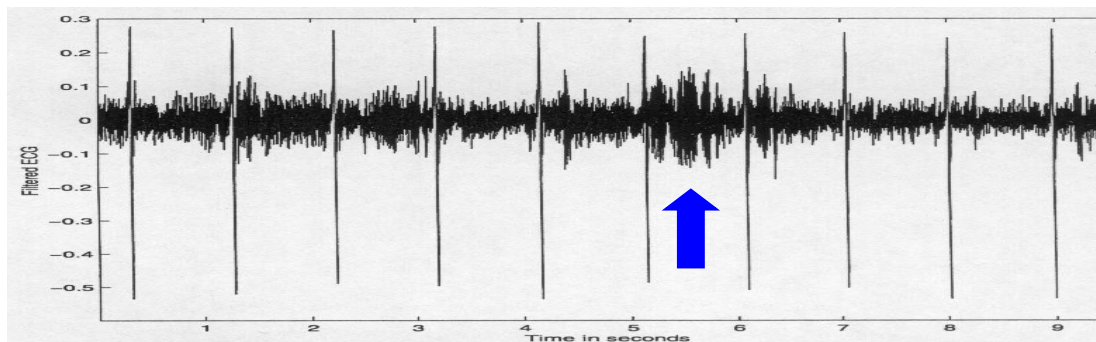
# FREQUENZA DI TAGLIO E RIDUZIONE DEL RUMORE



# FILTRO DERIVATORE PER LA RIMOZIONE DELLA LINEA DI BASE



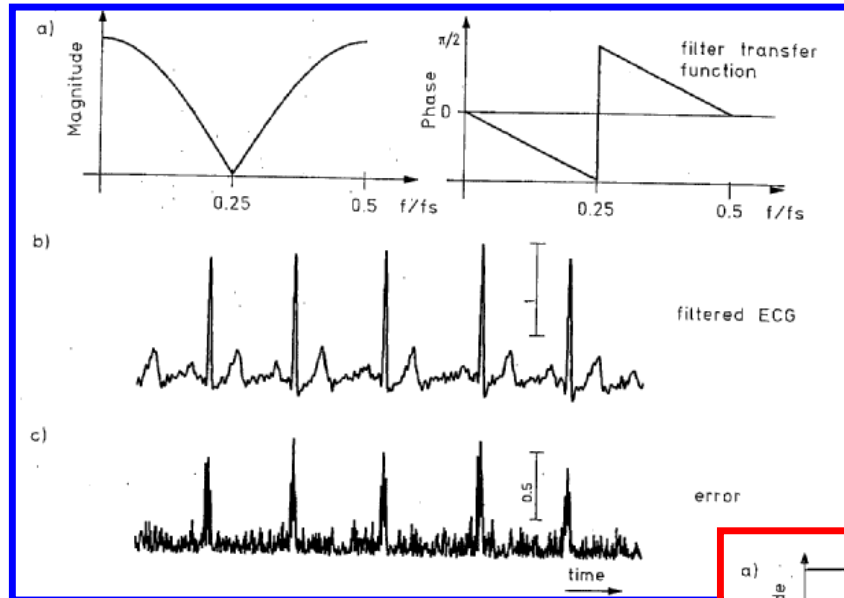
3° ordine



1° ordine

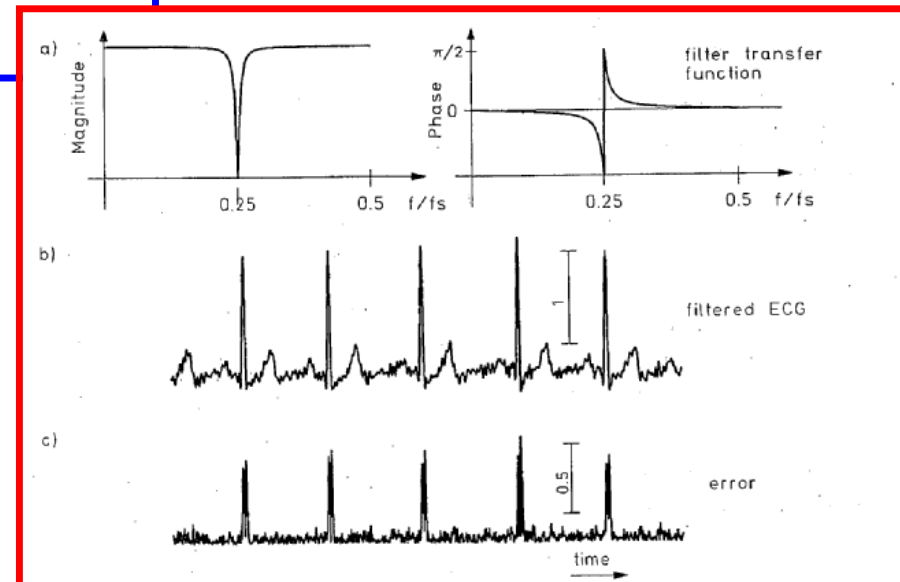


# FILTRI NOTCH



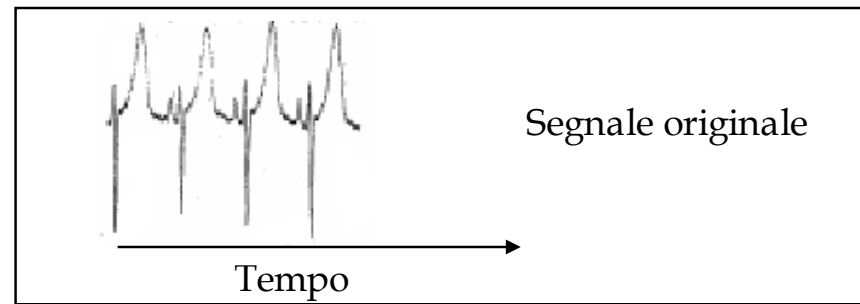
FIR

IIR

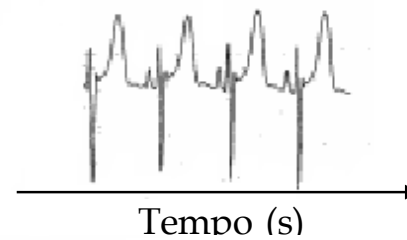
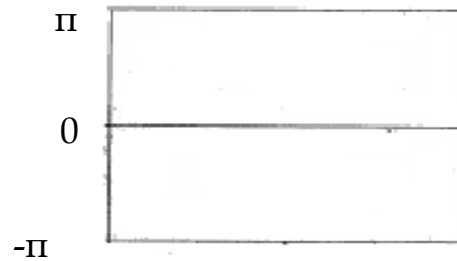




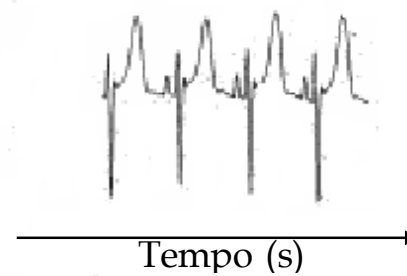
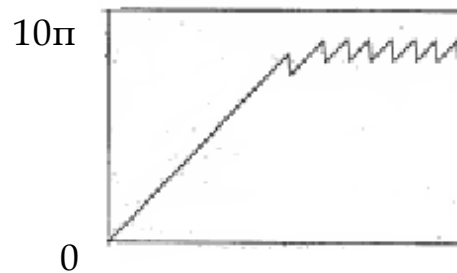
# LINEARITÀ DELLA FASE



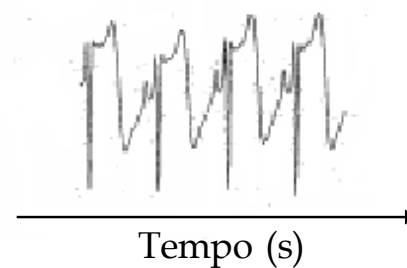
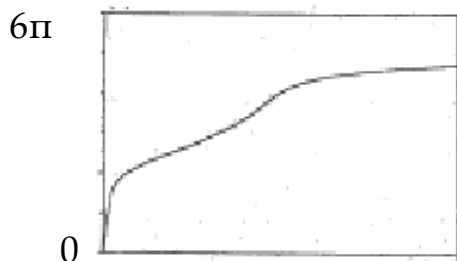
Fase lineare =  
0



Fase lineare  
a tratti



Fase  
non lineare





# FILTRI FIR

## VANTAGGI

- ✓ **Fase Lineare**  $\longleftrightarrow$   $h(n)$  simmetrica (pari o dispari)
- ✓ Sempre **stabili** (poli nell'origine)
- ✓ Elevata Flessibilità
- ✓  $|H(z)|$  maggiormente costante in banda passante (< distorsioni)
- ✓ Uso di algoritmi veloci (FFT) per diminuire la velocità di calcolo in fase di progetto

## SVANTAGGI

- ✓ Prestazioni elevate solo con numero elevato di campioni.
- ✓ Elevati tempi di calcolo
- ✓ **Poli solamente nell'origine**
- ✓ Non esiste una famiglia standard
- ✓ Imprecisione nella scelta di  $\omega_c$



# FILTRI IIR

## VANTAGGI

- ✓ Famiglie Classiche di Filtri (B, C, E)
- ✓ Basse difficoltà computazionali
- ✓ Elevate prestazioni anche con pochi coefficienti (~filtri ideali)
- ✓ **Poli posti in qualunque posizione** all'interno del cerchio unitario

## SVANTAGGI

- ✓ Scarsa flessibilità di prestazioni (solo filtri tradizionali)
- ✓ **Fase non lineare**
- ✓ Possono divenire instabili anche se il filtro analogico di partenza è stabile